

รายงานวิจัยฉบับสมบูรณ์

โครงการ อิทธิพลของ TGF-β และ SPARC ในกระบวนการซ่อมแซม ของเนื้อเยื่อโพรงฟันของมนุษย์

โดย รศ. ทพ. ประสิทธิ์ ภวสันต์ และคณะ

สิงหาคม 2550



์ รายงานวิจัยฉบับสมบูรณ์

โครงการ อิทธิพลของ TGF-β และ SPARC ในกระบวนการซ่อมแซม ของเนื้อเยื่อโพรงฟันของมนุษย์

โดย รศ. ทพ. ประสิทธิ์ ภวสันต์ และคณะ

สิงหาคม 2550

รายงานวิจัยฉบับสมบูรณ์

โครงการ อิทธิพลของ TGF-β และ SPARC ในกระบวนการซ่อมแซม ของเนื้อเยื่อโพรงฟันของมนุษย์

คณะผู้วิจัย

รศ. พพ. ดร. ประสิทธิ์ ภวสันต์ ภาควิชากายวิภาคศาสตร์ รศ. ทญ. ทัศนีย์ ยงชัยตระกูล ภาควิชากายวิภาคศาสตร์ ผศ. ทญ. ดร. ศิริวิมล ศรีสวัสดิ์ ภาควิชาทันตกรรมหัตถการ คณะทันตแพทยศาสตร์ จุฬาลงกรณ์มหาวิทยาลัย

สนับสนุนโดยสำนักงานกองทุนสนับสนุนการวิจัย

(ความเห็นในรายงานนี้เป็นของผู้วิจัย สกว. ไม่จำเป็นต้องเห็นด้วยเสมอไป)

Executive Summary

วัตถุประสงค์ของโครงการ

งานวิจัยครั้งนี้ มีวัตถุประสงค์ เพื่อศึกษากลไกการทำงานของ TGF-β และ SPARC ที่มีต่อการ ช่อมแซมเนื้อเยื่อโพรงพัน ภายหลังการได้รับอันตราย เพื่อนำเอาไปประยุกต์ใช้ในให้การรักษาทางทันตกรรม โดยแบ่งการศึกษาออกเป็น 2 ส่วน คือ

- ่ 1. อิทธิพลของ TGF-β และ SPARC ต่อ การสร้างคอลลาเจนและไฟโบรเนกติน, การเคลื่อนที่ของ เซลล์, การหลั่ง VEGF และ การกระตุ้นการสร้างและหลั่ง BMP-2
- 2. ความสัมพันธ์ระหว่าง TGF-β และ SPARC กับ NGF ในแง่ของการเหนี่ยวนำซึ่งกันและกันในการ แสดงออกของ NGF และ TGF-β และ SPARC และ อิทธิพลของ TGF-β และ SPARC ต่อการเหนี่ยวนำการ ซ่อมแซมเนื้อเยื่อของ NGF

<u>ผลการดำเนินการโดยสรุป</u>

TGF-β สามารถกระตุ้นการสร้างโปรตีนคอลลาเจนและไฟโบรแนคตินในเซลล์โพรงฟัน รวมทั้ง สามารถกระตุ้นการหลั่ง รวมทั้งสามารถกระตุ้นการหลั่ง nerve growth factor (NGF) โดยกระตุ้นผ่านทาง MAPK 2 ชนิดคือ p38 kinase และ JNK และสัญญษรที่เกิดขึ้นมี crosstalk ร่วมกับ G-protein-coupled receptor

SPARC สามารถกระตุ้นการเคลื่อนที่ของเซลล์โพรงพัน รวมทั้งกระตุ้นการสร้างโปรตีนไฟโบรเนคติน แต่ไม่มีผลต่อการเพิ่มระดับ mRNA ของไฟโบรเนคติน และสามารถเพิ่มการแสดงออกของ β1 integrin การ กระตุ้นการสร้างไฟโบรเนกติน รวมทั้งพบการเพิ่มขึ้นของระดับ อินทิกริน เบตา 1 แต่ไม่มีผลต่อการสร้าง คอลลาเจน โดยสัญญาณทั้งหมดน่าจะเกิดผ่านการจับกันระหว่าง SPARC กับ αVβ3 integrin และผ่าน MAPK ซนิด ERK

โครงการ อิทธิพลของ TGF-β และ SPARC ในกระบวนการซ่อมแซมของเนื้อเยื่อโพรงพีนของมนุษย์

บทคัดย่อ

TGF-β และ SPARC เป็นโปรตีนที่มีปริมาณเพิ่มขึ้นในเนื้อเยื่อโพรงฟัน หลังจากที่ฟันได้รับอันตราย งานวิจัยนี้มีวัตถุประสงค์เพื่อศึกษาบทบาทของ TGF-β และ SPARC ที่มีต่อพฤติกรรมของเซลล์โพรงฟัน โดย การเพาะเลี้ยงเซลล์โพรงฟันจากเนื้อเยื่อโพรงฟันของฟันกรามซี่ที่สาม ที่ถอนตามคำแนะนำของทันตแพทย์ และไม่มีรอยโรคของเหงือกและฟัน จากนั้นจึงกระตุ้นด้วย TGF-β และ SPARC ที่ความเข้มข้นต่างๆ และ ศึกษาการเปลี่ยนแปลงดังนี้

ผลการกระตุ้นด้วย TGF-β พบว่าเซลล์จะมีการสร้างและหลั่ง nerve growth factor (NGF) เพิ่มขึ้น โดยพบิได้ตั้งแต่ที่ 4 ชั่วโมงหลังการกระตุ้น กลไกการทำงานของ TGF-β ในการกระตุ้น พบว่าเกิดผ่าน MAPK สองชนิดคือ p38 และ JNK นอกจากนี้ ยังพบว่าการทำงานของ TGF-β น่าจะมีความสัมพันธ์กับ G-protein coupled receptor ด้วย โดยสัญญาณจาก TGF-β receptor น่าจะเกิดผ่าน JNK ในขณะที่สัญญาณจาก G-protein coupled receptor น่าจะเกิดผ่าน p38 kinase

ผลการกระตุ้นด้วย SPARC พบว่า SPARC สามารถทำหน้าที่เป็น chemotactic factor ในการ เหนี่ยวนำการเคลื่อนที่ของเซลล์โพรงฟัน นอกจากนี้ ยังสามารถเหนี่ยวนำการสร้างโปรตีนไฟโบรเนคตินในแบบ post-transcriptional regulation และเหนี่ยวนำการเพิ่มขึ้นของ β1 integrin ทั้งในระดับโปรตีนและ mRNA ผลการทดลองยังแสดงว่า SPARC น่าจะส่งสัญญาณผ่าน αVβ3 integrin ที่ผิวเซลล์ และสัญญาณจาก αVβ3 integrin ที่ผ่านมาทาง ERK จะเกี่ยวข้องกับการเคลื่อนที่และการสร้างไฟโบรเนคติน ส่วนสัญญาณที่ผ่านไป ทาง JNK จะเกี่ยวข้องกับการเพิ่มการแสดงออกของ β1 integrin

ผลการทดลองทั้งหมด แสดงว่า TGF-β และ SPARC มีอิทธิพลต่อพฤติกรรมของเซลล์โพรงฟัน โดยเฉพาะ SPARC น่าจะมีบทบาทในกากรกระตุ้นการช่อมแซมเนื้อเยื่อโพรงฟัน ส่วนหน้าที่ของ TGF-β จาก งานวิจัยครั้งนี้ สนับสนุนว่าน่าจะเกี่ยวข้องกับสมดุลของสนับสนุนว่าน่าจะเกี่ยวข้องกับสมดุลของ neurotrophic factor ในเนื้อเยื่อโพรงฟัน

The influence of TGF-β and SPARC in the healing process of human pulp tissue

Abstract

TGF- β and SPARC are molecules that found increased within pulp tissue after tooth injury. The aims of this study are to examine the influence of these two molecules on the behavior of dental pulp cells. Dental pulp cells were established from dental pulp tissue obtained from third molar extracted from the recommendation of the dentists. Cells were treated with either TGF- β or SPARC in various concentrations and examine the following results:

Addition of TGF- β in dental pulp cell culture resulted in the up-regulation of nerve growth factor (NGF) in a dose dependent manner. The increased of NGF could be observed within 4 hours. The results indicated that two MAPK, p38 kinase and JNK involved in the TGF- β -induced NGF. In addition, the results also suggest the crosstalk between TGF- β and G-protein coupled receptor signaling pathways. The signal from TGF- β receptor may pass through JNK while the signal from G-protein coupled receptor may go through p38 kinase.

Treatment of dental pulp cells with SPARC resulted in the induction of cell migration, suggesting the chemotactic property of SPARC. SPARC also induce fibronectin synthesis, post-transcriptionally. It also regulated the expression of $\beta 1$ integrin both in the mRNA and protein levels. The studies provided the evidence that SPARC may signal through $\alpha V\beta 3$ integrin. Signal of SPARC through $\alpha V\beta 3$ integrin and ERK involved in the regulation of cell migration and fibronectin synthesis, while the signal that go through JNK involve in the regulation of $\beta 1$ integrin.

In conclusion, both TGF- β and SPARC influence the behavior of dental pulp cells. In terms of SPARC, the evidences suggest that SPARC may participate in the healing process of dental pulp tissue. The function of TGF- β as found in these studies may involve in the homeostasis of neurotrophic factor in the pulp tissue.

บทน้ำ

โรคฟันผุเป็นหนึ่งในปัญหาสำคัญทางทันตสาธารณสุข ผลของการเกิดฟันผุจะมีผลต่อเมตาบอลิซึม (metabolism) ของเนื้อเยื่อโพรงฟัน (pulp tissue) โดยการเหนี่ยวนำการอักเสบขึ้นภายในโพรงฟัน และทำให้ เซลล์โพรงฟันตอบสนองด้วยการพยายามช่อมแซมเนื้อเยื่อโพรงฟัน โดยการสร้างเนื้อฟันชนิดตติยภูมิ (tertiary dentin or reparative dentin) พอกพูนขึ้นที่ผนังของโพรงฟันใต้ต่อรอยผุ เพื่อป้องกันอันตรายจากแบคทีเรียที่ อยู่ในรอยผุของฟัน

เซลล์ของเนื้อเยื่อโพรงฟัน (dental pulp cells) หรือที่จะเรียกต่อไปว่า เซลล์โพรงฟัน เป็นเซลล์ที่ทำ หน้าที่สำคัญในการรักษาสมดุลย์ของเนื้อเยื่อโพรงฟัน การตอบสนองต่อการอักเสบ และการซ่อมแซมเนื้อเยื่อโพรงฟัน เมื่อเกิดการอักเสบของเนื้อเยื่อโพรงฟัน ไม่ว่าจะเกิดจากการผุ การหัก การกระแทก หรือการกรอฟัน เพื่อการบูรณะฟัน อันตรายที่เกิดขึ้น มักจะทำอันตรายต่อเซลล์สร้างเนื้อฟัน (odontoblast) ทำให้เกิดการตาย ของเซลล์เหล่านี้ ซึ่งหากไม่มีการติดเชื้อ เซลล์โพรงฟันจะสามารถเปลี่ยนแปลงสภาพ (differentiate) เป็นเซลล์ คล้ายเ่ซลล์สร้างเนื้อฟัน (odontoblast-like cels) และทำหน้าที่ช่อมแซมเนื้อเยื่อโพรงฟัน (Kakehashi et al., 1965; Yamamura, 1985)

จากความสามารถในกระบวนการเปลี่ยนแปลงสภาพได้ภายใต้การกระตุ้นที่เหมาะสมของเซลล์โพรง พัน ไปเป็นเซลล์ที่สามารถสร้างเนื้อเยื่อแข็ง แสดงถึงคุณสมบัติที่คล้ายเซลล์ต้นกำเนิดของเซลล์โพรงพัน ซึ่งมี รายงาน รวมทั้งผลการทดลองที่ไม่ได้แสดงผลไว้ของคณะผู้วิจัยเองว่า เซลล์โพรงพันนั้น มีการแสดงออกของ STRO-1 ซึ่งเป็น marker ของ mesenchymal stem cells (ไม่ได้แสดงผลการทดลองไว้)

อย่างไรก็ดี กลไกของกระบวนการเหนี่ยวนำการเปลี่ยนแปลงสภาพของเซลล์โพรงพันนั้น ยังไม่เป็นที่ เข้าใจอย่างชัดเจน มีการนำเสนอเป็นข้อสมมติฐานว่า เซลล์โพรงพันสามารถดิฟเฟอเรนชิเอทได้ด้วยตนเอง (autodifferentiate) (Yamamura, 1985) ทำให้แนวคิดในการทำงานทางทันตกรรม จะเป็นเพียงการกำจัดเอา ส่วนเนื้อพันที่ติดเชื้อออก และบูรณะตัวพันเพื่อให้สามารถใช้งานได้ตามปรกติ โดยทิ้งภาระให้เซลล์โพรงพันทำ หน้าที่ช่อมแซมตนเองด้วยกระบวนการตามธรรมชาติ ซึ่งในหลายๆ กรณี การช่อมแซมที่เกิดขึ้นนั้น ไม่ดี เท่าที่ควร และเป็นผลให้การรักษานั้นล้มเหลวในที่สุด เนื่องจากกระบวนการดิฟเฟอเรนชิเอทที่เกิดขึ้นนั้น ย่อม ต้องการปัจจัยกระตุ้นและสภาวะแวดล้อมที่เหมาะสม การขาดความรู้และความเข้าใจในกระบวนการเหล่านี้ ทำให้การควบคุมผลของรักษาในทางทันตกรรมไม่มีประสิทธิภาพเท่าที่ควร

จากรายงานการวิจัยเกี่ยวกับพัฒนาการของพันในระยะเริ่มแรก แสดงให้เห็นว่าในระหว่างพัฒนาการ ของเซลล์ dental mesenchyme ไปเป็นเซลล์สร้างเนื้อพันนั้น จะเกิดควบคู่กับการเปลี่ยนแปลงซนิดและ ปริมาณของเมทริกซ์นอกเซลล์ (extracellular matrix) รวมทั้งชนิดและปริมาณของโกรีทแฟคเตอร์ (growth factor) ที่สร้างโดยเซลล์ dental mesenchyme (Heine et al., 1987; Vaahtokari et al., 1991; Thesleff and Vaahtokari, 1992; Inage and Yoda, 1996) จากองค์ความรู้ดังกล่าว นำไปสู่ข้อสันนิษฐานที่เป็นที่ยอมรับ กันในปัจจุบันว่า เมทริกซ์นอกเซลล์และโกรีทแฟคเตอร์เป็นสองปัจจัยสำคัญ ที่ทำหน้าที่กระตุ้นการซ่อมแซม และการดิฟเฟอเรนซิเอทของเซลล์โพรงฟัน โดยมีรายงานว่าปัจจัยทั้งสองชนิดนี้ สามารถกระตุ้นการแบ่งตัว (proliferation) การเคลื่อนที่ของเซลล์ (migration) และ การดิฟเฟอเรนซิเอทของเซลล์หลายชนิดทั้งในระหว่าง พัฒนาการ และในระหว่างการซ่อมแซมของเนื้อเยื่อหลายชนิด รวมทั้งเนื้อเยื่อโพรงฟัน (Ruch et al., 1995; Tziafas and Papadimitriou, 1998)

แม้ว่าจะมีการศึกษาถึงอิทธิพลของปัจจัยทั้งสองต่อการซ่อมแซมเนื้อเยื่อโพรงฟัน แต่ผลที่ได้ก็ยังไม่ ชัดเจนนัก ดังนั้น การศึกษาถึงอิทธิพลและผลของปัจจัยต่างๆเหล่านี้ที่มีต่อการซ่อมแซมเนื้อเยื่อโพรงฟัน จะ เป็นส่วนสำคัญที่ช่วยให้การปรับปรุงการรักษาทางทันตกรรม โดยเฉพาะในการรักษาโรคฟันผุให้มี ประสิทธิภาพมากยิ่งขึ้น

Transforming growth factor beta หรือ TGF-β เป็นโกรีทแฟคเตอร์ตัวหนึ่งที่มีบทบาทมากต่อการ สร้างเมทริกซ์นอกเซลล์ และการดิฟเฟอเรนซิเอทของเซลล์โพรงฟัน (Nagashima, 1992) โดยพบว่าเซลล์สร้าง เนื้อฟันจะสร้าง TGF-β ในช่วงเวลาก่อนการสร้างเนื้อฟัน และ TGF-β จะเหนี่ยวนำการสร้างเมทริกซ์นอกเซลล์ หลายชนิดในเซลล์โพรงฟัน (Inage and Yoda, 1996) นอกจากนี้ยังมีรายงานว่า TGF-β มีบทบาทสำคัญใน การช่อมแซมกระดูก (Joyce et al., 1990) ซึ่งเป็นเนื้อเยื่ออนินทรีย์เช่นเดียวกับเนื้อฟัน

ผลการทดลองที่ผ่านมาของคณะผู้วิจัย (Pavasant et al., 2003) ได้แสดงให้เห็นว่า TGF- β สามารถ ทำงานร่วมกับ 1,25(OH) $_2$ D $_3$ ซึ่งเป็นสารที่มีอิทธิพลต่อการสร้างกระดูกและพัน โดยกระตุ้นระดับของ เอนไซม์อัลคาไลน์ฟอสฟาเตส (alkaline phosphatase) ซึ่งเป็นเอนไซม์สำคัญในกระบวนการสร้างเนื้อเยื่ออนิ นทรีย์ในเซลล์โพรงพัน ผลการวิจัยพบว่าการกระตุ้นเซลล์ด้วย TGF- β และ 1,25(OH) $_2$ D $_3$ พร้อมๆกัน จะเพิ่ม ระดับเอนไซม์ขึ้นไปถึงกว่าสิบเท่าเมื่อเทียบกับการกระตุ้นด้วย 1,25(OH) $_2$ D $_3$ เพียงอย่างเดียว

นอกจากผลต่อเอนไซม์อัลคาไลน์ฟอสฟาเตสแล้ว คณะผู้วิจัยยังพบว่าการกระตุ้นเซลล์ด้วย TGF-β และ 1,25(OH)₂D₃ สามารถกระตุ้นการสร้างโปรตีน Osteonectin/SPARC (Secreted Protein, Acidic and Rich in Cysteine) ให้เพิ่มสูงขึ้นมากกว่าการกระตุ้นด้วย TGF-β เพียงอย่างเดียวอีกด้วย SPARC เป็นโปรตีน ที่พบได้มากในเนื้อพันและกระดูก (Termine et al., 1981; Maillard et al.,1992; Begue-Kirn et al., 1994; Takano-Yamamoto et al., 1994) และจากการศึกษาในสัตว์ทดลอง พบว่าบริเวณเมทริกซ์รอบเซลล์สร้างเนื้อ พันจะมีปริมาณของ SPARC สูงกว่าบริเวณอื่นๆของเนื้อเยื่อโพรงพัน (Reichert et al.,1992; Tung et al.,

1985) นำไปสู่ข้อสันนิษฐานว่า SPARC น่าจะทำหน้าที่เกี่ยวข้องกับเมตาบอลิสมของเซลล์สร้างเนื้อฟัน นอกจากนี้ ระดับของ SPARC จะเพิ่มสูงขึ้นในระหว่างที่มีการซ่อมแซมของเนื้อเยื่อหลายชนิดด้วย (Reed and Sage 1996) เกิดเป็นข้อสันนิษฐานว่าการเพิ่มขึ้น SPARC อาจจะบอกถึงสภาวะการซ่อมแซมของเนื้อเยื่อโพรง ฟัน

ำ จากผลการทดลองที่กล่าวถึงข้างต้น คณะผู้วิจัยได้ตั้งสมมติฐานว่า TGF-β และ SPARC น่าจะมี บทบว๎ทต่อการซ่อมแซมเนื้อเยื่อโพรงพัน โดยการเปลี่ยนแปลงระดับของการสร้างและหลั่งเมทริกซ์นอกเซลล์ และการเปลี่ยนแปลงนี้จะนำไปสู่กระบวนการสร้างเนื้อพันทดแทนโดยเซลล์ของโพรงพัน

วิธีการทดลอง

การเพาะเลี้ยงเซลล์จากเนื้อเยื่อโพรงพัน

เซลล์โพรงฟันจะถูกเพาะเลี้ยงขึ้นจากเนื้อเยื่อโพรงฟัน โดยได้รับความยินยอมจากผู้ป่วย ตามที่เคย รายงานไว้แล้ว (Pavasant et al, 2003) ซึ่งมีวิธีโดยย่อคือ ฟันที่ได้จะถูกนำมาผ่าเป็นสองส่วน เพื่อดึงเอา เนื้อเยื่อโพรงฟันออกมา จากนั้นจึงตัดเนื้อเยื่อออกเป็นชิ้นเล็กๆ แล้วนำไปหว่านในจานเลี้ยงเซลล์ขนาด 35 มิลลิเมตร อาหารเลี้ยงเซลล์ที่ใช้เลี้ยงเนื้อเยื่อเหงือกคือ ดีเอ็มอีเอ็ม (DMEM; Dulbecco's Modified Eagle Medium) ที่เติมซีรัม (fetal bovine serum; FBS) ร้อยละ 10, กลูตามีน (glutamine), ยาปฏิชีวนะ (antibiotics) และยาต่อต้านเชื้อรา (antimycotics) อาหารเลี้ยงเซลล์จะถูกเปลี่ยนทุกวันจนเซลล์คลานออก จากขึ้นเนื้อ จากนั้นอาหารเลี้ยงเซลล์จะถูกเปลี่ยนสัปดาห์ละ 2 ครั้ง

เมื่อเซลล์ที่คลานออกจากขึ้นเนื้อเจริญจนเต็มจานเลี้ยงเซลล์ เซลล์จะถูกถ่ายออกไปเลี้ยงในจานเลี้ยง เซลล์ขนาด 60 มิลลิเมตร และเริ่มนับเป็นเซลล์รุ่นที่ 1 หลังจากนั้นเซลล์จะถูกหว่านใหม่ในอัตราส่วน 1:3 (หว่านเซลล์ 1 ใน 3 ของเซลล์ทั้งหมดต่อจานเลี้ยงเซลล์ใหม่ 1 จาน) เซลล์ที่ใช้ในการทดลองจะใช้เซลล์ในรุ่นที่ 3-5 และเซลล์ที่ใช้ในการทดลองจะเพาะเลี้ยงจากเนื้อเยื่อที่ได้จากคนใช้อย่างน้อย 3 คนในแต่ละการทดลอง

<u>การกระตุ้นเซลล์</u>

ในการศึกษาการเปลี่ยนแปลงของโปรตีน และ mRNA เซลล์ถูกถ่ายลงในจานเลี้ยงเซลล์แบบ 6 หลุม (6-well plate) ที่ความหนาแน่นประมาณ 20,000 เซลล์/ตารางเซนติเมตร หรือประมาณ 200,000 เซลล์/หลุม/ มิลลิลิตร เป็นเวลา 1 คืน จากนั้นอาหารเลี้ยงเซลล์จะถูกเปลี่ยนเป็นชนิดที่ไม่มีชีรัม เพื่อลดผลของชีรัมให้น้อย ที่สุด ในสภาวะที่มีหรือไม่มีตัวกระตุ้นคือ TGF-β (recombinant human TGF-β1 (Calbiochem, EMD Biosciences, Inc., La Jolla, CA) หรือ SPARC SPARC (from bovine bone; Calbiochem, San Diego, CA, USA) และเลี้ยงต่อไปตามระยะเวลาที่กำหนด

ในการใช้ตัวยับยั้งต่างๆ จะเติมตัวยับยั้งก่อนหน้าที่จะกระตุ้นด้วย TGF-β หรือ SPARC เป็นเวลา 1 ชั่วโมง สารยับยั้งที่ใช้ในการทดลองได้แก่ actinomycin D (0.5 μg/ml), cycloheximide (5 μg/ml) จาก Sigma-Aldrich Chemical, extracellular signal-regulated kinase (ERK) inhibitor (ERK activator inhibitor peptide 1) (2.5 μM), c-Jun N-terminal kinase (JNK) inhibitor (SP600125) (40 nM), SB203580 (p38 MAPK inhibitor), staurosporine (a serine/threonine kinase inhibitor), SB225002 (a G-protein coupled receptor inhibitor) (22 nM), suramin (15 μM), Rho kinase inhibitor (1.2 nM) จาก

Calbiochem และ neutralizing antibody to αVβ3 integrin (20 μg/ml), inhibitory antibody to β1 integrin (20 μg/ml) จาก Chemicon® International

การวิเคราะห์ปริมาณไฟโบรเนคตินและคอลลาเจนด้วยวิธีวิเคราะห์แบบเวสเทอร์น (Western blot analysis)

ในการวิเคราะห์หาไฟโบรเนคติน เซลล์และเมทริกซ์จะถูกทำละลาย (extracted) ด้วย radioimmunoprecipitation (RIPA) buffer (150 mM NaCl, 1% NP-40, 0.5% deoxycholate, 0.1% sodium dodecyl sulfate, 50 mM Tris, pH 8.0) จากนั้นนำสารละลายที่ได้ไปวัดปริมาณโปรตีน โดยใช้ชุดวัด โปรตีน (BCA protein assay kit; Pierce)

สารละลายที่มีปริมาณโปรตีนที่เท่ากันจากแต่ละกลุ่มทดลอง จะถูกแยกด้วยไฟฟ้าในอะคริลามายด์ เจล (polyacrylamide gel elctrophoresis) จากนั้นโปรตีนจะถูกถ่ายลงบนแผ่นในโตรเซลลูโลส (Nitrocellulose) แล้วย้อมด้วยแอนติบอดีต่อไฟโบรเนคติน (mouse monoclonal anti-fibronectin; Sigma) การตรวจสอบสัญญาณจะใช้วิธี auto-fluorography โดยการเคลือบแผ่นในโตรเซลลูโลสด้วยชุดขยาย สัญญาณแบบเคมี (Chemiluminescence reagent, Pierce) และตรวจจับสัญญาณด้วยแผ่นฟิล์มเอกซ์เรย์ (CL-XPosure) สัญญาณที่เกิดขึ้นจะถูกวิเคราะห์ด้วยโปรแกรม Scion Image analysis

ในการวิเคราะห์หาคอลลาเจน เซลล์จะถูกเลี้ยงในอาหารเลี้ยงเซลล์ที่มีกรดแอสคอร์บิค (ascorbic acid) ความเข้มข้น 25 ไมโครกรัม/มิลลิลิตร เป็นเวลา 4 วัน (ซึ่งเป็นเวลาที่น้อยที่สุดที่สามารถจับสัญญาณจาก โปรตีน่ด้วยเทคนิค Western analysis ได้)

เมื่อครบระยะเวลา เซลล์และเมทริกซ์ถูกสกัดด้วยสารละลายผสมระหว่าง Tris 50 มิลลิโมลาร์ และ NaCi 150 มิลลิโมล่าร์โดยการเขย่าเบาๆตลอดเวลาเป็นเวลาหนึ่งคืน จากนั้นนำไปปั่นแยกที่ 14,000 g เพื่อนำ ส่วนที่ไม่ถูกย่อยสลายซึ่งมีคอลลาเจนเป็นองค์ประกอบอยู่ไปสกัดต่อด้วยเปปซินความเข้มข้น 0.1 มิลลิกรัม/ มิลลิลิตรในสารละลายกรดอะซิติก (acetic acid) ความเข้มข้น 0.5 โมล่าร์เป็นเวลา 24 ชั่วโมงโดยการเขย่า เช่นเดียวกัน ลักษณะโครงสร้างที่เป็นเกลียว (triple helix) ซึ่งพบเฉพาะในคอลลาเจนจะคงเหลืออยู่โดยไม่ถูก ย่อยสลายโดยเปปซินแต่อยู่ในรูปของสารละลายคอลลาเจน กระบวนการดังกล่าวข้างต้นทั้งหมดกระทำที่ อุณหภูมิ 4 องศาเซลเซียส จากนั้นคอลลาเจนที่ละลายอยู่ในสารละลายเปปซิน (pepsin) ถูกทำให้แข็งด้วย ความเย็นและนำไปทำให้แห้งโดยการไลโอฟิไลซ์ (lyophilization) จากนั้นคอลลาเจนที่ได้ถูกนำไปทำละลาย ด้วยเลียมลีบัฟเฟอร์ (Laemmli buffer) ก่อนนำไปเปรียบเทียบปริมาณคอลลาเจนที่เซลล์สร้างขึ้นต่อหนึ่งจาน

เลี้ยงเซลล์ต่อไปภายหลังด้วยการแยกด้วยกระแสไฟฟ้าและย้อมด้วยแอนติบอดีต่อคอลลาเจน (L-19, Santa Cruz Biotechnology) โดยเทคนิคเช่นเดียวกับการวิเคราะห์ไฟโบรเนคตินข้างต้น

ส่วนการหาระดับของ active signaling molecule (phosphorylated form) โปรตีนจะถูกสกัดด้วย modified RIPA buffer (โดยการเติม phosphatase inhibitors ได้แก่ 1 mM sodium vanadate และ 50 mM NaF ส่วนแอนติบอดีที่ใช้ได้แก่ primary antibodies ต่อ phospho-p38 MAPK (1:1,000), phospho-JNK (1:1,500), total JNK (1:2,500), phospho-ERK1/2 (1:1,000), total ERK1/2 (1:1,000) จาก R&D systems และ total p-38 MAPK (1:200) จาก Santa Cruz Biotechnology

การวิเคราะห์ด้วยวิธี RT-PCR

RNA ถูกสกัด (extract) จากเซลล์ด้วยสารละลาย TRIzol (Gibco, USA) ตามวิธีการที่แนะนำโดย บริษัท จากนั้นวัดปริมาณ RNA ที่สกัดได้ด้วยเครื่องสเปคโตรโฟโตมิเตอร์ ที่ความยาวคลื่นแสง 260 นาโน เมตร RNA จำนวน 1 ไมโครกรัมจากแต่ละกลุ่มทดลองถูกนำไปผ่านกระบวนการรีเวอร์ส ทรานสคริปขัน (reverse transcription, RT) เพื่อสร้างคอมพลีเมนทารีดีเอ็นเอ (complementary DNA) โดยใช้เอนไซม์ AMV (avion myeloblastosis virus) แล้วขยายสัญญาณด้วยเทคนิค PCR (polymerase chain reaction) โดยใช้ เอนไซม์แทคโพลีเมอเรส (Taq polymerase) และไพร์มเมอร์ (primer) ที่จำเพาะต่อ mRNA ของไฟโบรเนคติน คอลลาเจน และ NGF และใช้สัญญาณของ GAPDH (glyceraldehyde-3-phosphate dehydrogenase) เป็นตัวควบคุมภายในของการทดลอง (internal control) เพื่อการตรวจสอบว่าปริมาณของอาร์เอ็นเอดั้งต้นที่ใช้ มีปริมาณเท่ากัน สัญญาณที่ได้จาก PCR ถูกวิเคราะห์โดยการแยกด้วยไฟฟ้าในอกาโรสเจล (agarose gel) และอ่านความเข้มด้วยโปรแกรม Scion Image analysis

ลำดับของสายไพร์มเมอร์ที่ใช้ในการทดลอง คือ

GAPDH Forword 5' TGA AGG TCG GAG TCA ACG GAT 3'

Reverse 5' TCA CAC CCA TGA CGA ACA TGG 3'

Fibronectin Forword 5' GGA TCA CTT ACG GAG AAA CAG 3'

Reverse 5' GAC ACT AAC CAC ATA CTC CAC 3'

Collagen α1 Forword 5' CTG GCA AGA AGG CGG CAA A 3'

Reverse 5' CTC ACC ACG ATC ACC ACT CT 3'

NGF Forward 5' ATA CAG GCG CAA CCA CAC TCA G 3',

Reverse 5' GTC CAC AGT AAT GTT GCG GGT C 3',

β1 integrin Forword 5' AGGAACAGCAGAGAAGCTCA

Reverse 5' AGCCGTGTAACATTCCTCCA

α5 integrin Forword 5' GCG CTC CAC TGT ACA GCT G 3'

Reverse 5' CAG CAA GTC ATC CAG CCC G 3'

การย้อมหาปริมาณไฟโบรเนคตินด้วยแอนติบอดี (immunocytochemistry)

t เซลล์ถูกตรึงด้วยเมทานอล บนน้ำแข็ง จากนั้นจึงย้อมด้วยแอนติบอดีต่อโปรตีนไฟโบรเนคติน (mouse monoclonal anti-fibronectin; Sigma) และย้อมซ้ำด้วยแอนติบอดีทุติยภูมิที่มีสารฟลูออเรส ขึ้นเชื่อมต่ออยู่ จากนั้นจึงตรวจสอบสัญญาณด้วยกล้องจุลทรรศน์ฟลูออเรสเซนท์ สัญญาณที่เป็น background จะตรวจสอบโดยการย้อมด้วยแอนติบอดีทุติภูมิโดยไม่ใช้แอนติบอดีปฐมภูมิ

การวิเคราห์หา NGF ด้วยวิธี ELISA

เซลล์ถูกหว่านลงในจานเลี้ยงแบบ 96 หลุม และทำการกระตุ้นเช่นเดียวกับการทดลองอื่นๆ จากนั้นจึง ตรวจสอบด้วย NGF ELISA kit (R&D system) โดยตรวจสอบจากอาหารเลี้ยงเซลล์ ตามวิธีที่ระบุไว้ในคู่มือ ของบริษัท และตรวจวัดสัญญาณด้วยสเปคโตรโฟโตมิเตอร์ NGF E_{max} ImmunoAssay Systems (Promega, Madison, WI)

การวัดความเป็นพิษด้วยเทคนิค MTT assay

MTT assay จะวัดตามวิธีที่ได้เคยรายงานไว้แล้ว (Pattamapun, et al 2003) โดยเซลล์ถูกถ่ายลงใน จานเลี้ยงเซลล์แบบ 24 หลุม ที่ความหนาแน่น 25,000 เซลล์/ตารางเซนติเมตร เป็นเวลา 1 วัน จากนั้น กระตุ้น ด้วย สารที่ต้องการทดสอบในความเข้มข้นต่างๆ เป็นเวลา 24 ชั่วโมง โดยใน 4 ชั่วโมงสุดท้ายของการกระตุ้น อาหารเลี้ยงเซลล์จะถูกเปลี่ยนเป็นชนิดที่ไม่มี phenol red และมี MTT (3-[4,5-Dimethylthiazol-2-yl]-2,5-diphenyltetrazolium bromide) ที่ความเข้มข้นสุดท้ายเท่ากับ 0.5 มิลลิกรัม/มิลลิลิตร

เมื่อครบเวลา 24 ชั่วโมง คูดอาหารเลี้ยงเซลล์ออก แล้วเติม DMSO (dimethylsulfoxide) 1 มิลลิลิตร ลงในแต่ละหลุมของจานเลี้ยงเซลล์เพื่อละลายผลึก formazan ที่เซลล์สร้างขึ้นจากสารละลาย MTT จากนั้นจึง นำไปอ่านค่าการดูดกลื่นแสงด้วย spectrophotometer ที่ความยาวคลื่นแสง 570 นาโนเมตร จากนั้นจะแปลง ค่าการดูดกลื่นแสงเป็นจำนวนเซลล์ตามกราฟมาตรฐาน และปรับเป็นจำนวนร้อยละของเซลล์

การศึกษาการเคลื่อนที่ของเซลล์

เซลล์ถูกหว่านลงใน 48 well chemotaxis chamber a 48-well chemotaxis chamber (Neuroprobe, Gaithersburg, MD, USA). ซึ่งเป็นเครื่องมือในการศึกษาการเคลื่อนของเซลล์ในแนวดิ่งเข้าหาสารที่สามารถ ดึงดูดเซลล์ เซลล์ถูกหว่านที่ความหนาแน่น 1 x 10⁶ เซลล์/มิลลิลิตร โดยใช้ปริมาณ 56 ไมโครลิจร/หลุม (~56,000 cells เซลล์ต่อหลุม) ลักษณะของ apparatus จะแบ่งออกเป็น 2 ชั้น โดยมีแผ่นเมมเบรนที่มีรูพรุน คั่นกลาง เซลล์ถูกหว่านลงใน upper chamber ส่วนใน lower chamber จะเติมอาหารเลี้ยงเซลล์ที่มี SPARC ที่ความเข้มข้นต่างๆ จาก 0-5 ไมโครกรัม/มิลลิลิตร จากนั้นเลี้ยงต่อไปเป็นเวลา 16 ชั่วโมง เพื่อให้เซลล์ใน upper chamber เคลื่อนผ่านแผ่นเมมเบรนไปยัง lower chamber จากนั้นจึงตรึงด้วยสารละลายฟอร์มาลิน ความเข้มข้น ร้อยละ 3.7 เป็นเวลา 10 นาที จากนั้นจึงตัดแผ่นเมมเบรนออกจาก apparatus และนำมาย้อม ด้วยสีฮีมาทอกซิลิน พร้อมกับเซ็ดเซลล์ส่วน upper chamber ออก คงเหลือไว้แต่เซลล์ใน lower chamber จากนั้นนำมานับจำนวนเซลล์ที่อยู่ด้ายล่างของเมมเบรนภายใต้กล้องจุลทรรศน์

การทำ co-immunoprecipitation

เซลล์ถูกกระตุ้นด้วย TGF-β เป็นเวลา 1 คืน จากนั้นจึงสกัดโปรตีนด้วย M-per lysis buffer (Pierce) นำโปรตีนที่สกัดได้มา ทำ Co-immunoprecipitation โดยใช้ Profound M Co-Immunoprecipitation kit (Pierce) ตามวิธีการที่ระบุในคู่มือ ดังนี้ โปรตีนจะถูกบุ่มด้วยแอนติบอดีต่ออินทิกริน αV (rabbit anti-integrin αV polyclonal antibody, cytosolic epitope, Chemicon) ที่ถูกยึดไว้กับเม็ดโปรตีน A เป็นเวลา 2 ชั่วโมง ที่ อุณหภูมิ 4 องศาเซลเซียส จากนั้นจึงล้างด้วยฟอสเฟตบัฟเฟอร์ แล้วสกัดโปรตีนที่เกาะติดกับเม็ดโปรตีน A ด้วย elution buffer แล้วจึงนำมาแยกด้วยไฟฟ้า และย้อมด้วยแอนติบอดีต่ออินทิกริน αV และแอนติบอดีต่อ SPARC (mouse anti-osteonectin/SPARC monoclonal antibody, Zymed)

ตอนที่ 1 ผลของ TGF-β ต่อเซลล์โพรงฟัน

ดังกล่าวแล้วว่า Transforming growth factor-β เป็นโกรีทแฟคเตอร์ตัวหนึ่งที่มีบทบาทมากต่อการ สร้างเมทริกซ์นอกเซลล์ และการดิฟเฟอเรนซิเอทของเซลล์โพรงพัน (Nagashima, 1992) และจากรายงานที่ แสดงว่าเซลล์สร้างเนื้อพันได้สร้างและสะสม TGF-β ไว้ในปริมาณที่สูงภายในเนื้อพันระหว่างการสร้างเนื้อพัน (D'Souza et al., 1998) ทำให้เกิดข้อสันนิษฐานว่า TGF-β น่าจะเป็นสารหลักที่มีความสำคัญอย่างมากในการ กระตุ้นการช่อมแซมของเนื้อเยื่อโพรงพัน โดยจะปล่อย TGF-β ออกมาสู่เนื้อเยื่อโพรงพันเมื่อพันได้รับอันตราย นอกจากนี้ เนื้อเยื่อโพรงพันยังอาจได้รับ TGF-β ที่หลังออกมาเป็นจำนวนมากจากเกล็ดเลือดที่แข็งตัว (Centrella et al., 1986) ในกรณีที่เกิดการฉีกขาดของหลอดเลือดจากอันตรายที่เกิดกับเนื้อเยื่อโพรงพัน

โดยทั่วไปแล้ว TGF-β เป็นโกร๊ทแฟคเตอร์ที่ทำหน้าที่ควบคุมการทำงานของเซลส์ได้หลายด้าน ตั้งแต่ การกระตุ้นการแบ่งตัว การกระตุ้นและควบคุมการสร้างเมทริกซ์นอกเซลล์ ตลอดจนการเหนี่ยวนำการดิฟเฟอ เรนซิเอทของเซลล์หลายชนิด รวมทั้งเซลล์ของกระดูกและหน่อฟัน (Heine et al., 1987; Kim and Ballock, 1993; Vaahtokari et al., 1991; Inage and Toda, 1996) และยังพบว่าเป็นโกร๊ทแฟคเตอร์ที่พบได้มากที่สุด ทั้งในกระดูกและฟันด้วย (Akhurst, 1994; Finkelman et al., 1990; Cassidy et al., 1997)

ในระหว่างพัฒนาการของพัน สัญญาณของ TGF-β จะเริ่มปรากฏในหน่อพันตั้งแต่ในระยะเริ่มต้น (bud stage) โดยพบการแสดงออกของ TGF-β ทั้งในเซลล์ของ dental epithelium ที่จะพัฒนาไปเป็นเคลือบ พัน และใน dental mesenchyme ที่จะพัฒนาไปเป็นเนื้อพันและเนื้อเยื่อโพรงพัน (Lehnert and Akhurst, 1988) จากนั้น ในหน่อพันระยะถัดมา (bell stage) จะพบ TGF-β ในเซลล์เกือบทุกส่วนของหน่อพัน รวมทั้ง เซลล์สร้างเคลือบพัน (mature ameloblast), เซลล์ของ dental papilla และเซลล์สร้างเนื้อพัน (Heine et al., 1987; Lehnert and Akhurst, 1988; Vaahtokari et al., 1991; Thesleff and Vaahtokari, 1992; Inage and Toda, 1996) โดยใน dental papilla สัญญาณของ TGF-β จะสูงมากในเซลล์สร้างเนื้อพัน (D'Sousa et al. 1998) ทำให้เกิดข้อสันนิษฐานว่า TGF-β น่าจะทำหน้าที่เกี่ยวข้องกับการดิฟเฟอเรนซิเอทของเซลล์สร้างเนื้อ พัน โดยมีรายงานของ Ruch และคณะในปี 1995 สนับสนุน เมื่อคณะผู้วิจัยกลุ่มนี้ พบว่า TGF-β สามารถ เหนี่ยวนำเซลล์ของ dental papilla ในห้องปฏิบัติการให้เจริญเป็นเซลล์สร้างเนื้อฟันได้

นอกจากบทบาทของ TGF-β ในระหว่างพัฒนาการของฟัน แล้ว ยังมีรายงานว่า TGF-β ยังมีบทบาท ในฟันที่สร้างเสร็จสมบูรณ์แล้วด้วย โดยจะพบมีการแสดงออกของ TGF-β ในเนื้อเยื่อโพรงฟันของฟันที่สร้าง เสร็จสมบูรณ์แล้ว (D'Souza et al., 1990; Nakashima et al., 1998) และมีงานวิจัยที่แสดงว่า TGF-β น่าจะ ทำหน้าที่เกี่ยวข้องกับการกระตุ้นและควบคุมการสร้างเมทริกซ์นอกเซลล์ของเซลล์โพรงฟัน (Nakashima,

1992; Shirakawa et al., 1994; Shiba et al., 1998) การกระตุ้นกระบวนการซ่อมแซมเนื้อเยื่อโพรงพัน (Tziafas and Papadimitriou, 1998; Tziafas et al., 1998) และการรักษาสมดุลย์ภายในเนื้อเยื่อโพรงพัน (D'Souza et al., 1998) อย่างไรก็ดี รายงานถึงผลโดยตรงของ TGF-β ที่มีต่อเซลล์โพรงพันส่วนใหญ่ยังคงเป็น รายงานในสัตว์ทดลอง

ในกรณีของการช่อมแซมเนื้อเยื่อโพรงพัน มีหลักฐานในสัตว์ทดลองแสดงว่า TGF-β สามารถ เหนี่ยว่นำการเกิดเซลล์คล้ายเซลล์สร้างเนื้อพัน (Tziafas and Papadimitriou, 1998; Tziafas et al., 1998; Hu et al., 1998) ผลจากการทดลองในหนู พบว่าเมื่อปิดรอยทะลุของโพรงพันด้วย TGF-β หรือ dentinextract จะสามารถกระตุ้นการสร้างเนื้อพันทดแทนได้ และการกระตุ้นนี้จะถูกยับยั้งเมื่อใช้แอนติบอดีต่อ TGF-β (Tziafas et al., 1998) ซึ่งสนับสนุนบทบาทของ TGF-β ในการช่อมแซมเนื้อพัน อย่างไรก็ดี รายละเอียด ของกลไกการทำงานของ TGF-β ในการกระตุ้นการช่อมแซมเนื้อเยื่อโพรงพันนั้น ยังไม่มีความชัดเจน

Nerve growth factor (NGF) เป็นโกร็ทแฟคเตอร์อีกตัวหนึ่งที่มีบทบาทอย่างมากหลังจากที่ฟันได้รับ อันตราย NGF เป็นโปรตีนในกลุ่มของ นิวโรโทรฟิน (Neurotrophins) ซึ่งเป็นกลุ่มของโปรตีนขนาดเล็ก ที่มี บทบาทในการกระตุ้นการเจริญของเซลล์ประสาท ช่วยในการดำรงชีวิต ตลอดจนการดิฟเฟอเรนซิเอทของ เซลล์ประสาท (Leve-Montalcini, 1987) รายงานโดย Byers (1992a; 1992b) พบว่าหลังจากการกรอพัน ระดับของ NGF ในเนื้อเยื่อโพรงฟันจะสูงขึ้นอย่างมากใต้ต่อบริเวณที่เนื้อพันได้รับอันตราย ผลของ NGF จะ เหนี่ยวน้ำให้ปลายประสาทแตกแขนง ทำให้ความไวต่อการตอบสนองต่อสิ่งเร้าของเนื้อเยื่อโพรงฟัน เพิ่มสูงขึ้น นอกจากนี้ NGF ยังมีผลในการขยายหลอดเลือดขนาดเล็กของเนื้อเยื่อโพรงฟัน ทำให้มีการรั่วของผนังหลอด เลือด และมีการคั่งของของเหลวในเนื้อเยื่อโพรงฟัน ซึ่งจะกระตุ้นกระบวนการอักเสบขึ้น ซึ่งเชื่อกันว่า กลไกที่ เกิดขึ้นนี้ เป็นหนึ่งในกลไกป้องกันตนเองของเนื้อเยื่อโพรงฟัน แต่หากการตอบสนองนี้ รุนแรงมาก สภาวะของ การอักเสบอาจเป็นแบบที่ไม่กลับคืน (irreversible) ทำให้เกิดการปวดอย่างรุนแรงได้ (Olgart and Kerezoudis, 1994; Byers and Narhi, 1999)

นอกจากบทบาทดังกล่าวข้างต้น ยังมีรายงานที่แสดงว่า NGF น่าจะเกี่ยวข้องกับการซ่อมแซมเนื้อเยื่อ หลายชนิด โดยเฉพาะแผลของผิวหนัง (Matsuda et al., 1998; Micera et al., 2001; Kohyama et al., 2003; Nathya et al., 2003) อย่างไรก็ดี บทบาทของ NGF ในการซ่อมแซมเนื้อเยื่อโพรงพัน ยังคงเป็นเพียงข้อ สันนิษฐาน โดยที่ยังไม่มีการศึกษาอย่างขัดเจน และจากการที่พบการเพิ่มขึ้นทั้ง TGF-β และ NGF เพิ่มสูงขึ้น อย่างมากในเนื้อเยื่อโพรงพันหลังจากได้รับอันตราย จึงเพิ่มความเป็นไปได้ที่ทั้ง TGF-β และ NGF จะมีส่วน ร่วมกันในการกระตุ้นหรือเหนี่ยวนำการซ่อมแซมของเนื้อเยื่อโพรงพัน

จากบทบาทของ NGF ในการซ่อมแซมของเนื้อเยื่อยึดต่อ คณะผู้วิจัยจึงตั้งข้อสมมติฐานว่า NGF น่าจะมีส่วนร่วมกับ TGF-β และ SPARC ในการซ่อมแซมเนื้อเยื่อโพรงฟัน เพื่อนำไปสู่การสร้างเนื้อฟันทดแทน และการรักษาสมดุลของเนื้อเยื่อโพรงฟันด้วย

ความรู้ความเข้าใจในบทบาทของ TGF-β และ SPARC ที่มีต่อการซ่อมแซมเนื้อเยื่อโพรงฟัน จะ สามารถนำไปประยุกต์เพื่อปรับปรุงเทคนิค หรือวัสดุทางทันตกรรม เพื่อเพิ่มประสิทธิภาพในการให้การรักษา ทางทันตกรรมต่อไป

ผลการทดลอง

<u>ก. ผลของ TGF-β ต่อการสร้างไฟโบรเนกตินและคอลลาเจน</u>

ในการทดสอบผลของ TGF-β ต่อการเปลี่ยนแปลงของไฟโบรเนคตินและคอลลาเจน แสดงไว้ในรูปที่ 1 ผลการทดลองแสดงว่า TGF-β กระตุ้นการแสดงออกของไฟโยรเนคตินและคอลลาเจน

ี่ เซลล์โพรงฟันถูกกระตุ้นด้วย TGF-β ที่ความเข้มข้น 0.1, 0.5 และ 1 ไมโครกรัม/มิลลิลิตร ในสภาวะที่ ไม่มีชีรัม เป็นเวลา 1 คืน (16 ชั่วโมง) ผลการวิเคราะห์การแสดงออกของไฟโบรเนคตินและคอลลาเจน พบว่า TGF-β สามารถกระตุ้นการแสดงออกของโปรตีนทั้งสองขนิด ทั้งในระดับ mRNA และโปรตีน

ในรูปที่ 1 A เป็นผลการแสดงออกของโปรตีนทั้งสองชนิดในระดับ mRNA ด้วยเทคนิค reverse transcription polymerase chain reaction (RT-PCR) โดยใช้การแสดงออกของ GAPDH (glyceraldehyde i 3 phosphate dehydrogenase) เป็น internal control

ส่วนรูป 1B เป็นผลของการวิเคราะห์ระดับโปรตีนด้วยเทคนิค western analysis และผลการทดสอบ พบการเพิ่มขึ้นของโปรตีนในลักษณะเดียวกับที่พบใน จากรูป 1 A

ในภาพ 1B ตัวเลขทางซ้าย เป็นตำแหน่งของโปรตีนมาตรฐานที่ทราบน้ำหนัก และน้ำหนักของคอลลา เจน ชนิดที่ 1 สายอัลฟา 1 จะมีน้ำหนักโมเลกุลประมาณ 190 กิโลดาลตัน ส่วนไฟโบรเนกติน จะมีน้ำหนักโมเลกุลประมาณ 200 กิโลดาลตัน ในเลกุลประมาณ 200 กิโลดาลตัน

ผลการทดลองนี้ ตรงกับรายงานจำนวนมากที่แสดงถึงความสามารถของ TGF-β ในการกระตุ้นการ สร้างโปรตีนในเซลล์หลายชนิด (Leonard et al., 1991; Begue-Kirn et al., 1992) ซึ่งสนับสนุนแนวคิดที่แสดง ว่า TGF-β น่าจะมีบทบาทในการกระตุ้นการซ่อมแซมเนื้อเยื่อโดยเฉพาะเนื้อเยื่อโพรงฟัน โดยการกระตุ้นการ สร้างโปรตีนคอลลาเจนซึ่งเป็นโปรตีนที่เป็นโปรตีนโครงสร้างหลักของเนือัเยื่อโพรงฟัน และกระตุ้นการสร้างไฟ โบร์เนคติน ซึ่งเป็นโปรตีนที่ช่วยกระตุ้นการเคลื่อนที่ของเซลล์ และสนับสนุนการหายของบาดแผล

ความสามารถของ TGF-β ในการกระตุ้นการสร้างไฟโบรเนคติน ในเซลล์โพรงฟัน ยังไม่เคยมีรายงาน ร มาก่อน และผู้วิจัยได้รายงานไว้ใน Srisawasdi and Pavasant, J Endod 2007 In Press

ข. ผลของ TGF-β ต่อการแสดงออกของ Nerve growth factor (NGF)

ในการทดลองส่วนต่อมา เป็นการทดสอบผลของ TGF-β ต่อการแสดงออกของ NGF เนื่องจากมี รายงานที่แสดงการเพิ่มขึ้นของ NGF ภายในเนื้อเยื่อโพรงฟันอย่างรวดเร็วภายหลังฟันได้รับอันตราย

เมื่อกระตุ้นเซลล์โพรงพันด้วย TGF-β ที่ความเช้มข้น 0.1, 0.5 และ 1 นาโนกรัม/มิลลิลิตร เป็นเวลา 24 ชั่วโมง พบว่า TGF-β สามารถกระตุ้นการแสดงออกของ NGF ได้โดยการกระตุ้นจะแปรผันตามความ เข้มขั้นของ NGF (รูปที่ 2) ซึ่งเมื่อทำการวัดปริมาณโปรตีน NGF ที่หลั่งออกมาในอาหารเลี้ยงเซลล์ ด้วยวิธี ELISA พบว่าได้ผลในทิศทางเดียวกับ mRNA

ผลการทดลองในรูปที่ 3 แสดงให่เห็นว่า TGF-β สามารถกระตุ้นการแสดงออกของ NGF ได้ตั้งแต่ที่ 4 ชั่วโม่งแรกหลังการกระตุ้น และผลจากการวัดโปรตีน ก็ได้ผลในทิศทางเดียวกัน

ในการทดลองต่อมา เป็นการใช้ตัวยับยั้งในกลุ่ม MAPK (mitogen associated protein kinase) ได้แก่ ตัวยับยั้งต่อ p38 kinase, ERK (extracellular signal-regulated kinase) และ JNK (c-Jun N-terminal kinase) เพื่อศึกษากลไกการกระตุ้น NGF โดย TGF-β

ผลการทดลองในรูปที่ 4 แสดงว่า TGF-β กระตุ้นการสร้างและหลั่ง NGF ผ่านทาง p38 kinase และ JNK โดยตัวยับยั้งทั้งสองชนิด สามารถยับยั้งการสร้างและหลั่ง NGF จากการกระตุ้นด้วย TGF-β ได้อย่างมี นัยสำคัญ และเมื่อตรวจสอบระดับของ active p38 และ active JNK (phosphorylated form)พบว่ามีระดับ เพิ่มขึ้นเมื่อกระตุ้นด้วย TGF-β ดังแสดงผลในรูปที่ 5

การกระตุ้น NGF โดย TGF-β ยังสามารถยับยั้งได้ด้วย staurosporin ซึ่งแสดงว่า กลไกที่เกี่ยวข้อง สัมพันธ์กับ serine/threonine kinase (ซึ่งเป็น kinase ชนิดเดียวกับ kinase จากตัว TGF-β receptor เอง) และสามารถยับยั้งได้ด้วย SB225002 ซึ่งเป็น G-protein-coupled receptor inhibitor แสดงถึงความเกี่ยวพัน ของสัญญาณจาก TGF-β กับสัญญาณจาก G-protein receptor (รูปที่ 6)

เพื่อตรวจสอบความสัมพันธ์ระหว่าง สัญญาณจาก p38 และ JNK กับสัญญาณของ
serine/threonine kinase (หรือที่คาดว่าเป็นสัญญาณจาก TGF-β receptor) และสัญญาณจาก G-protein
receptor เซลล์โพรงฟัน จะถูกกระตุ้นด้วย TGF-β ในสภาวะที่เติมตัวยับยั้งต่อ serine/threonine kinase และ

ต่อ G-protein-coupled receptor เป็นเวลา 15 นาที จากนั้นจึงตรวจสอบระดับของ active p38 และ active JNK ผลภารทดลองในรูปที่ 7 แสดงว่า ตัวยับยั้งต่อ G-protein-coupled receptor ยับยั้งการเกิด active p38 ในขณะที่ตัวยับยั้งต่อ serine/threonine kinase ยับยั้งการเกิด active JNK

บทวิจารณ์

ในระหว่างการสร้างเนื้อพันเซลล์สร้างเนื้อพันจะสร้าง TGF-β จำนวนมากและเก็บไว้ในเนื้อพัน และ เมื่อเกิดอันตรายต่อพัน TGF-β จะถูกปล่อยออกจากเนื้อพันเข้ามาในเนื้อเยื่อโพรงพัน ผลการทดลองครั้งนี้ ที่ แสดงว่า TGF-β สามารถกระตุ้นการแสดงออกของ NGF ได้ภายใน 4 ชั่วโมง สอดคล้องกับรายงานที่แสดงว่า ระดับของ NGF เพิ่มขึ้นอย่างรวดเร็วในเนื้อเยื่อโพรงพัน หลังจากที่พันได้รับอันตราย (Byers et al., 1992)

NGF ทำหน้าที่เกี่ยวข้องกับระบบประสาทภายในเนื้อเยื่อโพรงฟัน โดยสามารถกระตุ้นให้ปลาย ประสาทมีความไวต่อสิ่งเร้ามากขึ้น (hypersensitivity) ซึ่งเป็นกลไกป้องกันตัวเองของเนื้อเยื่อโพรงฟัน นอกจากนี้ ยังพบว่า NGF มีบทบาทในการซ่อมแซมเนื้อเยื่อด้วย (Centrella et al., 2002; Lambiase et al., 2000) บทบาทของ NGF ต่อการ่อมแซมเนื้อเยื่อโพรงฟัน อยู่ในระหว่างการศึกษาเพิ่มเติม

สัญญาณจาก TGF-β จะส่งผ่านเข้าเซลล์ผ่านทาง TGF-β receptor โดยจะไปกระตุ้นการทำงานของ โปรตื่น Smad โดยเฉพาะ Smad 2 และ Smad 3 จากนั้น active Smad2/3 จะจับกับ Smad4 เกิดเป็น trimolecular complex ที่สามารถผ่านเข้าในนิวเคลียส และทำหน้าที่เป็น transcription factor โดยการกระตุ้น Smad ที่ตรง cytoplasmic tail ของ receptor จะเป็น kinase ชนิด serine/threonine kinase (Massague 2000a, b)

อย่างไรก็ดี มีรายงานว่า สัญญาณของ TGF-β อาจเกิดในลักษณะที่เป็น Smad independent โดย สัญญาณจะผ่านไปทาง signaling molecules อื่นๆ เช่น MAPK เป็นต้น (Shi et al., 2003) ซึ่งในทดลองครั้งนี้ พบว่าสัญญาณของ TGF-β receptor จะผ่าน JNK ก่อนไปควบคุมการแสดงออกของ NGF และการที่ staurosporin ซึ่งเป็น serine/threonine kinase สามารถยับยั้งการแสดงออกของ NGF ได้ เกิดเป็นข้อ สมมติฐานว่า สัญญาณจาก TGF-β receptor น่าจะผ่าน Smad ก่อน แล้วจึงผ่านต่อไปยัง JNK ก่อนไปควบคุมการแสดงออกของ NGF

การที่ G-protein coupled receptor inhibitor สามารถยับยั้งการแสดงออกของ NGF ได้ แสดงว่ามี crosstalk เกิดขึ้นระหว่าง TGF-β receptor กับ G-protein coupled receptor ซึ่งความสัมพันธ์ในลักษณะนี้ เคยมีรายงานแล้ว เช่น รายงานของคณะผู้วิจัยเอง ได้รายงานถึง crosstalk ระหว่าง TGF-β กับ 1,25

dihydroxyvitamin D (Pavasant et al., 2003) และรายงานของ Kim และคณะ ได้รายงานถึง crosstalk ระหว่างสัญญาณของอินทิกรินกับ TGF-β receptor (Kim et al., 2004) โดยในการทดลองนี้ พบว่า Crosstalk ที่เกิดขึ้นนี้ จะส่งผ่านสัญญาณไปทาง p38 kinase อย่างไรก็ดี รายละเอียดของความสัมพันธ์นี้ จะต้องมี การศึกษาเพิ่มเติมต่อไป

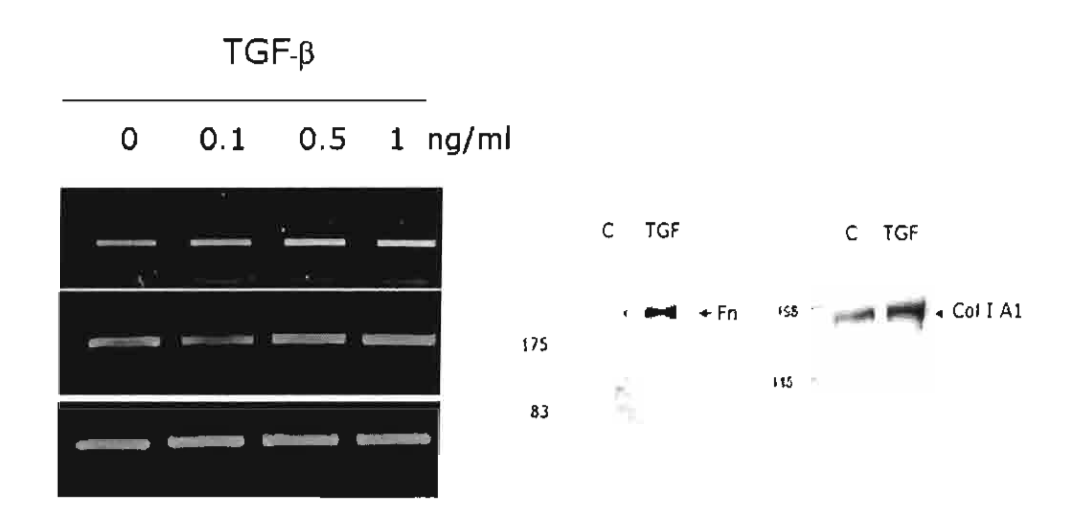
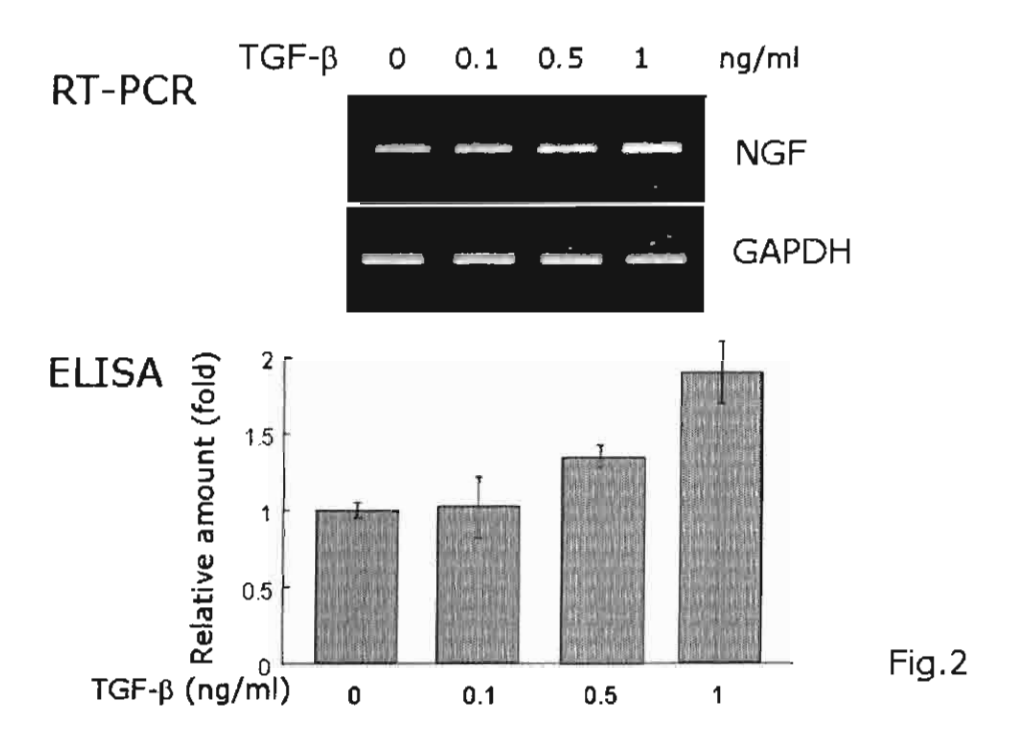


Figure 1

รูปที่ 1 ผลของ TGF-β ต่อการแสดงออกของไฟโบรเนคตินและคอลลาเจนในเซลล์โพรงพัน

ภาพทางข้าย แสดงผลของ เซลส์โพรงพื้นที่ถูกกระตุ้นด้วย TGF-β ที่ความเข้มข้น 0 – นาโนกรัม/มิลลิลิตร เป็นเวลา 24 ชั่วโมง และตรวจสอบระดับการแสดงออกของไฟโบนรเนคตินและคอลลาเจนชนิดที่ 1 ด้วยเทคนิค RT-PCR ผลการทดลองพบว่าระดับการแสดงออกของทั้งไฟโบรเนคตินและคอลลาเจนเพิ่มขึ้นตามความเข้มข้น ของ TGF-β ที่ใช้กระตุ้นเมื่อเทียบกับการแสดงออกของ GAPDH ที่ใช้เป็นตัวควบคุมภายใน

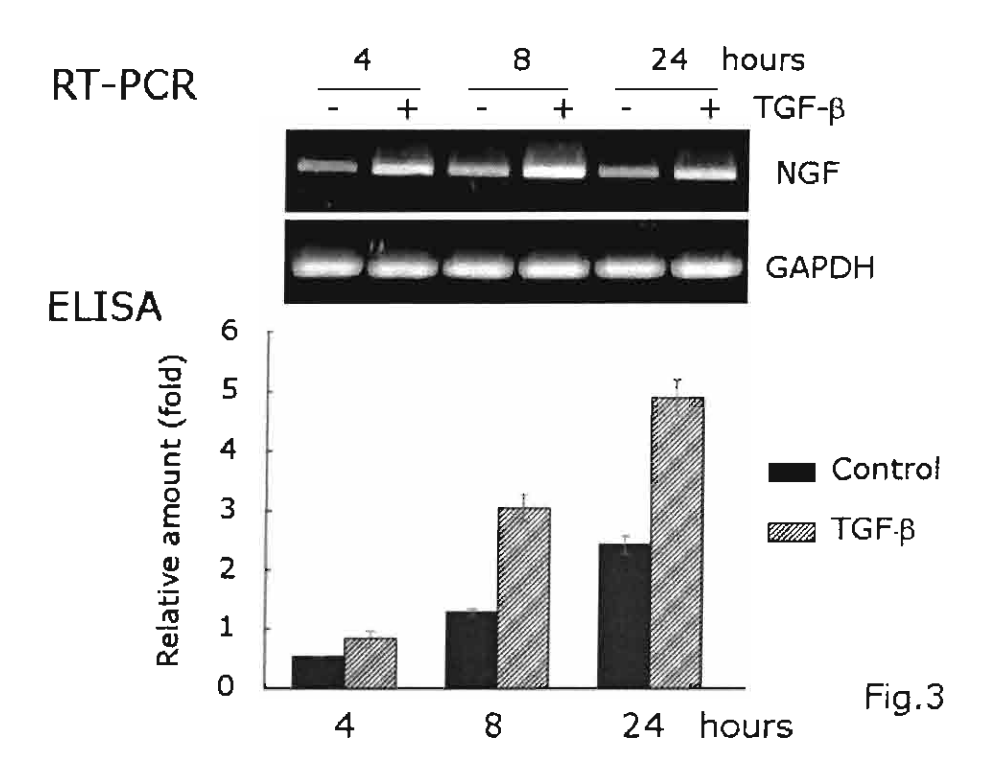
ภาพทางขวาแสดงผลเมื่อกระดุ้นด้วย TGF-β ที่ความเข้มข้น 1 นาโนกรัม/มิลลิลิตร ตามเวลาที่ระบุไว้ใน วิธีการทดลอง และตรวจสอบการแสดงออกของโปรตีนไฟโบรเนคตินและคอลลาเจน ชนิดที่ 1 ด้วยวิธี Western analysis พบว่ามีการสร้างโปรตีนทั้งสองชนิดเพิ่มขึ้นสอดคล้องกับการเพิ่มระดับ mRNA



รูปที่ 2 ผลของ TGF-β ต่อการแสดงออกของ nerve growth factor (NGF) ในเซลล์โพรงพัน

ภาพบนแสดงผลของ TGF-β ที่ความเข้มข้น 0.1 – 1 นาโนกรัม/มิลลิลิตร ที่มีต่อเซลล์โพรงฟัน หลังกระตุ้น เป็นเวลา 24 ชั่วโมง พบว่า TGF-β กระตุ้นการแสดงออกของ NGF แปรผันตามความเข้มข้นที่ใช้ เมื่อตรวจสอบ ระดับ mRNA

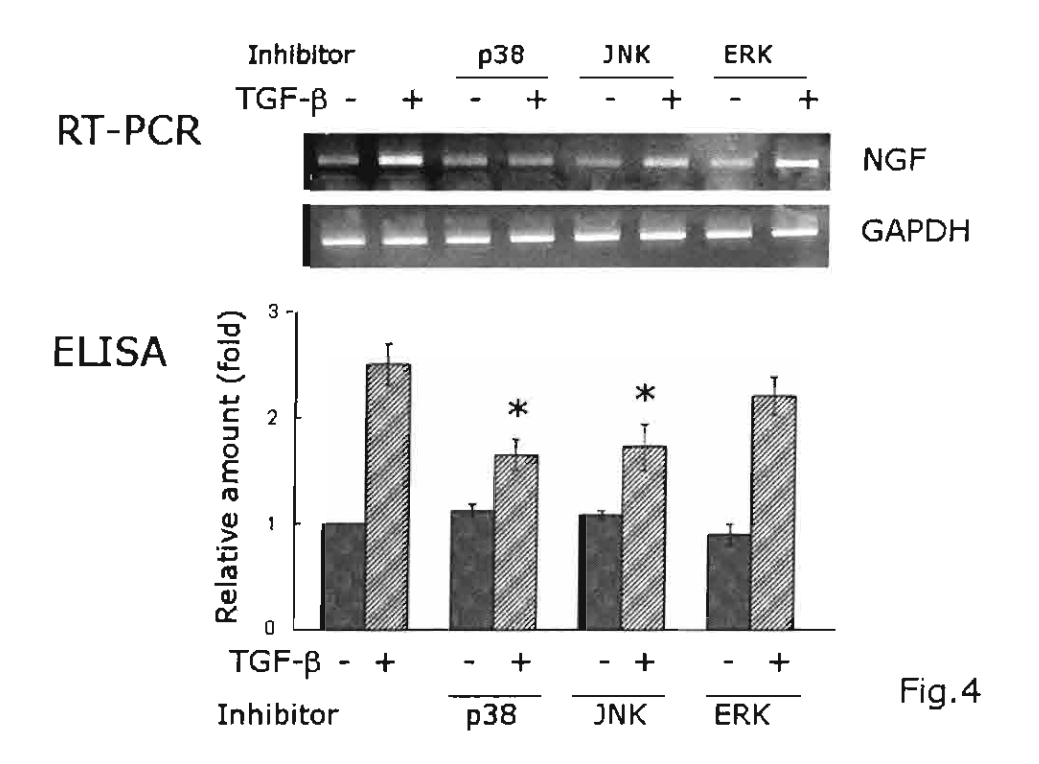
ภาพล่างแสดงระดับของ NGF ที่หลั่งจากเซลล์หลังถูกกระตุ้นด้วย TGF-β เมื่อวัดด้วยวิธี ELISA ซึ่ง สอดคล้องกับผลของระดับ mRNA ในภาพบน



รูปที่ 3 ผลของ TGF-β ต่อ NGF ที่ระยะเวลาต่างๆ

ภาพบนแสดงผลของ TGF-β ที่ความเข้มข้น 1 นาโนกรัม/มิลลิลิตร ต่อเซลล์โพรงฟัน หลังกระตุ้นเป็นเวลา 4-24 ชั่วโมง พบว่า TGF-β สามารถกระตุ้นการแสดงออกของ NGF ได้ตั้งแต่ที่ 4 ชั่วโมง

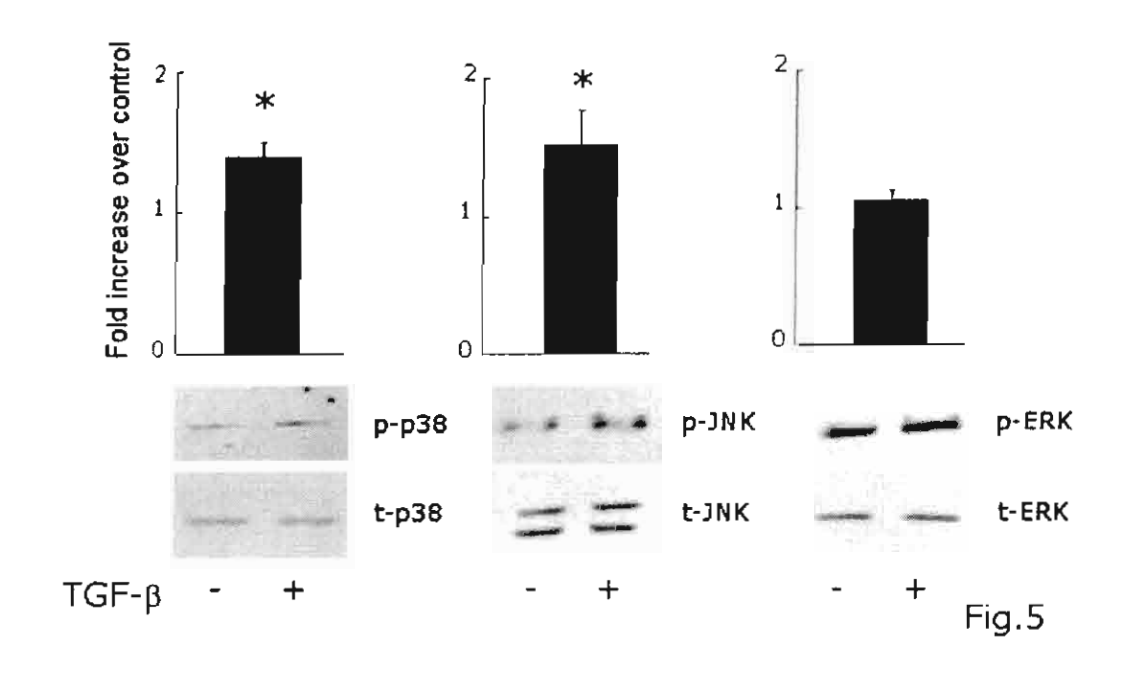
ภาพล่างแสดงระดับของโปรตีนเมื่อวัดด้วยวิธี ELISA ซึ่งผลสอดคล้องกับระดับ mRNA ในภาพบน



รูปที่ 4 ผลของ TGF-β NGF ถูกยับยั้งได้ด้วย MAPK inhibitors

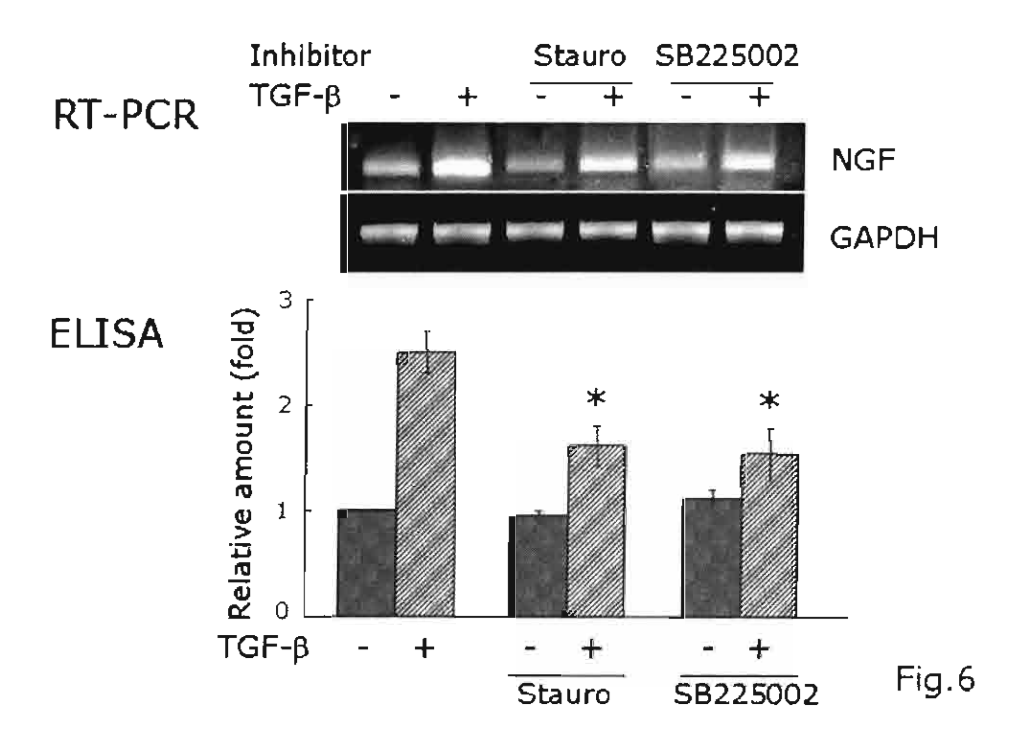
ภาพบนแสดงผลของ TGF-β ที่ความเข้มข้น 1 นาโนกรัม/มิลลิลิตร ในการกระตุ้นการแสดงออกของ NGF ในสภาวะที่มี หรือไม่มี MAPK inhibitors 3 ชนิด คือ p38 inhibitor, JNK inhibitor และ ERK inhibitor และ ตรวจสอบระดับ mRNA พบว่าการเติม p38 และ JNK inhibitors สามารถยับยั้งผลการกระตุ้น NGF ของ TGF-β ได้อย่างมีนัยสำคัญ (ANOVA, p < 0.05)

ภาพล่างแสดงระดับของโปรตีน NGF ที่วัดด้วยวิธี ELISA ซึ่งให้ผลสอดคล้องกับผลจาก mRNA



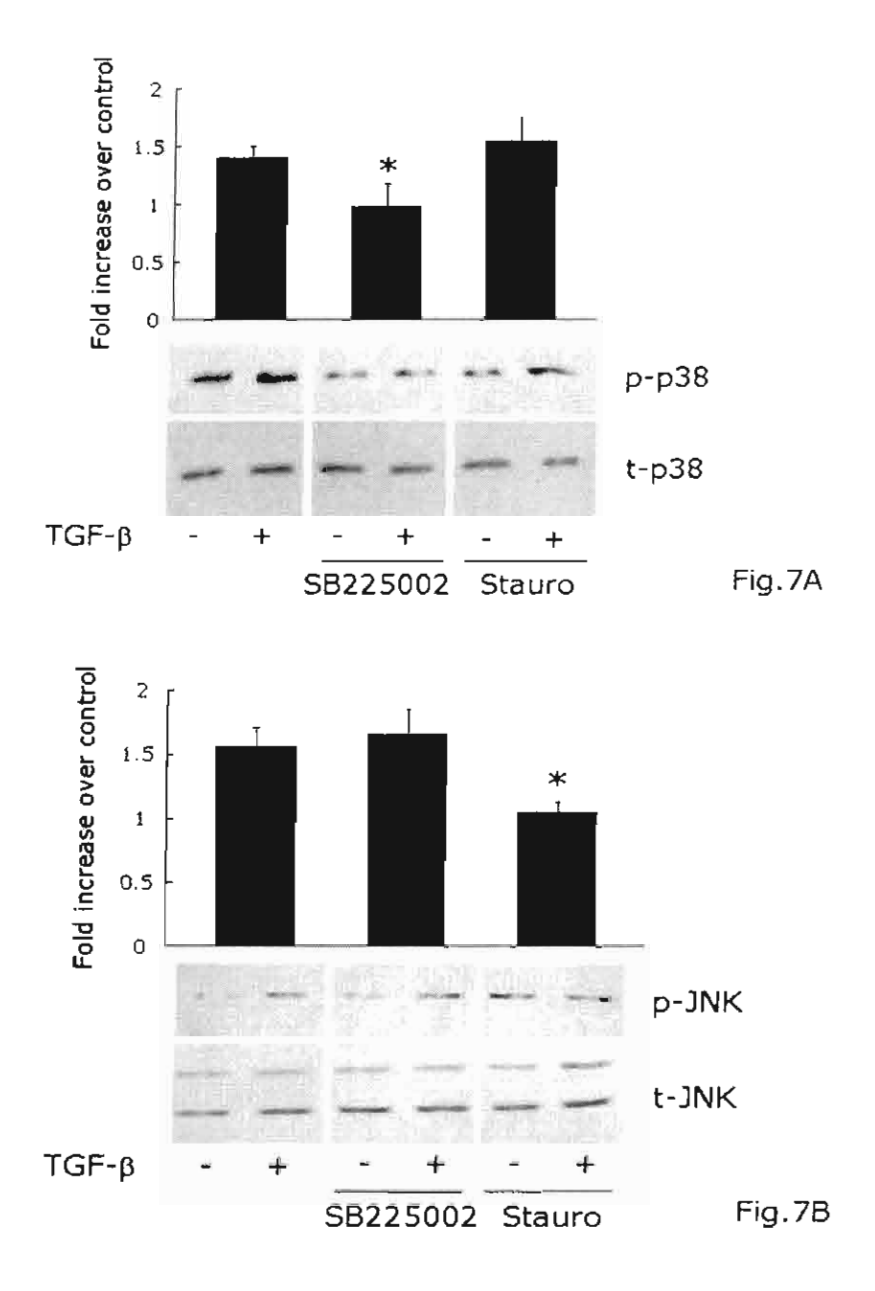
รูปที่ 5 ผลของ TGF-β ในการกระตุ้น MAPK ในเซลล์โพรงฟัน

เซลล์ถูกกระตุ้นด้วย TGF-β ความเข้มข้น 1 นาโนกรัม/มิลลิลิตร เป็นเวลา 30 นาที จากนั้นจึงสกัดโปรตีน และตรวจสอบระดับของ phosphorylated p38, JNK และ ERK (p-p38, pJNK. pERK) ซึ่งแสดงถึงระดับโปรตีนที่ ถูกกระตุ้น ตามที่แสดงในรูปด้านล่าง และความเข้มของรูปจะถูกวิเคราะห์เทียบกับความเข้มของ total p38, JNK และ ERK (t-p38, t-JNK, t-ERK) โดยเทียบให้กลุมควบคุมเท่ากับ 1 ผลการทดลองพบว่า TGF-β สามารถกระตุ้น p-p38 และ p-JNK



รูปที่ 6 ผลของ staurosporin และ SB225002 ต่อการกระตุ้น NGF

เซลล์ถูกกระตุ้นด้วย TGF-β ความเข้มข้น 1 นาโนกรัม/มิลลิลิตร เป็นเวลา 24 ชั่วโมง ในสภาวะที่มีหรือไม่ มี staurosporin (serine/threonin kinase inhibitor) และ SB225002 (G protein coupled receptor inhibitor) จากนั้นจึงจึงตรวจสอบการแสดงออกของ NGF พบว่าทั้ง staurosporin และ SB225002 สามารถยับยั้งผลของ TGF-β ในการกระตุ้น NGF ได้อย่างมีนัยสำคัญ (ANOVA, p < 0.05)



รูปที่ 7 Staurosporin และ SB225002 สามารถยับยั้งผลของ TGF-β ในการกระตุ้น MAPK

เซลล์ถูกกระตุ้นด้วย TGF-β ความเข้มข้น 1 นาโนกรัม/มิลลิลิตร เป็นเวลา 30 นาที ในสภาวะที่มี หรือไม่มี staurosporin และ SB225002 จากนั้นจึงตรวจสอบระดับของ phosphorylated p38 (7A) และ phosphorylated JNK (7B) และความเข้มของรูปจะถูกวิเคราะห์เทียบกับความเข้มของ total p38 และ total JNK โดยเทียบ ให้กลุ่มควบคุมเท่ากับ 1 ผลการทดลองพบว่า staurosporin ยับยั้งการกระตุ้น p-JNK ในขณะที่ SB225002 ยับยั้ง การกระตุ้น p-p38

ตอนที่ 2 ผลของ SPARC ต่อเซลล์โพรงฟัน

การเปลี่ยนแปลงชนิดและปริมาณของเมทริกซ์นอกเซลล์ สามารถสะท้อนถึงระดับการดิฟเฟอเรนซิเอ ทของเซลล์ได้เช่นกัน เช่น การปรากฏขึ้นของลามินิน (laminin) จะมีอิทธิพลต่อการดิฟเฟอเรนซิ เอทของเซลล์บุผิว (Hay, 1991) ในขณะที่การเปลี่ยนแปลงระดับของไฟโบรเนคติน (fibronectin) จะมีอิทธิพล ต่อการดิฟเฟอเรนซิเอทของเซลล์กระดูก (Moursi et al., 1996) เป็นต้น

โปรตีนในเมทริกซ์นอกเซลล์ดัวหนึ่งที่มีรายงานว่า น่าจะเกี่ยวข้องกับกระบวนการซ่อมแซมและการดิฟ เฟอเรนซิเอทของเซลล์โพรงฟัน คือ Osteonectin/SPARC (Secreted Protein, Acidic and Rich in Cysteine) ซึ่งเป็น glycoprotein ที่สามารถจับกับแคลเซียมอิจจน โปรตีนตัวนี้พบได้ทั้งในเนื้อเยื่อยึดต่อและในเนื้อเยื่อจนินทรีย์ คือกระดูกและฟัน แต่ระดับของ SPARC ในเนื้อเยื่อจนินทรีย์โดยเฉพาะกระดูก จะสูงกว่าในเนื้อเยื่อยึด ต่อถึง 50 เท่า (Termine et al., 1981; Kasugai et al., 1991; Maillard et al., 1992; Yao et al., 1994) ใน เนื้อฟันและเนื้อเยื่อโพรงฟัน มีรายงานว่าพบการแสดงออกของ SPARC ในเซลล์สร้างเนื้อฟัน (Begue-Kirn et al., 1994; Takano-Yamamoto et al., 1994) และจะพบโปรตีน SPARC ได้ที่บริเวณเซลล์สร้างเนื้อฟัน เนื้อ ฟันส่วน predentin และที่บริเวณผนังของ dentinal tubule (Reichert et al., 1992; Tung et al., 1985)

หน้าที่ของ SPARC ในกระดูกและฟัน โดยทั่วๆไป ยังไม่มีความขัดเจน มีเพียงข้อสันนิษฐานว่า SPARC น่าจะเกี่ยวข้องกับการปรับเปลี่ยนเมทริกซ์ของเนื้อฟันก่อนเกิดการตกตะกอนอนินทรีย์ ข้อสมมติฐาน ถึงบทบาทของ SPARC นี้ สอดคล้องกับผลการศึกษาในห้องปฏิบัติการ ที่พบว่าเซลล์โพรงฟันจะตอบสนองต่อ TGF-β โดยการเพิ่มการสร้าง SPARC และการเพิ่มขึ้นนี้จะเกิดขึ้นก่อนการเกิดตะกอน อนินทรีย์ (Shiba et al., 1998) แต่จากรายงานเมื่อเร็วๆนี้ โดย Itota และคณะ (2001) ที่แสดงว่า ระดับของ SPARC ในเนื้อเยื่อโพรงฟันจะสูงขึ้นอย่างมากในระหวางการซ่อมแซมเนื้อเยื่อโพรงฟันหลังได้รับอันตราย ดังนั้น จึงมีข้อสันนิษฐานว่าการเพิ่มขึ้นของโปรตีนขนิดนี้ อาจจะใช้เป็นเครื่องหมายบอกสภาวะการซ่อมแซม ของเนื้อเยื่อ รวมทั้งระดับการดิฟเฟอเรนซิเอทของเซลล์โพรงฟันได้

ส่วนหน้าที่โดยทั่วไปของ SPARC นั้น มีรายงานไว้หลายประการด้วยกัน ตั้งแต่การควบคุมการเกาะ ของเซลล์กับเมทริกซ์นอกเซลล์ การควบคุมการเจริญของหลอดเลือด และการกระตุ้นการสร้างโปรตีนหลาย ชนิด รวมทั้งการสร้างคอลลาเจนชนิดที่ I (Lane and Sage 1994; Rosenblatt et al., 1997; Francki et al., 1999) นอกจากนี้ SPARC ยังสามารถกระตุ้นการหลั่งเอนไซม์ในกลุ่มของ matrix metalloproteinases (MMP) ซึ่งทำหน้าที่เกี่ยวข้องกับการทำลายและการปรับเปลี่ยนของเนื้อเยื่อยึดต่อด้วย (Tremble et al., 1993) นอกจากนี้ ยังพบว่าการเพิ่มระดับของ SPARC มักพบในเนื้อเยื่อที่กำลังมีการปรับเปลี่ยน หรือมีการซ่อมแซม (Reed and Sage 1996)

ในกรณีของเซลล์มะเร็ง มีรายงานว่า SPARC สามารถเหนี่ยวนำการเคลื่อนที่ของเซลล์มะเร็งหลาย ชนิด (Kato et al., 1998-99; Rempel et al., 2001; De et al., 2003) รวมทั้งพบว่า กลไกการกระตุ้นการ เคลื่อนที่ของเซลล์มะเร็ง จะเกิดผ่านอินทิกรินในกลุ่มของ alpha v ซึ่งเป็นอินทิกรินที่พบมากในเซลล์มะเร็ง (De et al., 2003) อย่างไรก็ดี ยังไม่มีรายงานการศึกษาถึงหน้าที่ของ SPARC กับการกระตุ้นการเคลื่อนที่ของ เซลล์โพรงฟัน

จากรายงานถึงบทบาทของ SPARC ดังกล่าวข้างต้น จึงมีข้อสมมติฐานว่า SPARC น่าจะมีบทบาทใน การกระตุ้นการซ่อมแซมเนื้อเยื่อหลายชนิด แต่ในกรณีของเนื้อเยื่อโพรงฟัน คงมีเพียงรายงานของ Itota และ คณะ(2001) ที่แสดงความสัมพันธ์ของระดับการแสดงออกของ SPARC ในเนื้อเยื่อโพรงฟันที่ได้รับอันตราย แต่ ยังไม่มีรายงานที่ศึกษาหน้าที่ของ SPARC อย่างขัดเจน

การแสดงออกของ SPARC ถูกควบคุมด้วยฮอร์โมนและโกรัทแฟคเตอร์ในเซลล์หลายซนิด (Begue-Kim et al., 1994) แต่ในเนื้อเยื่อโพรงพัน ผลของโกรัทแฟคเตอร์ต่อการแสดงออกของ SPARC ยังคงไม่ชัดเจน นัก โดยมีเพียงรายงานของ Shiba และคณะ (1998) และรายงานของคณะผู้วิจัยเอง (Pavasant et al., 2003) ที่พบว่า TGF-β สามารถกระตุ้น SPARC ในเซลล์โพรงพัน นอกจากนี้คณะผู้วิจัยยังพบว่า ผลของ TGF-β ต่อ การแสดงออกของ SPARC จะเพิ่มสูงขึ้นเมื่อมี 1,25(OH)₂D₃ ร่วมกระตุ้นด้วย และเนื่องจาก 1,25(OH)₂D₃ เป็นฮอร์โมนที่มีอิทธิพลต่อการสร้างเนื้อพันและกระดูก ดังนั้น ความสามารถของ 1,25(OH)₂D₃ ในการเสริม ผลของ TGF-β ต่อการสร้าง SPARC ยิ่งเพิ่มน้ำหนักให้แก่ความสำคัญของ SPARC ในการช่อมแซมเนื้อเยื่อ โพรงพัน และการดิฟเฟอเรนซิเอทของเซลล์โพรงพัน นอกจากนี้ รายงานของ Francki และคณะ (1999) ที่ ศึกษาใน mesangial cells พบว่า SPARC สามารถควบคุมการแสดงออกของ TGF-β ได้ด้วย ซึ่งแสดงถึง ความสัมพันธ์ระหว่างสารทั้งสองนี้ ที่อาจเกี่ยวข้องกับการกระตุ้นการช่อมแซมของเนื้อเยื่อโพรงฟัน

ผลการทดลอง

ก. ผลของ SPARC ต่อการเจริญของเซลล์โพรงฟัน

เนื่องจากมีรายงานที่แสดงว่า SPARC เป็นโปรตีนที่มีผลต่ออัตราการเจริญของเซลล์ เช่นในเซลล์ endothelial และ smooth muscle cells เป็นต้น (ดู review ใน Yan and Sage 1999; Brekken and Sage 2000) ดังนั้นคณะผู้วิจัยจึงเริ่มการทดสอบด้วยการศึกษาถึงผลของ SPARC ต่ออัตราการเจริญของเซลล์ โดย

การกระตุ้นเซลล์ด้วย SPARC ที่ความเข้มข้นต่างๆ กันตั้งแต่ 0, 1, 3, และ 5 ไมโครกรัม/มิลลิลิตร เปณนเวลา 48 ชั่วโมง จากนั้นจึงวัดปริมาณเซลล์ด้วยเทคนิค MTT assay ซึ่งเป็นการวัดการทำงานของเอนไซม์ ในไมโต คอนเครีย ผลการทดลองแสดงในรูปที่ 8 ไม่พบการเปลี่ยนแปลงของจำนวนเซลล์ แสดงว่า SPARC ไม่มีผลต่อ อัตราการเจริยของเซลล์โพรงฟัน

ข. ผลของ SPARC ต่อการเคลื่อนที่ของเซลล์

ในการทดสอบผลของ SPARC ต่อการเคลื่อนที่ของเซลล์ คณะผู้วิจัยเลือกใช้ 48-well chemotaxic apparatus ซึ่งมีหลักการคือ เซลล์จะถูกหว่านลงในตอนบนของ apparatus ซึ่งแยกจากตอนล่างด้วยแผ่นกั้นที่ มีรูพรุ่นขนาด 8 ไมโครเมตร จากนั้นจึงเติมอาหารเลี้ยงเซลล์ที่มีสารที่ต้องการทดสอบไว้ในส่วนล่างจนเต็ม อาหารเลี้ยงเซลล์ในส่วนล่างจะขึ้มผ่านรูไปสัมผัสกับเซลล์ในส่วนบน ซึ่งหากสารในส่วนล่างสามารถดึงดูดการ เคลื่อนที่ของเซลล์ (chemotactic) เซลล์ก็จะเคลื่อนผ่านรูมายังส่วนล่างมากกว่าในสภาวะที่ไม่มีสารดึงดูด และการประเมินค่าจะทำโดยการย้อมสีเซลล์ที่อยู่ในส่วนล่าง และนับเซลล์ด้วยกล้องจุลทรรศน์

รูปที่ 9 แสดงผลของ SPARC ในการดึงคูดการเคลื่อนที่ของเซลล์โพรงฟัน โดยจะเห็นการเคลื่อนที่ของ เซลล์โพรงฟันเพิ่มขึ้นตามความเข้มข้นของ SPARC ที่ใช้

ผลการพดลองในรูปที่ 10 และ 11 เป็นการใช้ตัวยับยั้ง เพื่อศึกาากลไกการเหนี่ยวนำการเคลื่อนที่ของ SPARC ผลการพดลองแสดงว่า SPARC เหนี่ยวนำการเคลื่อนที่ของเซลล์ผ่านทาง ERK และน่าจะเกี่ยวข้องกับ αVβ3 integrin

นอกจากนี้ การที่ suramin ให้ผลในการยับยั้ง แสดงว่า น่าจะเกี่ยวข้องกับ G-protein receptor ด้วย เพราะ suramin สามารถยับยั้งการส่งสัญญาณจาก G-protein receptor แต่กลุ่มของ G-protein receptor ที่ เกี่ยวข้องกับการเหนี่ยวนำการเคลื่อนที่ของเซลล์โพรงฟันโดย SPARC ยังคงไม่ชัดเจน

ในรูปที่ 12 แสดงผลของ SPARC ในการกระตุ้นให้เกิด active ERK ซึ่งสอดคล้องกับผลการทดลองที่ ตัวยับยั้ง ERK สามารถยับยั้งผลของ SPARC ในรูปที่ 10 นอกจากนี้ neutralizing antibody ต่อ αVβ3 integrin และ suramin ก็สามารถยับยั้งการเกิด active ERK หลังการกระตุ้นด้วย SPARC เช่นกัน สนับสนุนว่า SPARC น่าจะส่งสัญญาณผ่าน αVβ3 integrin และ/หรือ G-protein receptor ก่อนจะส่งผ่านสัญญาณนั้นไป ยัง ERK

บทวิจารณ์

ผลการทดลองนี้ สนับสนุนว่า SPARC น่าจะทำหน้าที่เป็น chemotactic factor สำหรับเซลล์โพรงฟัน ซึ่งค่วามสามารถนี้ มีรายงานใน Prostate cancer cell line (De et al., 2003) ซึ่งความสามารถในการ เหนี่ยวนำการเคลื่อนที่ของเซลล์นี้ สนับสนุนว่า SPARC อาจเกี่ยวข้องกับกระบวนการซ่อมแซมเนื้อเยื่อโพรงฟัน

ในสภาวะที่ฟันได้รับอันตราย มีรายงานว่าระดับของ SPARC เพิ่มขึ้นรอบเซลล์สร้างเนื้อฟัน (Itota et al., 2001) นอกจากนี้ ระดับของ TGF-β ก็เพิ่มขึ้น (ดูข้างต้น) และมีรายงานว่า TGF-β สามารถเพิ่มการสร้าง SPARC ในเซลล์โพรงฟันได้ (Pavasant et al., 2003)

มีรายงานที่แสดงถึงความสัมพันธ์ระหว่างอินทิกรินกับการเคลื่อนที่ของเซลล์ (Huttenlocher et al., 1996; Palecek et al., 1997) ซึ่งสอดคล้องกับผลของ neutralizing antibody ต่อ αVβ3 integrin ที่ยับยั้งการ เคลื่อนที่ของเซลล์โพรงฟัน และเมื่อประกอบกับผลที่แสดงว่า neutralizing antibody ต่อ αVβ3 integrin สามารถยับยั้งการเกิด active ERK จากกการะตุ้นของ SPARC ทำให้เกิดเป็นข้อสมมติฐานว่า SPARC อาจส่ง สัญญาณผ่านมาทางอินทิกรินซนิดนี้

ค. ผลของ SPARC ต่อการสร้างไฟโบรเนกติน

โปรตีนไฟโบรเนคตินเป็นโปรตีนที่ ช่วยกระตุ้นการแบ่งตัว การยึดเกาะและการเคลื่อนที่ของเซลล์ จึง เป็นโปรตีนที่ยอมรับกันว่า สัมพันธ์กับการหายของบาดแผล

ตามที่แสดงผลไว้ในตอนต้นว่า TGF-β สามารถเพิ่มการสร้างไฟโบรเนคตินจากเซลล์โพรงฟันได้ และ ในการทดสอบผลของ SPARC พบว่าสามารถเพิ่มการสร้างโปรตีนไฟโบรเนคตินได้เช่นกัน ดังแสดงผลในรูปที่ 13 โดยการตรใจสอบทั้งด้วยวิธี Western analysis และวิธี immunocytochemistry และการกระตุ้นการสร้าง ไฟโบรเนคตินจะแปรผันตามความเข้มข้นของ SPARC ที่ใช้กระต้น

อย่างไรก็ดี พบว่า ระดับของ mRNA ไม่มีการเปลี่ยนแปลง คงเปลี่ยนแปลงเฉพาะระดับของโปรตีน แสดงว่า ผลของ SPARC ต่อไฟโบรเนคติน น่าจะเกิดในกลไกระดับ post-transcriptional regulation

เมื่อตรวจสอบเพิ่มเติมโดยการใช้ actinomycin D ซึ่งยับยั้งการสร้าง mRNA และ cycloheximide ซึ่ง ยับยั้งกระบวนการสร้างโปรตีน พบว่าในสภาวะที่เติม cycloheximide ไม่พบการสร้างโปรตีนไฟโบรเนคตินเลย ในขณะที่การใช้ actinomycin D ยังพบการเพิ่มขึ้นของโปรตีนไฟโบรเนคติน ซึ่งสอดคล้องกับแนวคิดที่ว่าผล ของ SPARC ต่อการสร้างไฟโบรเนคตินเป็นแบบ post-transcriptional regulation (รูปที่ 13)

ผลการทดลองในรูปที่ 14 แสดงให้เห็นว่า ผลของ SPARC ในการกระตุ้นการสร้างโปรตีนไฟโบรเนคติน ถูกยับยั้งได้ด้วยตัวยับยั้งต่อ AKT และ rapamycin (สารยับยั้งการทำงานของ mTOR หรือ mammalian target of rapamycin ซึ่งเป็นเอนไซม kinase ตัวหนึ่งที่ควบคุมกระบวนการ translation) แสดงว่ากระบวนการกระตุ้น น่าจะเกิดจาก SPARC ผ่านไปทาง AKT/mTOR

! ในการทดลองถัดมา เมื่อใช้ neutralizing antibody ต่อ αVβ3 integrin และ ตัวยับยั้งต่อ ERK พบว่า ตัวยับยั้งทั้งสองสามารถยับยั้งผลของ SPARC ต่อการสรางไฟโบรเนคตินได้ (รูปที่ 15) เช่นเดียวกับที่ยับยั้งผลของ SPARC ต่อการเคลื่อนที่ของเซลล์ที่กล่าวถึงแล้วข้างต้น และสนับสนุนว่า SPARC น่าจะส่งสัญญาณผ่าน αVβ3 integrin

เพื่อตรวจสอบแนวคิดนี้ คณะผู้วิจัยจึงทดลองทำ co-immunoprecipitation โดยการ precipitate αV integrin และย้อมหา SPARC โดยการทดลองเริ่มจากการกระตุ้นเซลล์ให้สร้าง SPARC ด้วย TGF-β เป็น เวลา 1 คืน จากนั้นจึงทำละลายเซลล์และ precipitate ด้วย anti-αV integrin และนำมาแยกด้วยไฟฟ้าเพื่อ ย้อมดู SPARC ด้วยเทคนิค Western analysis ผลการทดลองในรูปที่ 15 แสดงว่าการ precipitate αV integrin สามารถดึง SPARC ออกมาด้วยได้ แสดงว่าน่าจะมีการจับกันระหว่าง αV integrin และ SPARC และสนับสนุนแนวคิดว่า SPARC ส่งสัญญาณผ่านเข้าสู่เซลล์โพรงฟันทาง αVβ3 integrin

<u>บทวิจารณ์</u>

ความสามารถในการกระตุ้นการสร้างไฟโบรเนคติน สนับสนุนบทบาทของ SPARC ในการซ่อมแซม เนื้อเยื่อ โดยมีรายงานที่แสดงว่าการเพิ่มขึ้นของ SPARC สัมพันธ์กับการหายของเนื้อเยื่อโพรงฟัน (Piva et al., 2006) โดยพบการสะสมของไฟโบรเนคตินในเนื้อเยื่อโพรงฟันตำแหน่งใต้ต่อส่วนที่ปิดแผลทะลุด้วย แคลเซีย่มไฮดรอกไซด์ นอกจากนี้ ยังพบมีการสะสมของไฟโบนเนคตินใน basement membrane ในระหว่าง การดิฟเฟอเรนซิเอทของเซลล์สร้างเนื้อฟัน (Lesot et al., 1981) ซึ่งแสดงถึงบทบาทของไฟโบรเนคตินในการ ช่อมแซมเนื้อเยื่อโพรงฟันและดิฟเฟอเรนซิเอทของเซลล์โพรงฟัน

ึ่งานวิจัยครั้งนี้ ยังแสดงให้เห็นว่า SPARC น่าจะจับกับ αVβ3 integrin ได้โดยตรง ซึ่งสอดคล้องกับ รายงานโดย De และคณะ ซึ่งเสนอว่า SPARC เหนี่ยวนำการเคลื่อนที่ของเซลล์มะเร็งต่อมลูกหมากผ่าน αVβ3 integrin เช่นกัน

งานวิจัยยังพบความสัมพันธ์ระหว่างสัญญาณจาก SPARC ที่ผ่านมาทาง αVβ3 integrin และส่ง ต่อไปยัง ERK และ AKT ในการสร้างไฟโบรเนคตินด้วย

ง. ผลของ SPARC ต่อการสร้างอินทึกริน

การที่ SPARC มีผลต่อการสร้างโปรตีนไฟโบรเนคติน เกิดเป็นคำถามว่า SPARC จะมีผลต่อการ แสดงออกของอินทิกรินด้วยหรือไม่ ผลการทดลองในรูปที่ 16 แสดงว่า SPARC เพิ่มปริมาณของโปรตีน β1 integrin แต่ไม่มีผลต่อ α5 integrin และทำให้ปริมาณของ α5β1 integrin เพิ่มสูงขึ้น

การเพิ่มขึ้นของโปรตีน สอดคล้องกับระดับของ mRNA ที่เพิ่มมากขึ้น โดยพบว่าระดับของ mRNA ของ β1 เพิ่มสูงขึ้นเมื่อเทียบกับ GAPDH แต่ระดับของ α5 ไม่มีการเปลี่ยนแปลง

เพื่อพิสูจน์ว่า การเพิ่มขึ้นของไฟโบรเนคติน สัมพันธ์กับการเพิ่มขึ้นของ β1 integrin หรือไม่ เซลล์โพรงพันถูก กระตุ้นด้วย SPARC ในสภาวะที่มีหรือไม่มี neutralizing antibody ต่อ β1 integrin และพบว่า การเติม neutralizing antibody ต่อ β1 integrin ไม่มีผลต่อการเพิ่มของไฟโบรเนคติน (รูปที่ 16)

แลการทดลองในรูปที่ 17 พบว่า neutralizing antibody ต่อ αVβ3 integrin สามารถยับยั้งการ เพิ่มขึ้นของ β1 integrin ได้ แต่ไม่สามารถยับยั้งได้ด้วยตัวยับยั้งต่อ ERK หากแต่ยับยั้งได้ด้วยตัวยับยั้งต่อ JNK ซึ่งผลการทดลองแสดงว่า ผลของ SPARC ต่อการเพิ่มขึ้นของ β1 integrin อาจเกิดผ่าน αVβ3 integrin เช่นเดียวกับผลต่อการเคลื่อนที่ และต่อไฟโบรเนคติน แต่ไม่ได้ผ่าน ERK เช่นเดียวกัลผลต่อการเคลื่อนที่และ การสร้างไฟโบรเนคติน แต่เกิดผ่าน JNK

สรุป

ผลการทดลองทั้งหมดนี้ แสดงขึ้นความเป็นไปได้ที่ทั้ง TGF-β และ SPARC สามารถเหนี่ยวนำการ ช่อมแข่มเนื้อเยื่อโพรงพัน ผลการทดลองที่ผ่านมาของคณะผู้วิจัย พบว่า TGF-β สามารถเหนี่ยวนำให้เซลล์ โพรงพันสร้าง SPARC และในการทดลองครั้งนี้ ก็พบเพิ่มเดิมว่า TGF-β เหนี่ยวนำการเพิ่มขึ้นของ NGF รวมทั้งสามารถกระตุ้นการสร้างไฟโบรเนคติน และคอลลาเจนในเซลล์โพรงพันด้วย

การเพิ่มของ NGF แม้จะยังไม่สามารถพิสูจนีความสัมพันธ์กับการซ่อมแซมเนื้อเยื่อได้ แต่ก็เป็นหนึ่ง ในกลไก้การป้องกันตนเอง โดย NGF จะทำให้เกิด hypersensitivity ของฟัน และจากรายงานว่าสามารถกระตุ้นการซ่อมแซมเนื้อเยื่อบางซนิด ผลของ NGF ต่อเซลล์โพรงฟัน จะต้องมีการศึกษาเพิ่มเติมต่อไป

ุส่วนผลของ SPARC ต่อเซลล์โพรงฟัน ค่อนข้างซัดเจนว่าน่าจะกระตุ้นการซ่อมแซมเนื้อเยื่อโพรงฟัน เพราะ SPARC กระตุ้นการเคลื่อนที่ของเซลล์ รวมทั้งกระตุ้นการสร้างไฟโบรเนคตินซึ่งเป็นกลไกที่เกี่ยวข้องกับ การช่อมแซมเนื้อเยื่อ

นอกจากนี้ ผลการทดลองยังพบว่า SPARC น่าจะส่งสัญญาณผ่าน αVβ3 integrin โดย αVβ3 integrin อาจทำหน้าที่เป็น SPARC receptor ในเซลส์โพรงฟัน และโดยที่ SPARC receptor ยังไม่มีรายงานที่ ชัดเจน ผลการทดลองครั้งนี้ จึงเป็นการเพิ่มองค์ความรู้เกี่ยวกับประเด็นนี้

นอกจากนี้ SPARC ยังอาจส่งสัญญาณผ่าน G-protein coupled receptor ด้วย จากผลการใช้ suramin และ SB225002 อย่างไรก็ดี ยังต้องมีการทดลองเพิ่มเติมต่อไป

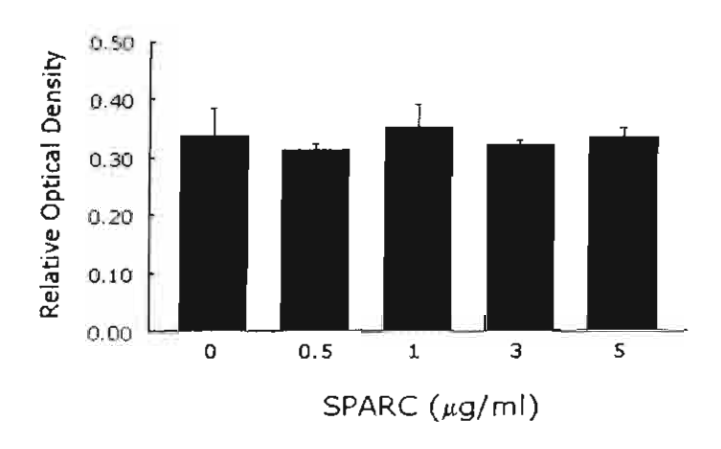


Figure 8

รูปที่ 8 กราฟแสดงผลของ SPARC ที่มีต่อการเจริญของเซลล์โพรงฟัน

เซลล์ถูกกระตุ้นด้วย SPARC เป็นเวลา 24 ชั่วโมง ในสภาวะที่ไม่มีชีรัม จากนั้นจึงวัดปริมาณ เซลล์ด้วย เทคนิค MTT ผลการทดลองแสดงว่า SPARC ที่ความเข้มข้น 1-5 ไมโครกรัม/มิลลิลิตร ไม่มีผล ต่อการเจริญของเซลล์

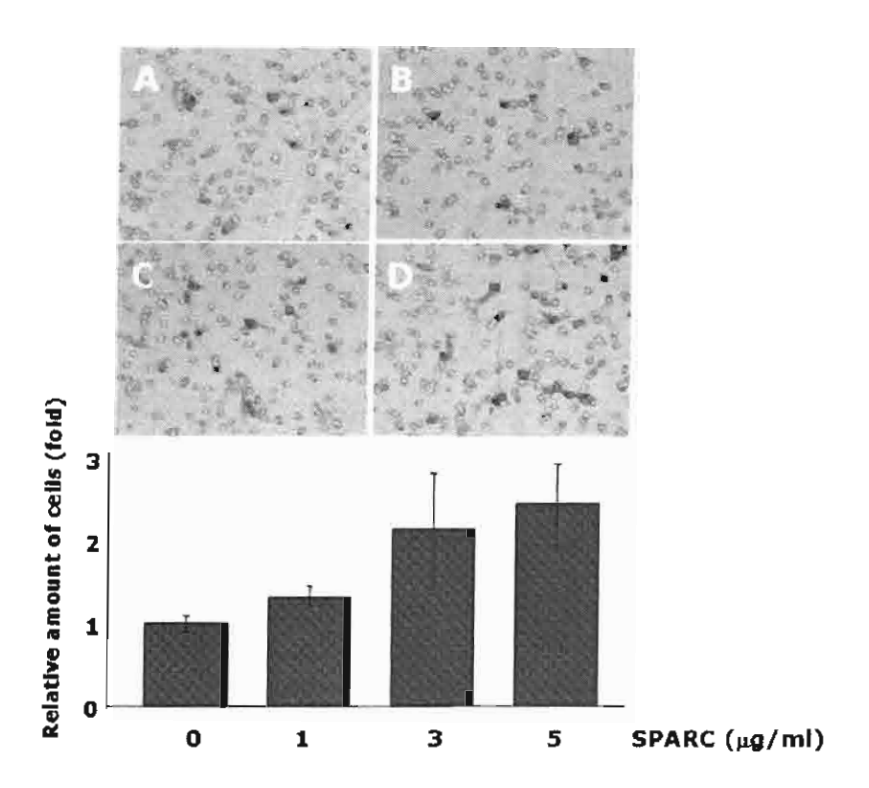


Figure 9

รูปที่ 9 SPARC กระตุ้นการเคลื่อนที่ของเซลล์โพรงฟัน

ภาพบนแสดงเซลล์บนแผ่น membeane ซึ่งเป็นเซลล์ที่เคลื่อนผ่านมาจาก upper chamber ของ chemotatic apparatus และย้อมด้วย hematoxylin จากนั้นจึงนับจำนวนเซลล์ด้วยกล้องจุลทรรศน์ และมาตัวเลขมาแสดงเป็นกราฟด้านล่าง โดยให้จำนวนเซลล์ในกลุ่มควบคุม เท่ากับ 1 ผลการทดลอง แสดงค่าเฉลี่ยจากการทดลองซ้ำสาม โดยใช้เซลล์ที่เตรียมจากผู้ป่วย 3 ราย

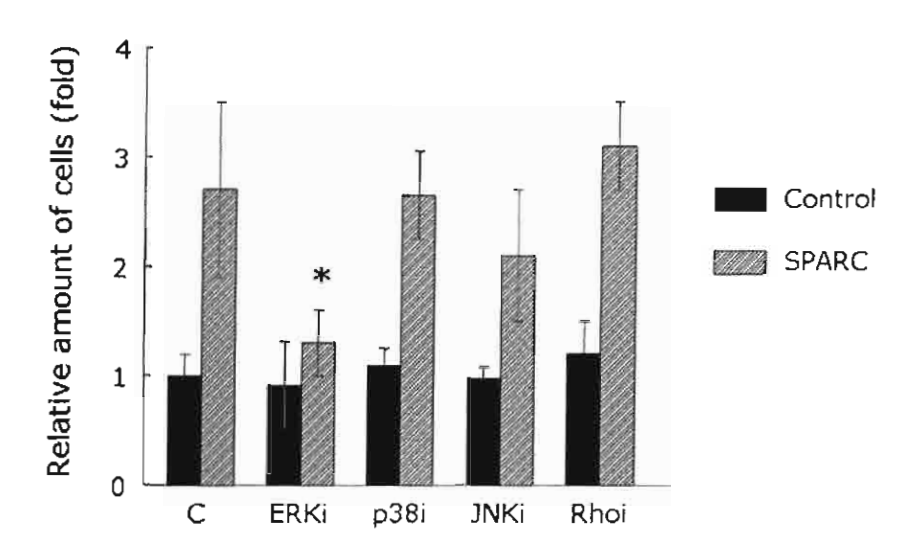


Figure 10

รูปที่ 10 การเคลื่อนที่ของเซลล์โพรงฟันถูกยับยั้งด้วย ERK inhibitor

กราฟแสดงจำนวนเซลล์ที่เคลื่อนผ่าน membrane ในสภาวะที่มี หรือ ไม่มีตัวยับยั้งของ MAPK 3 ชนิด คือ ERK inhibitor, JNK inhibitor และ p38 inhibitor รวมทั้ง Rho inhibitor ซึ่งเป็นตัวส่งผ่าน สัญญาณที่มีรายงานว่าสัมพันธ์กับการเคลื่อนที่ของเซลล์ ผลการทดลองแสดงว่า ERK inhibitor เป็นตัว ยับยั้งเพียงตัวเดียวที่สามารถยับยั้งการเคลื่อนที่ของเซลล์ได้อย่างมีนับสำคัญทางสถิติ

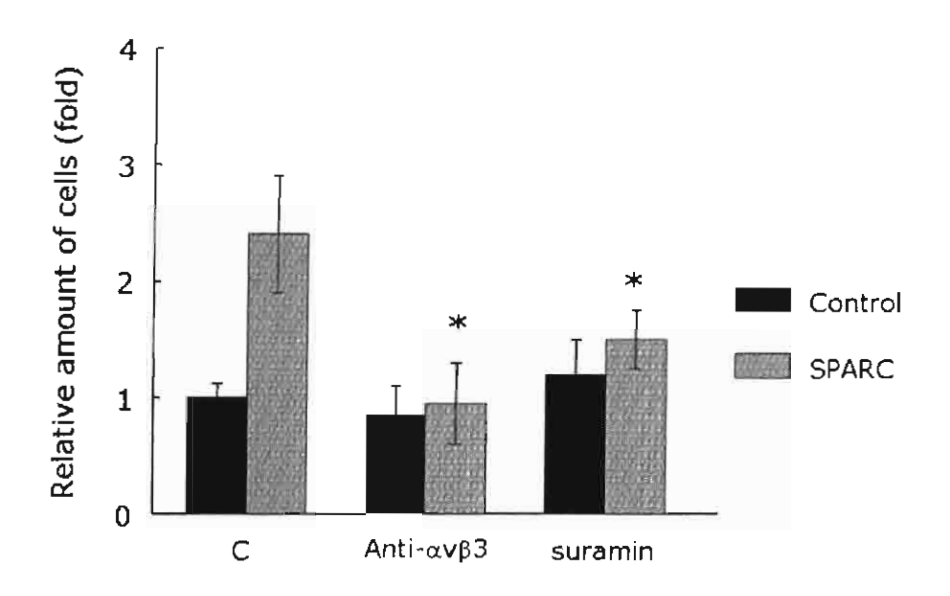


Figure 11

รูปที่ 11 การเคลื่อนที่ของเซลส์โพรงฟันถูกยับยั้งด้วย αVβ3 integrin antibody และ suramin กราฟแสดงจำนวนเซลส์ที่เคลื่อนผ่าน membrane ในสภาวะที่มี หรือ ไม่มีตัวยับยั้ง 2 ชนิด คือ neutralizing antibody ต่อ αVβ3 integrin และ suramin (G-protein coupled receptor inhibitor) ผล การทดลองแสดงว่า ตัวยับยั้งทั้งสองชนิดสามารถยับยั้งการเคลื่อนที่ของเซลส์ได้อย่างมีนัยสำคัญ

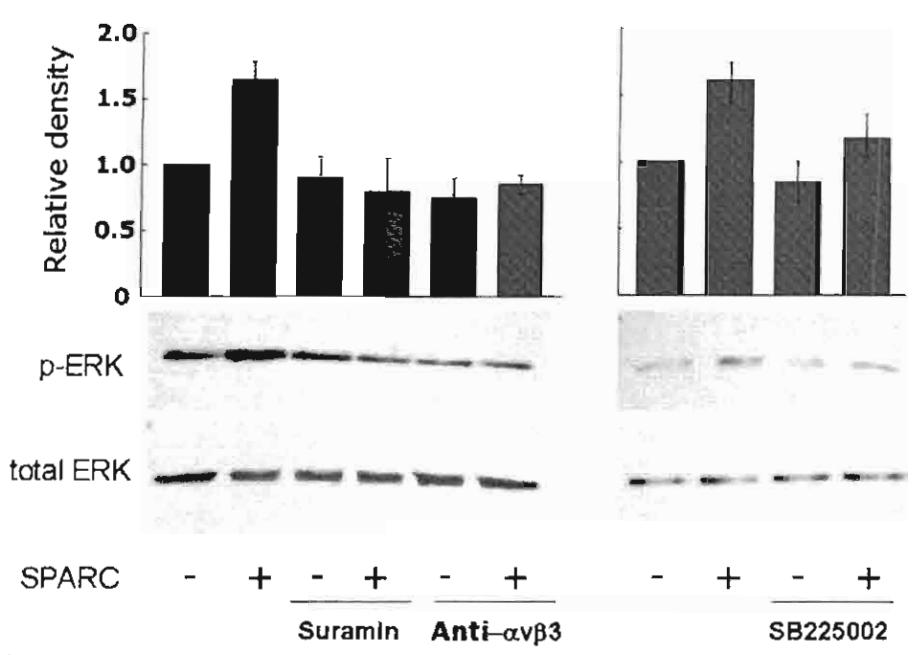
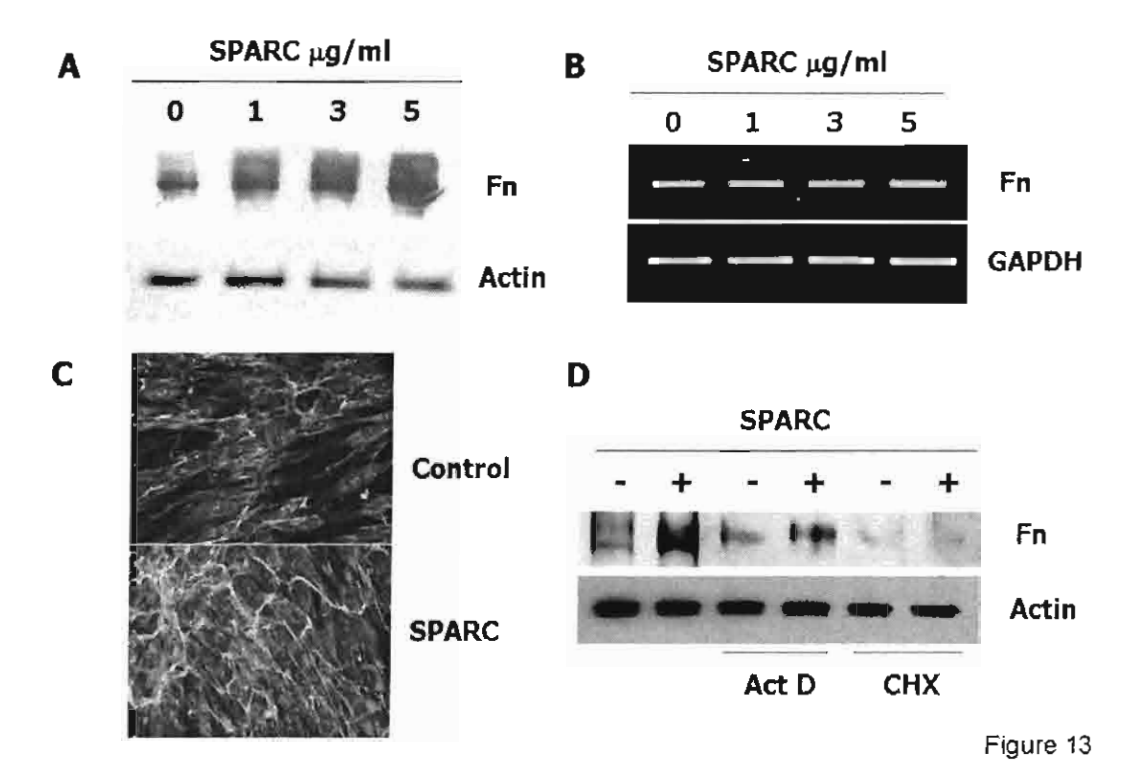


Figure 12

รูปที่ 12 SPARC กระตุ้น p-ERK และยับยั้งด้วย αVβ3 integrin antibody และ suramin

ภาพด้านล่างเป็น Western analysis แสดงว่า SPARC สามารถ activate ERK ได้ (โดยจะพบ การเพิ่มขึ้นของ phosphor-ERK เทียบกับ total ERK) โดยกราฟตอนบนเป็นค่าความเข้มที่อ่านได้จากรูป โดยอ่านเป็นค่า p-ERK ต่อ total ERK ซึ่งผลที่ได้แสดงว่า ทั้ง suramin และ neutralizing antibody ต่อ αVβ3 integrin สามารถยับยั้งผลของ SPARC ในการ activate ERK

ภาพทางขวาแสดงผลของ SB225002 ซึ่งเป็น G-protein coupled receptor inhibitor และ พบว่าสามารถยับยั้งผลของ SPARC ในการ activate ERK ได้บางส่วน



รูปที่ 13 SPARC กระตุ้นการสร้างโปรตีนไฟโบรเนคติน

เซลล์โพรงพันถูกกระตุ้นด้วย SPARC ที่ความเข้มข้น 1-5 ไมโครกรัม/มิลลิลิตร เป็นเวลา 24 ชั่วโมง จากนั้นจึงตรวจสอบการแสดงออกของไฟดบรเนคตินด้วยวิธี Western analysis (A) และ RT-PCR (B) ผลการตรวจสอบพบว่า ระดับของไฟโบรเนคตินเพิ่มสูงขึ้น แต่ระดับ mRNA ไม่เปลี่ยนแปลง ใน รูป C แสดงผลการกระตุ้นเซลล์ด้วย SPARC ความเข้มข้น 5 ไมโครกรัม/มิลลิลิตร ซึ่งพบการสะสมของไฟ โบรเนคตินในเมทริกซ์รอบเซลล์เพิ่มมากขึ้น

ในรูป D แสดงผลการกระตุ้นเซลล์ด้วย SPARC ที่ความเข้มข้น 5 ไมโครกรัม/มิลลิลิตร ในสภาวะ ที่มี หรือ ไม่มี Actinomycin D (inhibit transcription) และ cyclohexamide (inhibit translation) ผลการ ตรวจสอบพบว่า cyclohexamide สามารถยับยั้งการกระตุ้นไฟโบรเนคตินได้ แต่ในสภาวะที่มี actinomycin D ยังคงพบการเพิ่มการสร้างไฟโบรเนคติน

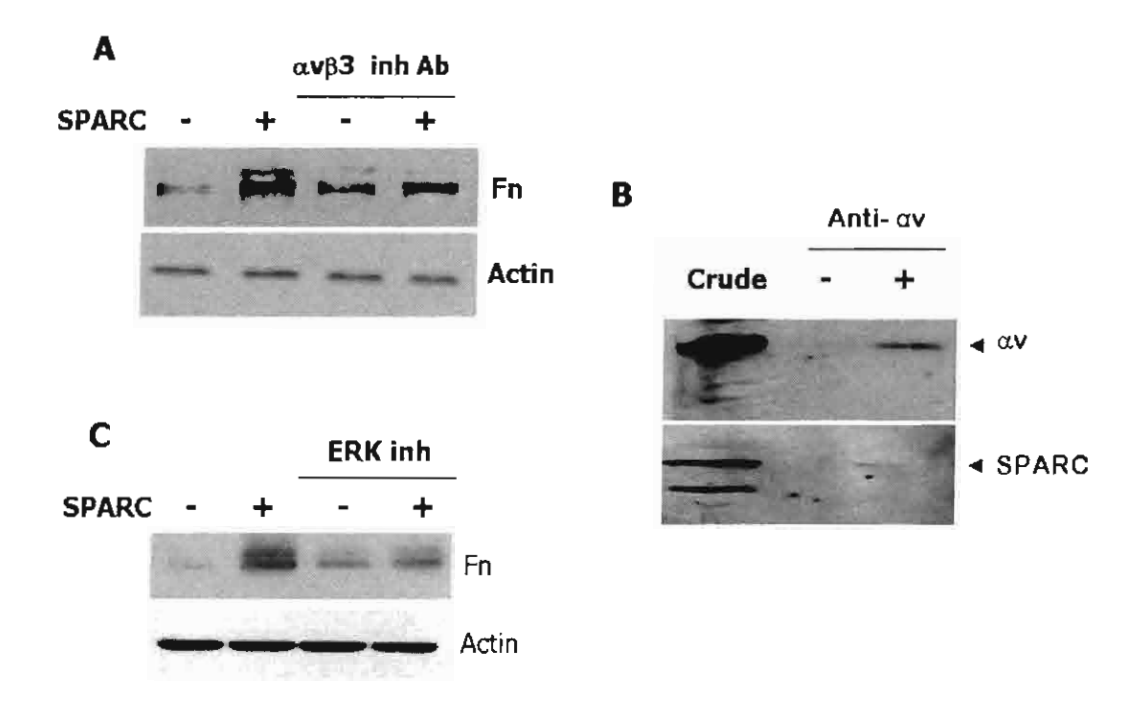


Figure 14

รูปที่ 14 SPARC กระตุ้นการสร้างไฟโบรเนคติน ผ่านทาง αVβ3 integrin และ ERK pathway

รูป (A) และ (C) แสดงผลการกระตุ้นของ SPARC ในการเพิ่มการสร้างไฟโบรเนคติน และผล การกระตุ้นนี้ ยับยั้งได้ด้วย neutralizing antibody ต่อ αVβ3 integrin (A) และ ERK inhibitor (C).

เมื่อทำ immunoprecipitation ด้วย αV integrin antibody จากนั้นจึงนำ lysate ที่ได้มา ตรวจสอบ พบว่า นอกจากจะได้ αV integrin แล้ว ยังได้ SPARC มาด้วย แสดงว่า น่าจะมี direct associated ระหว่าง SPARC กับ αV integrin

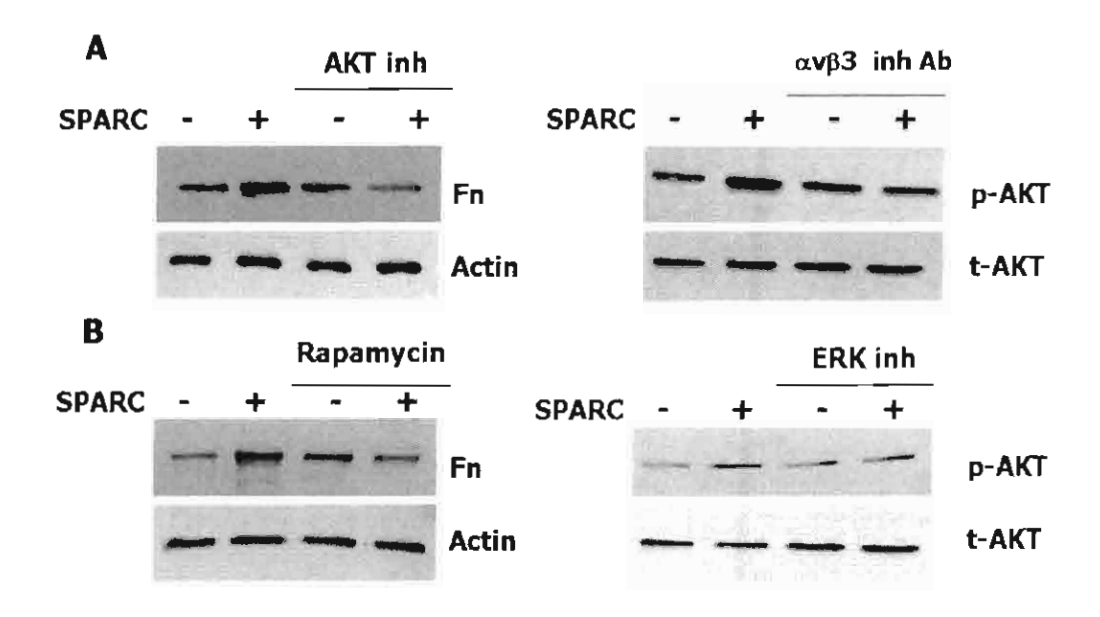


Figure 15

รูปที่ 15 SPARC กระตุ้นการทำงานของ AKT/mTOR pathway

ผลการกระตุ้นการสร้างไฟโบรเนคตินในเซลล์โพรงฟันด้วย SPARC พบว่าสามารถยับยั้งได้ด้วย
AKT inhibitor (A) และ Rapamycin (mTOR inhibitor) (C) แสดงถึงความเกี่ยวพันของ AKT/mTOR signaling pathway ในกระบวนการเหนี่ยวนำการสร้างไฟโบรเนคติน

รูป (B) และ (D) แสดงระดับของ p-AKT ที่เพิ่มสูงขึ้นเมื่อกระตุ้นด้วย SPARC สนับสนุนความ เกี่ยวพันของ AKT pathway และการกระตุ้น p-AKT นี้ ถูกยับัย้งด้วย neutralizing antibody ต่อ aVβ3 integrin และ ERK inhibitor แสดงว่าการที่ SPARC กระตุ้น AKT น่าจะเกิดผ่าน aVβ3 integrin และ ERK pathway

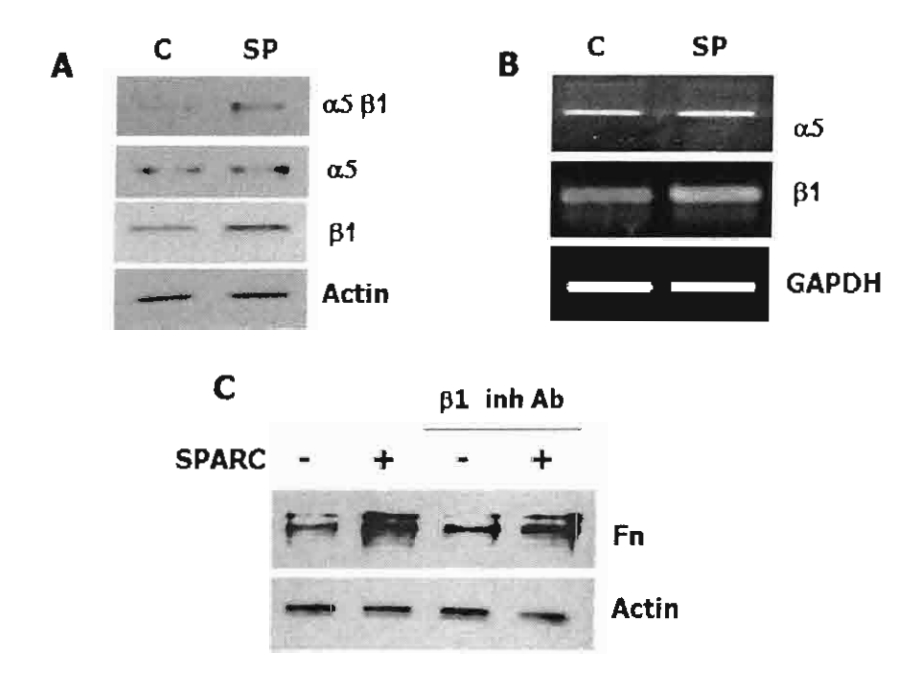


Figure 16

รูปที่ 16 SPARC กระตุ้นการสร้าง α5β1 integrin

- (A) แสดงผลของ SPARC ในการกระตุ้นโปรตีน α5β1 integrin โดยเมื่อแยกการตรวจสอบ พบว่าC กระตุ้น β1 integrin แต่ไม่มีผลต่อ α5 integrin (B) ผลการตรวจสอบระดับ mRNA ด้วยวิธี RT-PCR พบว่าระดับของ β1 integrin เพิ่มขึ้นแต่ระดับ α5 integrin ไม่มีการเปลี่ยนแบ่ลง
- (C) เมื่อทดสอบว่าการเพิ่มของ β1 integrin สัมพันธ์กับการเพิ่มของไฟโบรเนคตินหรือไม่ พบว่า การใช้ neutralizing antibody ต่อ β1 integrin ไม่มีผลต่อการเพิ่มขึ้นของไฟโบรเนคตินเมื่อกระตุ้นด้วย SPARC

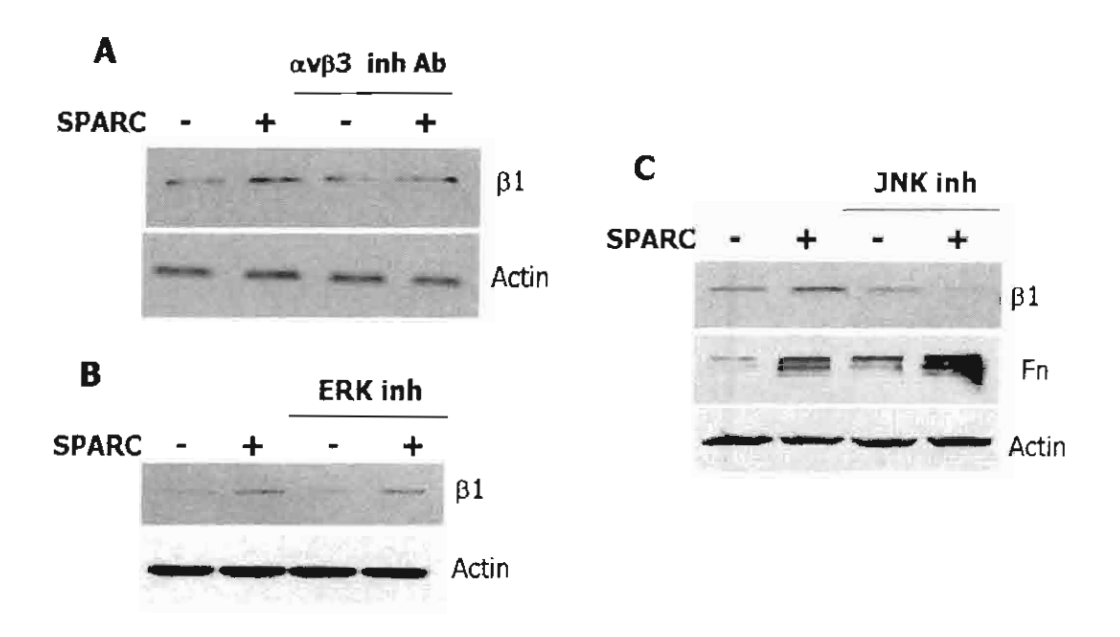


Figure 17

รูปที่ 17 SPARC กระตุ้นการสร้าง β1 integrin ผ่าน JNK

- (A) แสดงผลของ SPARC ในการกระตุ้นการสร้าง β1 integrin เมื่อตรวจสอบด้วยเทคนิค Western analysis พบว่าสัญญาณการกระตุ้นของ SPARC ผ่าน αVβ3 integrin
- (B) และ (C) เป็นการตรวจสอบว่าสัญยษณของ SPARC ในการกระตุ้น β1 integrin เกิดผ่าน ERK เช่นเดียวกับการกระตุ้นการสร้างไฟโบรเนคติน หรือไม่ ผลการทดลองพบว่า สัญญาณการกระตุ้น β1 integrin ไม่เกิดผ่าน ERK แต่เกิดผ่าน JNK โดยที่ JNK ไม่เกี่ยวข้องกับการกระตุ้นไฟโบรเนคติน

เอกสารอ้างอิง

- Basu A, Kligman LH, Samulewicz SJ, Howe CC. Impaired wound healing in mice deficient in matricellular protein SPARC (osteonectin, BM-40). BMC Cell Biol 2001;2:15.
- Begue-Kim C, Smith AJ, Ruth JV, et al., Effects of dentine proteins, transforming growth factor β1

 ' and bone morphogenic protein 2 on the differentiation of odontoblast in vitro. Int J Dev Biol

 1992;36:491-503.
- Bérryhill BL, Kane B, Stramer BM, Fini ME, Hassell JR. Increased SPARC accumulation during comeal repair. Exp Eye Res 2003;77:85-92.
- Bradshaw AD, Sage EH. SPARC, a matricellular protein that functions in cellular differentiation and tissue response to injury. J Clin Invest 2001;107:1049-1054.
- Bradshaw AD, Reed MJ, Sage EH. SPARC-null mice exhibit accelerated cutaneous wound closure. J Histochem Cytochem 2002;50:1-10
- Bradshaw AD, Puolakkainen P, Dasgupta J, Davidson JM, Wight TN, Helene Sage E. SPARC-null mice display abnormalities in the dermis characterized by decreased collagen fibril diameter and reduced tensile strength. J Invest Dermatol 2003;120:949-955.
- Brekken RA, Sage EH. SPARC, a matricellular protein: at the crossroads of cell-matrix communication. Matrix Biol 2001;19:816-827.
- Byers MR, Wheeler EF, Bothwell M. Altered expression of NGF and p75 NGF-receptor mRNA by fibroblasts of injured teeth precedes sensory nerve sprouting. Growth Factors 1992;6:41-52.
- Byers MR, Schatteman GC, Bothwell M. Multiple functions for NGF receptor in developing, aging and injured rat teeth are suggested by epithelial, mesenchymal, and neural immunoreactivity. Development 1990;109:461-471.
- Cantrella G, Lempereur L, Presta M, Ribatti D, Lombardo G, Lazarovici P, Zappala G, Pafumi C, Bernardini R. Nerve growth factor-endothelial cell interaction leads to angiogenesis in vitro and in vivo. FASEB J 2002;16:1307-1309.
- Chen HC. Boyden chamber assay. Methods Mol Biol 2005;294:15-22.
- Chung WC, Kermode JC. Suramin disrupts receptor-G protein coupling by blocking association of G protein α and $\beta\gamma$ subunits. J Pharmacol Exp Ther 2005;313:191-198.
- Coffey RJ Jr, Leof EB, Shipley GD, Moses HL. Suramin inhibition of growth factor receptor binding and mitogenicity in AKR-2B cells. J Cell Physiol 1987;132:143-148.
- Delany AM, Kalajzic I, Bradshaw AD, Sage EH, Canalis E. Osteonectin-null mutation compromises osteoblast formation, maturation, and survival. Endocrinology 2003;144: 2588-2596.

- De S, Chen J, Narizhneva NV, Heston W, Brainard J, Sage EH, et al.. Molecular pathway for cancer metastasis to bone. J Biol Chem 2003;278:39044-50.
- D'Souza RN, Happonen RP, Ritter NM, Butler WT. Temporal and spatial patterns of transforming growth factor- β1 expression in developing rat molars. Arch Oral Biol 1990;35:957-965.
- Eliceiri BP, Klemke R, Strömblad S, Cheresh D. Integrin ανβ3 requirment for sustained mitogenactivated protein kinase activity during angiogenesis. J Cell Biol 1998;140: 1255-1263.
- Francki A, McClure TD, Brekken RA, Motamed K, Murri C, Wang T, et al. SPARC regulates TGFbeta1-dependent signaling in primary glomerular mesangial cells. J Cell Biochem
 2004;91:915-25.
- Huttenlocher A, Ginsberg MH, Horwitz AF. Modulation of cell migration by integrin-mediated cytoskeletal linkages and ligand-binding affinity. J Cell Biol 1996;134:1551-1562.
- Inage T, Toda Y. Gene expression of TGF-β1 and elaboration of extracellular matrix using in situ hybridization and EM radioautography during dentinogenesis. Anat Rec 1996;245:250-266.
- Itota T, Nishitani Y, Sogawa N, Sogawa C, Konishi N, Torii Y. Alteration of odontoblast osteonectin expression following dental cavity preparation. Arch Oral Biol 2001;46:829-834.
- Kim HP, Lee MS, Yu J, Park JA, Jong HS, Kim TY, Lee JW, Bang YJ. TGF-beta1 (transforming growth factor-beta1)-mediated adhesion of gastric carcinoma cells involves a decrease in Ras/ERKs (extracellular-signal-regulated kinases) cascade activity dependent on c-Src activity. Biochem J 2004;379:141-150.
- Kopp R, Pfeiffer A. Suramin alters phosphoinositide synthesis and inhibits growth factor receptor binding in HT-29 cells. Cancer Res 1990;50:6490-6496.
- Lambiase A, Manni L, Bonini S, Rama P, Micera A, Aloe L. Nerve growth factor promotes corneal healing: structural, biochemical, and molecular analyses of rat and human corneas. Invest Ophthalmol Vis Sci 2000;41:1063-1069.
- Lane TF, Sage EH. The biology of SPARC, a protein that modulates cell-matrix interactions. FASEB J 1994;8:163-173.
- Leonard CM, Fuld HM, Frenz DA, et al., Role of transforming growth factor beta in chondrogenic pattern formation in the embryonic limb: stimulation of mesenchymal condensation and fibronectin gene expression by exogenous TGF-β and evidence for endogenous TGF-β like activity. Dev Biol 1991;145:99-109.
- Lesot H, Osman M, Ruch JV. Immunofluorescent localization of collagens, fibronectin, and laminin during terminal differentiation of odontoblasts. Dev Biol 1981;82:371-81.

- Lesot H, Smith AJ, Tziafas D, Bègue-Kirn C, Cassidy N, Ruch JV. Biological active molecules and dental tissue repair: a comparative review of reactionary and reparative dentinogenesis with the induction of odontoblast differentiation in vitro. Cell Mater 1994;4:199-218.
- Lindholm D, Hengerer B, Zafra F, Thoenen H. Transforming growth factor-beta 1 stimulates expression of nerve growth factor in the rat CNS. Neuroreport 1990;1:9-12.
- Lindholm D, Castrén E, Kiefer R, Zafra F, Thoenen H. Transforming growth factor -β1 in the rat brain: Increase after injury and inhibition of astrocyte proliferation. J Cell Biol 1992;117:395-400.
- Magloire H, Romeas A, Melin M, Couble ML, Bleicher F, Farges JC. Molecular regulation of odontoblast activity under dentine injury. Adv Dent Res 2001;15:46-50.
- Massague J. How cells read TGF-beta signals. Nat Rev Mol Cell Biol 2000;1:169-178.
- Massague J, Wotton D. Transcriptional control by the TGF-beta/Smad signaling system. EMBO J 2000;19:1745-1754.
- Matsuda H, Koyama H, Sato H, Sawada J, Itakura A, Tanaka A, Matsumoto M, Konno K, Ushio H, Matsuda K. Role of nerve growth factor in cutaneous wound healing: accelerating effects in normal and healing-impaired diabetic mice. J Exp Med 1998;187:297-306.
- Mitsiadis TA, Dicou E, Joffre A, Magloire H. Immunohistochemical localization of nerve growth factor (NGF) and NGF receptor (NGF-R) in the developing first molar tooth of the rat. Differentiation 1992;49:47-61.
- Palecek SP, Loftus JC, Ginsberg MH, Lauffenburger DA, Horwitz AF. Integin-ligand binding properties govern cell migration speed through cell-substratum adhesiveness. Nature 1997;385:537-540.
- Pavasant P, Yongchaitrakul T, Pattamapun K, Arksornnukit M. The synergistic effect of TGF-beta and 1,25-dihydroxyvitamin D3 on SPARC synthesis and alkaline phosphatase activity in human pulp fibroblasts. Arch Oral Biol 2003;48:717-722.
- Piva E, Tarquinio SB, Demarco FF, Silva AF, de Araujo VC. Immunohistochemical expression of fibronectin and tenascin after direct pulp capping with calcium hydroxide. Oral Surg Med Oral Pathol Oral Radiol Endod 2006;102:66-71.
- Reichert T, Storkel S, Becker K, Fisher LW. The role of osteonectin in human tooth development: an immunohistological study. Calcif Tiss Int 1992;50:468-472.
- Roberts MS, Woods AJ, Shaw PE, Norman JC. ERK1 associates with $\alpha_v \beta_3$ integrin and regulates cell spreading on vitronectin. J Biol Chem 2003;278:1975-1985.

- Rolli M, Fransvea E, Pilch J, Saven A, Felding-Habermann B. Activated integrin alphavbeta3 cooperates with metalloproteinase MMP-9 in regulating migration of metastatic breast cancer cells. Proc Natl Acad Sci USA 2003;100:9482-9487.
- Ruch JV, Lesot H, Begue CK. Odontoblast differentiation. Int J Dev Biol 1995;39:51-68.
- Salaznyk RM, Klees RF, Hughlock MK, Plopper GE. ERK signaling pathways regulate the osteogenic differentiation of human mesenchymal stem cells on collagen I and vitronectin. Cell Commun Adhes 2004;11:137-153.
- Sato O, Maeda T, Kannari K, Iwanaga T, Fujita T. Immunohistochemical demonstration of nerve growth factor receptor in human teeth. Biomed Res 1990;11:353-358.
- Shattil SJ, Kashiwagi H, Pampori N. Integrin signaling: the platelet paradigm. Blood 1998; 91:2645-2657.
- Shi Y, Massague J. Mechanisms of TGF-beta signaling from cell membrane to the nucleus. Cell 2003;113:685-700.
- Shiba H, Fujita T, Doi N, Nakamura S, Nakanishi K, Takemoto T, Hino T, Noshiro M, Kawamoto T, Kurihara H, Kato Y. Differential effects of various growth factors and cytokines on the syntheses of DNA, type I collagen, laminin, fibronectin, osteonectin/secreted protein, acidic and rich in cysteine (SPARC) and alkaline phosphatase by human pulp cell in cultutre. J Cell Physiol 1998;174:194-205.
- Shiba H, Uchida Y, Kamihagi K, Sakata M, Fujita T, Nakamura S, Takemoto T, Kato Y, Kurihara H.

 Transforming growth factor-beta1 and basic fibroblast growth factor modulate osteocalcin and osteonectin/SPARC syntheses in vitamin-D-activated pulp cells. J Dent Res 2001;80:1653-1659.
- Smith AJ, Tobias RS, Murray PE. Transdentinal stimulation of reactionary dentinogenesis in ferrets by dentine matrix components. J Dent 2001;29:341-346.
- Takano-Yamamoto T, Takemura T, Kitamura Y, Nomura S. Site-specific expression of mRNAs for osteonectin, osteocalcin, and osteopontin revealed by in situ hybridization in rat periodontal ligament during physiological tooth movement. J Histochem Cytochem 1994;42:885-896.
- Tziafas D, Papadimitriou S. Role of exogenous TGF-beta in induction of reparative dentinogenesis in vivo. Eur J Oral Sci 1998;106 Suppl 1:192-196.
- Tziafas D, Smith AJ, Lesot H. Designing new treatment strategies in vital therapy. J Dent 2000;28:77-92.

- Velling T, Risteli J, Wennerberg K, Mosher DF, Johansson S. Polymerization of type I and III collagens is dependent on fibronectin and enhanced by integrins alpha 11 beta 1 and alpha 2 beta 1. J Biol Chem 2002;277:37377-81.
- Woods A, Couchman JR. Syndecan-4 heparan sulfate proteoglycan is a selectively enriched and widespread focal adhesion component. Mol Biol Cell 1994; 5:183-192.
- Wu RX, Laser M, Han H, Varadarajulu J, Schuh K, Hallhuber M, Hu K, Ertl G, Hauck CR, Ritter O. Fibroblast migration after myocardial infarction is regulated by transient SPARC expression. J Mol Med 2006;84:241-252.
- Yan Q, Sage EH. SPARC, a matricellular glycoprotein with important biological functions. J Histochem Cytochem 1999;17:1860-1870.
- Yan Q, Clark JI, Wight TN, Sage EH. Alterations in the lens capsule contribute to cataractogenesis in SPARC-null mice. J Cell Sci 2002;115:2747-2756.

<u>ภาคผนวก 1</u>

บทความสำหรับเผยแพร่

โรคฟันผุเป็นหนึ่งในปัญหาสำคัญทางทันตสาธารณสุข ผลของการเกิดพันผุจะมีผลต่อการ เปลี่ยนแปลงของเนื้อเยื่อโพรงพัน (pulp tissue) เช่น การเหนี่ยวนำการอักเสบขึ้นภายในโพรงพัน ซึ่งเป็นผลให้ เกิดอาการเสียวพัน หรือปวดพัน ทั้งนี้เนื่องจากโครงสร้างของเนื้อพันจะมีลักษณะเป็นท่อเล็กๆ (dentinal tubule) ทอดตัวจากผิวพันไปยังโพรงประสาทพัน ดังนั้น เชื้อโรค หรือผลผลิตของเชื้อโรค จะสามารถผ่านเข้าสู่ โรงประสาทพันได้ตามท่อเหล่านี้

เซลล์ของเนื้อเยื่อโพรงพัน (dental pulp cells) หรือที่จะเรียกต่อไปว่า เซลล์โพรงพัน เป็นเซลล์ที่ทำ หน้าที่สำคัญในการรักษาสมดุลย์ของเนื้อเยื่อโพรงพัน เซลล์โพรงพันเป็นเซลล์ที่มีคุณสมบัติของความเป็นเซลล์ ต้น่กำเนิด คือมีความสามารถในการแบ่งตัว และสามารถ เปลี่ยนแปลงไปเป็นเซลล์สร้างเนื้อเยื่อแข็งได้ เซลล์ ขนิดนี้จะทำหน้าที่ทั้งในแง่การตอบสนองต่อการอักเสบ และทำหน้าที่ในการช่อมแซมเนื้อเยื่อโพรงพัน โดยการ ตอบสนองที่เด่นชัด คือ การพยายามสร้างเนื้อพันชนิดที่เรียกว่า เนื้อพันตติยภูมิ (tertiary dentin or reparative dentin) พอกพูนขึ้นที่ผนังของโพรงพันใต้ต่อรอยผุ เพื่อป้องกันอันตรายจากแบคทีเรียที่อยู่ในรอยผุของพัน โดยการปิดท่อเล็กๆภายในเนื้อพัน

การที่เซลล์โพรงพันจะทำหน้าที่สร้างเนื้อพันตติยภูมิได้ จะต้องมีการเปลี่ยนแปลงสภาพ หรือ ดิฟเฟอ เรนซิเอท (differentiate) ไปเป็นเซลล์คล้ายเซลล์สร้างเนื้อพัน (odontoblast-like cels) เพื่อทำหน้าที่ช่อมแซม เนื้อเยื่อโพรงพัน และแม้ว่าเซลล์โพรงพันจะมีศักยภาพในการเปลี่ยนแปลงสภาพ แต่ก็มีปัจจัยหลายอย่างเป็น ตัวบ่งชี้ความสำเร้จในการซ่อมแซมเนื้อเยื่อโพรงพัน ได้แก่ การติดเชื้อ โดยพบว่าถ้ามีการติดเชื้อในเนื้อเยื่อโพรง พัน ก็จะไม่สามารถเกิดการซ่อมแซมได้ รวมทั้งการมีสารกระตุ้นที่เหมาะสม ตัวอย่างเช่น growth factors ต่างๆ ที่สามารถช่วยในกระบวนการเปลี่ยนแปลงสภาพของเซลล์ เป็นต้น

โปรตีนที่อยู่รอบๆเซลล์และ growth factor เป็นสองปัจจัยสำคัญ ที่ทำหน้าที่กระตุ้นการแบ่งตัว (proliferation) การเคลื่อนที่ของเซลล์ (migration) และ การดิฟเฟอเรนซิเอทของเซลล์หลายชนิด รวมทั้งเซลล์ โพรงฟัน โดย growth factor ตัวหนึ่งที่มีรายงานว่าสัมพันธ์กับการซ่อมแซมเนื้อเยื่อโพรงฟัน คือ Transforming growth factor beta-1 (TGF-β1)

TGF-β1 เป็นโกร๊ทแฟคเตอร์ที่มีบทบาทในการกระตุ้นการซ่อมแซมและการเปลี่ยนแปลงสภาพของ เซลล์กระดูก และฟัน ภายในเนื้อฟัน เซลล์สร้างเนื้อฟันจะสร้าง TGF-β จำนวนมากฝังไว้ในเนื้อฟัน ซึ่งเมื่อฟัน ได้รับอันตราย ก็จะปล่อย TGF-β ออกมาสู่เนื้อเยื่อโพรงฟัน ซึ่งจะช่วยเหนี่ยวนำการสร้างโปรตีนที่ช่วยช่อมแซม เนื้อเยื่อ ผลการวิจัยครั้งนี้ พบว่าเซลล์โพรงฟันสามารถตอบสนองต่อ TGF-β โดยการเพิ่มการสร้างโปรตีน

อย่างน้อยสองชนิดคือ ไฟโบรเนคติน ซึ่งเกี่ยวข้องกับการเคลื่อนที่ การแบ่งตัว และการยึดเกาะของเซลล์ และ คอุลลาเจน ซึ่งเป็นโปรตีนโครงสร้างหลักของกระดูกและฟัน

นอกจากนี้ ผลงานวิจัยยังพบกลไกในระดับอณูชีววิทยาว่า TGF-β สามารถเหนี่ยวนำการหลั่ง nerve growth factor ซึ่งเป็น growth factor ที่เกี่ยวข้องกับการซ่อมแซมระบบประสาท ช่วงคงความมีชีวิตของ เนื้อเยื่อ และทำให้เนื้อเยื่อมีความไวต่อสิ่งเร้ามากขึ้น ทำให้เกิดการเสียวฟัน ซึ่งในส่วนหลังนี้เป็นกลไกช่วยใน กา่รป้องกันการใช้งานฟันในระยะที่ฟันเพิ่งได้รับอันตราย

คณะผู้วิจัยได้เคยรายงานไว้แล้วว่า TGF-β สามารถทำงานร่วมกับวิตามินดี ในการกระตุ้นการสร้าง โปรตีน Osteonectin หรือ SPARC (Secreted Protein, Acidic and Rich in Cysteine) ซึ่งเป็นโปรตีนชนิด หนึ่งที่พบได้มากในเนื้อฟันและกระดูก และพบมากบริเวณรอบเซลล์สร้างเนื้อฟัน นอกจากนี้ ยังพบว่าการ เพิ่มขึ้นของ SPARC ในฟันที่ถูกกรอฟันด้วย ดังนั้น SPARC จึงเป็นโปรตีนที่น่าสนใจที่น่าจะเกี่ยวข้องกับการ ช่อมแซมเนื้อเยื่อโพรงฟัน

ผลงานวิจัยครั้งนี้ พบว่า SPARC สามารถเหนี่ยวนำการเคลื่อนที่ของเซลล์ กระตุ้นการสร้างไฟโบรเนค ติน รวมทั้งกระตุ้นการสร้างอินทิกริน ซึ่งเป็นโปรตีนผิวเซลล์ที่เกี่ยวข้องกับการยึดเกาะของเซลล์กับโปรตีน โดยรอบ รวมทั้งค้นพบกลไกการทำงานของ SPARC ในระดับอณูชีววิทยา

ผลการศึกษาครั้งนี้ แสดงให้เห็นถึงบทบาทของ TGF-β และ SPARC ที่มีต่อเซลล์โพรงฟัน ซึ่งผล ดังกล่าวสนับสนุนว่าทั้ง TGF-β และ SPARC น่าจะมีบทบาทในการซ่อมแซมเนื้อเยื่อโพรงฟัน ความเข้าใจถึง กลไกการทำหน้าที่ของ TGF-β และ SPARC จะช่วยให้เราเข้าใจกระบวนการซ่อมแซม รวมทั้งสามารถนำไป ประยุกต์เพื่อพัฒนายา หรือวิธีการให้การรักษาทางทันตกรรมให้มีประสิทธิภาพมากยิ่งขึ้น

<u>ภ่าคผนวก 2</u>

Manuscripts

- 1. Yongchaitrakul T, Pavasant P. TGF-β1 up-regulates the expression of nerve growth factor through MAPK signaling pathway in dental pulp cells. Eur J Oral Sci 2007;115:57-63.
- 2. Srisawasdi S, Pavasant P. Different roles of dexamethasone on TGF- β 1-induced fibronectin and nerve growth factor expression in dental pulp cells. J Endod 2007: $^{|}$ 33:1057-1060.
- 3. Pavasant P, Yongchaitrakul T. SPARC induces dental pulp cell migration via αvβ3 integrin and ERK Oral Dis 2007 Accepted doi:10.1111/j.1601-0825.2007.01383.x

European Journal of Oral Sciences

Transforming growth factor- β 1 up-regulates the expression of nerve growth factor through mitogen-activated protein kinase signaling pathways in dental pulp cells

Yongchaitrakul T, Pavasant P. Transforming growth factor-β1 up-regulates the expression of nerve growth factor through mitogen-activated protein kinase signaling pathways in dental pulp cells. Eur J Oral Sci 2007; 115: 57–63. © 2007 The Authors. Journal compilation © 2007 Eur J Oral Sci

Transforming growth factor- β 1 (TGF- β 1) and nerve growth factor (NGF) have been detected in pulp tissues after injury and are implicated in the differentiation of odontoblast-like cells and in pulp tissue repair. We examined TGF-\$\beta\$1-mediated regulation of NGF and investigated its signaling pathways in human dental pulp cells. Analyses by reverse transcription-polymerase chain reaction (RT-PCR) and enzymelinked immunosorbent assay (ELISA) revealed that TGF-\$1 (I ng ml-1) induced NGF mRNA and protein expression through the phosphorylation of p38 mitogenactivated protein kinase (MAPK) and c-Jun N-terminal kinase (JNK). Blockade of the p38 MAPK and JNK pathways with the respective upstream inhibitors (SB203580 and SP600125) abolished the TGF-β1-mediated induction of NGF. In addition, SB225002, a G-protein-coupled receptor antagonist, and staurosporine, a serine-threonine kinase inhibitor, partially inhibited TGF-\$1-mediated induction of NGF. Phospho-p38 MAPK was suppressed by SB225002, whereas phospho-JNK was inhibited by staurosporine. We conclude that TGF-β1 up-regulates NGF in human dental pulp cells. This suggests that TGF-β1 plays a role in NGF regulation during pulp tissue repair. The signal of TGF-β1 involves the activation of MAPK, especially p38 and JNK. We suggest that crosstalk between TGF- β 1 and G-protein-coupled receptor signaling also participates in the inductive mechanism.

Tussanee Yongchaitrakul, Prasit Pavasant

Department of Anatomy, Faculty of Dentistry, Chulatongkom University, Bangkok, Thailand

Prasit Pavasant, Department of Anatomy, Faculty of Dentistry, Chulalongkom University, Henri-Dunant Road, Pathumwan, Bangkok 10330, Thailand

Tefefax: +66-2-2188870 E-mail: prasit215@gmail.com

Key words: dental pulp cells; MAPK; NGF; TGF- β 1

Accepted for publication October 2006

Tooth injury can induce reactionary or reparative dentin formation. It has been shown that dental pulp cells, under appropriate conditions, may differentiate into odontoblast-like cells and deposit mineralized tissue (1-3). Several growth factors, such as transforming growth factor- β 1 (TGF- β 1) and nerve growth factor (NGF), have been implicated in the differentiation of odontoblast-like cells and in pulp tissue repair (4-6).

TGF- β 1 is a multifunctional cytokine that is significant in the metabolism of several tissues, including dental pulp. TGF- β 1 was shown to be involved in the differentiation of odontoblasts during odontogenesis (2). During early tooth development, TGF- β 1 is believed to be secreted by epithelial cells to induce mesenchymal differentiation. In mature teeth, it is synthesized by odontoblasts and is subsequently trapped in the dentin matrix (7, 8). Upon dentinal and odontoblastic damage, TGF- β 1 is released during tissue demineralization and acts as a stimulating factor for odontoblast-like cell dif-

ferentiation and matrix synthesis (9). Previous studies showed that TGF- β -binding sites were strongly expressed on odontoblasts and pulp cells when TGF- β 1 was present, and up-regulation of reactionary dentin was observed (10). This suggests that the up-regulation of TGF- β 1 is essential for pulp tissue repair.

NGF belongs to the neurotrophin family of proteins, whose activities promote the development, survival, maintenance, and repair of nervous tissues (11). NGF has been detected during tooth development in rats (12, 13) and was shown to be an essential factor in the formation of pulpal sensory innervation (14). Furthermore, the level of NGF is increased in dental pulp tissue after tooth injury (15). Near the site of injury, sensory nerve ending sprouting is preceded by an up-regulation of NGF expression in pulp cells. In addition, NGF is active in the process of tissue repair; it was shown to induce healing of corneal epithelium (16) and to accelerate angiogenesis and nerve formation during cutaneous wound

healing (17, 18). Therefore, an increase of NGF in dental pulp tissue after injury has been generally considered to support nerve survival, induce nerve sprouting, and to provide the important conditions for cell survival, angiogenesis and repair (19, 20).

Although the levels of $TGF-\beta 1$ and NGF are found to increase in the pulp tissue after injury, there is no information concerning the influence of $TGF-\beta 1$ on the up-regulation of NGF, or vice versa, in dental pulp cells. The only direct evidence, albeit in a different type of tissue, was demonstrated by LINDHOLM et al. (21, 22), who showed that $TGF-\beta 1$ supported survival of rat glial cells by inducing NGF secretion. However, the mechanism for NGF induction has not been elucidated. The aim of this work was therefore to examine the influence of $TGF-\beta 1$ on NGF expression and to investigate the signaling pathways involved.

Material and methods

Cell culture

Human dental pulp (HDP) cells were obtained from cariesfree lower third molars, extracted for orthodontic reasons, after obtaining the patients' informed consent. The protocol was approved by the Ethics Committee of the Faculty of Dentistry at Chulalongkorn University. The teeth were washed once with 70% ethanol and split longitudinally, using a diamond disk, under water-cooling. The pulp tissues were gently removed by forceps, cut into pieces, and placed in 35 mm culture dishes (Corning, New York, NY, USA). The explants were cultured in Dulbecco's modified Eagle's medium (DMEM) supplemented with 10% (v/v) fetal bovine serum (FBS), 2 mM L-glutamine, 100 IU ml⁻¹ of penicillin G, 100 IU ml⁻¹ of streptomycin and 0.25 µg ml⁻¹ of amphotericin B, and incubated in an atmosphere of 5% CO₂ at 37°C. Each preparation was prepared from one molar. Media and all supplements were from Gibco BRL (Carlsbad, CA, USA). The cells from passage 3 of three different preparations were used in the experiments.

Treatment of HDP cells

Cells were seeded in six-well plates, at a density of 25,000 cells per cm², and grown to subconfluence. After deprivation of serum for 16 h, the cells were stimulated with recombinant human TGF- β 1 (Calbiochem, EMD Biosciences, La Jolla, CA, USA). To examine the effect of TGF- β 1 on NGF mRNA expression and protein secretion, cells were treated with 0, 0.1, 0.5, or 1 ng ml⁻¹ of TGF- β 1 for 24 h in serum-free medium. The RNA was extracted and the medium collected for analysis. The effective dose was selected and used for the rest of the experiments. Cells were also treated with TGF- β 1 for different time periods (4, 8 and 24 h) to determine the appropriate duration of treatment.

Inhibition

The inhibitors used were SB203580 [p38 mitogen-activated protein kinase (MAPK) inhibitor], SP600125 [c-Jun N-terminal kinase (JNK) inhibitor], extracellular signal-regulated kinase (ERK) activation inhibitor peptide II, SB225002 (a G-protein-coupled receptor inhibitor), and staurosporine (a serine/threonine kinase inhibitor). All inhibitors were

from Calbiochem, EMD Biosciences. Cells were treated with each type of inhibitor for 1 h prior to the addition of 1 ng ml⁻¹ of TGF- β 1. RNA extraction and collection of medium were performed for reverse transcription-polymerase chain reaction (RT-PCR) and enzyme-linked immunosorbent assay (ELISA) analyses, respectively. To examine the signaling molecules affected by TGF- β 1, another set of cultures was treated with 1 ng ml⁻¹ of TGF- β 1 for 30 min and the cell protein extracts were collected for Western blot analysis to detect active/phosphorylated and total MAPK.

RT-PCR

Cells were treated with TGF-\$\beta\$1, as described above. Total cellular RNA was extracted using Tri reagent (Molecular Research Center, Cincinnati, OH, USA), according to the manufacturer's instructions. One microgram of each RNA sample was converted to cDNA by avian myeloblastosis virus (AMV) reverse transcriptase (Promega, Madison, WI, USA) for 1.5 h at 42°C. Subsequently, PCR amplification was performed. The primers were prepared following the reported sequences from GenBank. The oligonucleotide sequences of the primers used are: NGF forward 5'-A-TACAGGCGCAACCACACTCAG-3' and NGF reverse 5'-GTCCACAGTAATGTTGCGGGTC-3'; and glyceral-dehyde-3-phosphate dehydrogenase (GAPDH) forward 5'-TGAAGGTCGGAGTCAACGGAT-3' and GAPDH reverse 5'-TCACACCCATGACGAACATGG-3'.

PCR amplification was performed using Taq polymerase (Qiagen, Hilden, Germany) in a reaction volume of 25 μ l containing 25 pmol of primers and 1 μ l of RT product. The amplification profile was one cycle at 94°C for 1 min, 26 cycles at 94°C for 1 min, hybridization at 60°C for 1 min, and extension at 72°C for 2 min for NGF (22 cycles for GAPDH), followed by one extension cycle of 10 min at 72°C. The PCR was performed in the DNA thermal cycler (Biometra, Göttingen, Germany). The amplified DNA was then electrophoresed on a 2% agarose gel and visualized by ethidium bromide fluorostaining. All bands were scanned and analyzed using SCION image-analysis software.

ELISA

Measurement of NGF from the media was performed using NGF E_{max} ImmunoAssay Systems (Promega), according to the manufacturer's instructions. All experiments were performed in triplicate.

Western blot analysis

Cells were rinsed with ice-cold phosphate-buffered saline (PBS), and total cell protein extracts were prepared on ice using modified radioimmunoprecipitation (RIPA) buffer containing phosphatase inhibitors (1 mM sodium vanadate, 50 mM NaF). Protein concentrations were measured using a BCATM protein assay kit (Pierce, Rockford, IL, USA). Equal amounts of protein from each sample were boiled and subjected to electrophoresis, under reducing conditions, on a 12% polyacrylamide gel, along with prestained highmolecular-weight standards (Bio-Rad, Hercules, CA, USA). The proteins were transferred to nitrocellulose (Pierce), using a trans-blot cell (Gibco BRL), at 15 V for 90 min. The nitrocellulose was incubated in 5% non-fat milk (Difco, Sparks, MD, USA) for 1 h and then stained with primary antibody overnight at 4°C and with biotinylated secondary antibody followed by peroxidase-labeled streptavidin

(Zymed, South San Francisco, CA, USA). Finally, the nitrocellulose was coated with chemiluminescent reagent (Pierce) and the signal captured with CL-XPosture (Pierce). SCION image-analysis software was used to analyze the density of bands.

Primary antibodies, raised against the following proteins, were used: phospho-p38 MAPK (1:1,000), phospho-JNK (1:1,500), total JNK (1:2,500), phospho-ERK1/2 (1:1,000), total ERK1/2 (1:1,000): (R & D Systems, Minneapolis, MN, USA), and total p38 MAPK (1:200) (Santa Cruz Biotechnology, Santa Cruz, CA, USA). The numbers in parentheses are the dilution ratios of each antibody used in the experiments.

Statistical analysis

All data were analyzed using one-way analysis of variance (ANOVA). Scheffe's test was used for posthoc analysis (P < 0.05).

Results

The results presented in Fig. 1 show that TGF- β 1 increased NGF expression, as determined by RT-PCR

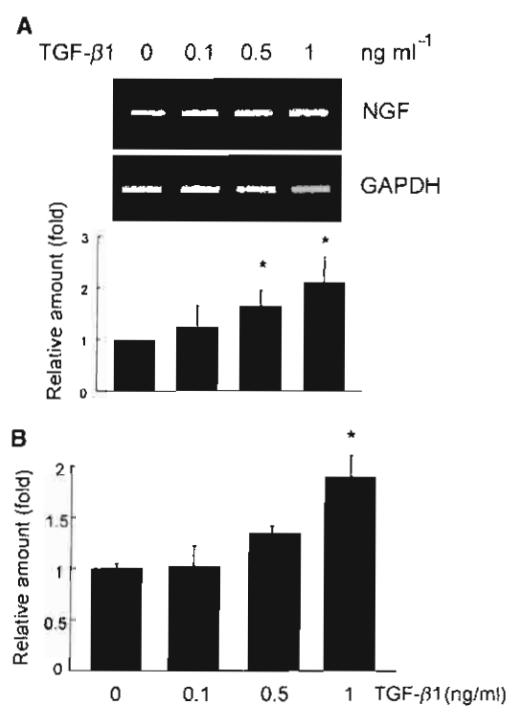


Fig. 1. Effect of transforming growth factor- β 1 (TGF- β 1) on nerve growth factor (NGF) mRNA expression (A) and protein secretion (B) in human dental pulp (HDP) cells. Cells were treated with 0, 0.1, 0.5 or 1 ng ml⁻¹ of TGF- β 1 for 24 h in serum-free culture conditions. (A) The polymerase chain reaction (PCR) products revealed the up-regulation of NGF in a dose-dependent manner. The average density \pm standard deviation (SD) of the PCR product from three gels is shown in the bar chart. (B) The level of NGF protein, assayed by enzyme-linked immunosorbent assay (ELISA), increased in a pattern similar to that of NGF mRNA. The results are expressed as mean \pm SD from three different experiments. *P < 0.05 compared with the non-treated condition. GAPDH, glyceraldehyde-3-phosphate dehydrogenase.

(Fig. 1A) and ELISA (Fig. 1B). In this experiment, HDP cells were stimulated with 0, 0.1, 0.5 or 1 ng ml⁻¹ of TGF- β 1 for 24 h. Statistical analysis showed that NGF protein secretion significantly increased at 1 ng ml⁻¹ of TGF- β 1 (Fig. 1B), and this concentration was selected for subsequent experiments. In the time-course experiment, an increase in NGF mRNA expression could be detected as early as 4 h after TGF- β 1 treatment (Fig. 2A). However, a significant increase of protein secretion was observed at 8 h after stimulation (Fig. 2B).

To address a possible involvement of MAPK pathways, specific inhibitors for p38 MAPK, JNK, and ERK1/2 were used to inhibit the stimulatory effect of TGF- β 1. We found that p38 inhibitor (2.6 μ M) and JNK inhibitor (40 nM) diminished NGF expression and secretion, whereas ERK inhibitor (2.5 μ M) did not exhibit any significant inhibitory effect (Fig. 3). This suggests that TGF- β 1 signals through p38 and JNK to stimulate NGF expression. To confirm the role of MAPK in TGF- β 1 signaling, the levels of the active/

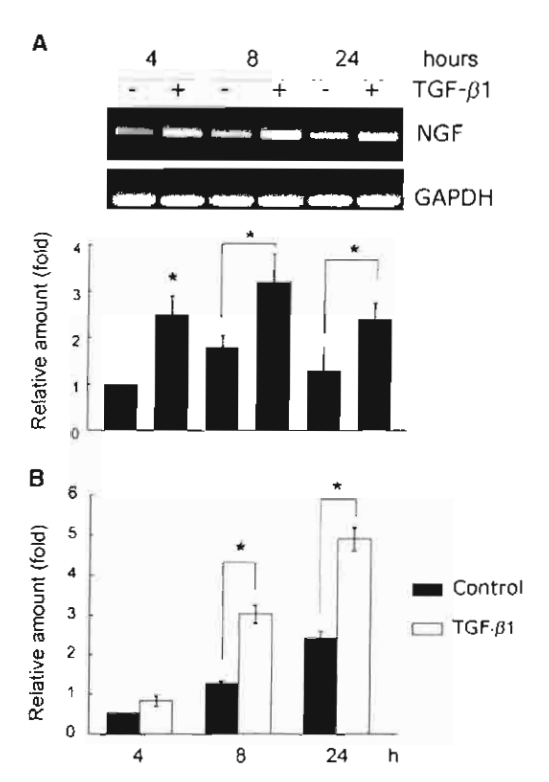


Fig. 2. Effect of transforming growth factor- β 1 (TGF- β 1) on nerve growth factor (NGF) mRNA (A) and protein (B) expression after different duration of treatment. Human dental pulp (HDP) cells were stimulated with TGF- β 1 for 4, 8 or 24 h, as described in the Material and methods. The results obtained by reverse transcription-polymerase chain reaction (RT-PCR) (A) and enzyme-linked immunosorbent assay (ELISA) (B) showed that TGF- β 1 stimulated the expression of NGF as early as 4 h, and a marked increase was evident at 8 h (\approx 2.2-2.5-fold). The bar charts of (A) and (B) show the average density \pm standard deviation (SD) of the PCR product and the results obtained from ELISA, respectively, from three different experiments. –, Without TGF- β 1 stimulation; +, with TGF- β 1 stimulation. *P < 0.05 compared with the control. GAPDH, glyceraldehyde-3-phosphate dehydrogenase.

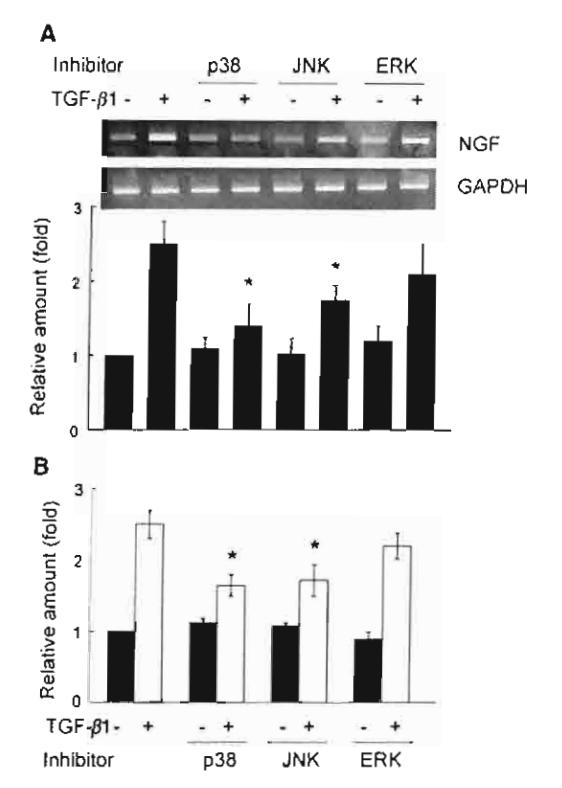


Fig. 3. The effects of upstream inhibitors of p38 mitogen-activated protein kinase (p38), c-Jun N-terminal kinase (JNK), and extracellular signal-regulated kinase (ERK) on transforming growth factor-β1 (TGF-β1)-induced expression of nerve growth factor (NGF) in human dental pulp (HDP) cells. Cells were preincubated with 2.6 µM p38 MAPK inhibitor (SB203580), 40 nM JNK inhibitor (SP600125), or 2.5 µM ERK activation inhibitor for 1 h before treatment with 1 ng ml-1 of TGF-\$1 for another 8 h. The expression of NGF mRNA (A) and protein (B) was attenuated by p38 MAPK and JNK inhibitor, but not by ERK activation inhibitor. The bar charts in (A) and (B) show the average density ± standard deviation (SD) of the polymerase chain reaction (PCR) product and enzyme-linked immunosorbent assay (ELISA) results, respectively, from three independent experiments. *P < 0.05 compared with the TGFβ1-treated (+) control. GAPDH, glyceraldehyde-3-phosphate dehydrogenase.

phosphorylated forms of p38 MAPK, JNK, and ERK1/2 were evaluated. The result, as illustrated in Fig. 4, indicated that there were increasing levels of p-p38 MAPK and p-JNK, but not of p-ERK, after treatment with TGF-β1.

The role of MAPK was further investigated by examining the signaling mediators involved in MAPK activation. Cells were pre-incubated with SB225002 (a G-protein-coupled receptor inhibitor) or staurosporine (a serine/threonine kinase inhibitor) for 1 h prior to application of TGF- β 1. The results showed that both SB225002 (22 nM) and staurosporine (4 nM) could partially inhibit the TGF- β 1-induced NGF mRNA expression, as well as protein secretion, in HDP cells (Fig. 5). Interestingly, the effect of SB225002 on active MAPK was different from that of staurosporine [i.e. SB225002 blocked activation of p38 MAPK (Fig. 6A), whereas staurosporine inhibited JNK activation (Fig. 6B)].

Discussion

Transforming growth factor- β 1 and NGF are believed to play a role in response to dental pulp injury. TGF- β 1 is involved in tissue repair and remodeling, whereas NGF has been proposed to contribute as a chemoattractant for innervation (6, 9, 15). In the present study, we demonstrated that TGF- β 1 may induce mRNA expression and protein secretion of NGF in cultured HDP cells. The results support the hypothesis that TGF- β 1 released into pulp tissue following injury can stimulate pulp cells to secrete NGF and consequently affect odontoblast survival or odontoblast-like cell differentiation.

Pulp cells could be a source of NGF detected on odontoblasts because transcripts for NGF and TrkA receptors were not detected in odontoblasts (15). In addition, p75NTR, another neurotrophin receptor expressed in polarizing odontoblasts, disappears as the cells become functional and thus is not detected in human odontoblasts in vivo (23, 24). In contrast, adjacent subodontoblastic pulp cells express both NGF and p75^{NTR} (6), suggesting that NGF produced by pulp cells might bind to odontoblasts and affect their behavior. MAGLORIE et al. (4) demonstrated that NGF application led to the presence of p75NTR on odontoblasts and cells of the subodontoblastic layer, as well as on fine nerve fibrils. The results of the present study support the idea that pulp cells could be a source of NGF and that TGF- β 1 is associated with pulp repair through the induction of NGF.

The role of NGF in soft tissue repair has also been reported. NGF is constitutively produced in human and rat corneas. After corneal injury, acceleration in healing is associated with an increase in NGF level, and treatment with topical NGF can induce healing and restore corneal sensitivity (16). In addition, topical NGF application to a cutaneous wound also accelerates the rate of wound healing in mice (18). The expression of p75^{NTR} receptor in pulp cells suggests that these pulp cells could respond to NGF. However, the influence of NGF on the behavior of pulp cells requires further investigation.

TGF- β 1 signaling is mediated by the binding of TGF- β 1 to its heteromeric receptor complexes, consisting of serine/threonine TGF-β type I and type II receptors, leading to phosphorylation of the signal transducer proteins, Smad2 and 3. On phosphorylation, these proteins consequently form complexes with Smad4 and translocate to the nucleus to regulate gene expression (25, 26). In addition, recent evidence elucidated the non-Smad pathways of TGF- β 1 signaling. Activated TGF- β receptor complex could signal through several signaling pathways, including the MAPKs, PI3K, and PP2A/ p70s6K (27). In the present study, we found that TGF- β 1 induces NGF in HDP cells through the cascades of MAPK, mainly JNK and p38 kinases. These findings concur with a recent publication reporting TGF-\$1 activation of the MAPK signaling cascades. The activation of JNK and p38 kinases after TGF-β1 stimulation has been well documented. For example, it has been shown that TGF-\$1 induces fibronectin synthesis in fibrosarcoma through activated JNK, and the induction

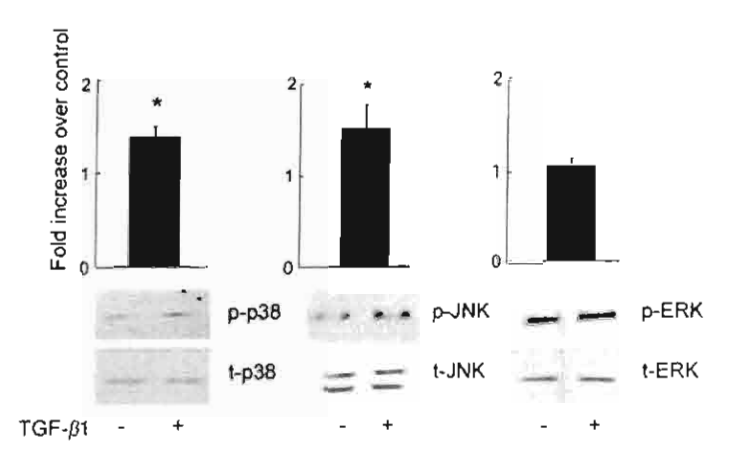


Fig. 4. Effect of transforming growth factor- β 1 (TGF- β 1) on the phosphorylation of p38 mitogen-activated protein kinase (p38), Jun Nterminal kinase (JNK), and extracellular signal-regulated kinase (ERK). Human dental pulp (HDP) cells were treated with 1 ng ml⁻¹ of TGF- β 1 in serum-free medium for 30 min. The cell protein was extracted under ice-cold conditions and collected for Western blot analysis. The activation of p38 MAPK (p-p38) and JNK (p-JNK), but not of ERK (p-ERK), was observed. The density of each band was determined by image-analysis software. The bar charts represent the fold increase of each active form normalized to its total protein. *P < 0.05 compared with the control. –, Without TGF- β 1 stimulation; +, with TGF- β 1 stimulation; p, phospho; t, total.

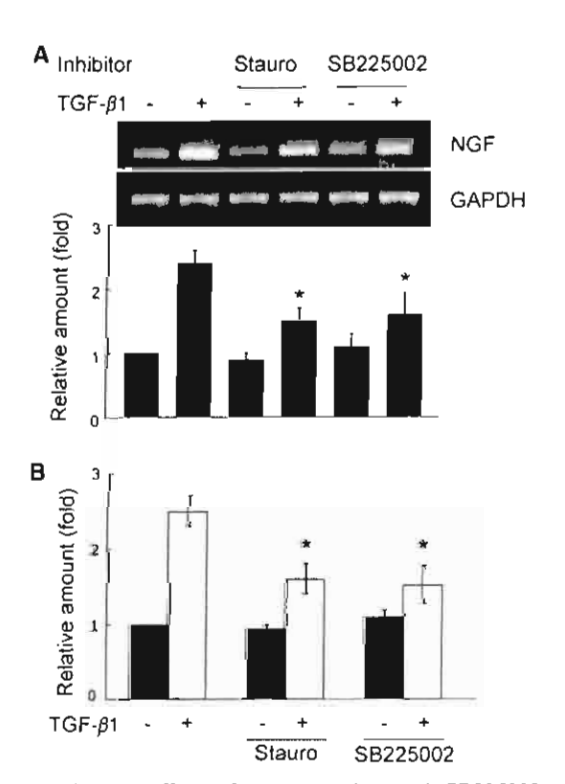


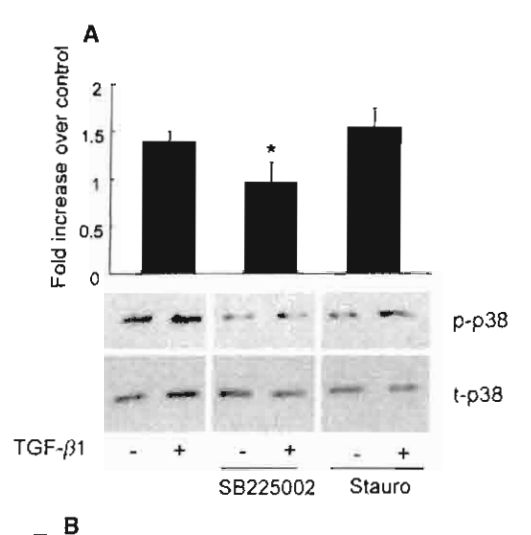
Fig. 5. Inhibitory effect of staurosporine and SB225002 on transforming growth factor- β 1 (TGF- β 1)-mediated expression of nerve growth factor (NGF) in human dental pulp (HDP) cells. Cells were pre-incubated with 22 nM SB225002 or 4 nM staurosporine for 1 h before the addition of 1 ng ml-1 of TGF- β 1. Both staurosporine and SB225002 partially inhibited the expression of TGF-β1-mediated induction of NGF (A). The concentration of NGF protein was determined by enzymelinked immunosorbent assay (ELISA) and the results are shown in (B). The charts in (A) and (B) represent the average density ± standard deviation of the polymerase chain reaction (PCR) product and enzyme-linked immunosorbent assay (ELISA), respectively, from three independent experiments. *P < 0.05compared with the TGF-\$1-treated (+) control. Stauro, staurosporine. GAPDH, glyceraldehyde-3-phosphate dehydrogenase.

of collagen synthesis in myofibroblasts was shown to be signaled through p38 kinase (28,29).

In the present study we found that TGF-β1 activates p38 MAPK and JNK, and that the effect can be partially abolished by different inhibitors. By contrast, ERK kinase is not involved in the TGF- β 1-mediated induction of NGF, because ERK inhibitor could not inhibit the induction. In addition, the partial inhibition by both p38 MAPK and JNK inhibitors suggests that both kinases independently participate in the TGF-\$1-mediated induction of NGF. This hypothesis is further supported by the evidence that the application of staurosporine, a serine/threonine kinase inhibitor, and SB225002, a G-protein-coupled receptor inhibitor, resulted in the partial blockade of NGF induction. However, staurosporine inhibited the phosphorylation and activation of JNK, whereas SB225002 affected the activation of p38 MAPK. The results suggest that both MAPKs make use of different upstream signaling mediators in NGF regulation.

The function of staurosporine is to inhibit serine/ threonine kinase. This suggests that staurosporine interferes with the signaling pathway of the $TGF-\beta 1$ receptor to Smad2/3. In addition, a reduction of p-JNK by staurosporine indicates that the $TGF-\beta/S$ mad pathway induces NGF expression through JNK. However, the partial inhibition of NGF secretion by both p38 MAPK inhibitor and staurosporine also suggests the existence of another pathway of $TGF-\beta 1$ for the induction of NGF in HDP cells. The fact that SB225002 also showed a partial inhibition of NGF secretion and inhibited p38 MAPK activation, indicates that a signal through the G-protein-coupled receptor is involved in the $TGF-\beta 1$ -mediated induction of NGF, possibly through p38 MAPK.

Crosstalk of TGF- β 1 signaling with other pathways has been reported. We have previously reported the association between TGF- β 1 and 1,25(OH)₂D₃ signaling pathways on alkaline phosphatase activity and SPARC



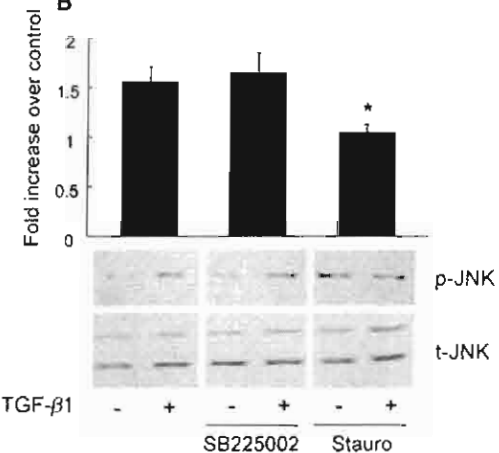


Fig. 6. (A) Effect of staurosporine and SB225002 on transforming growth factor- β 1 (TGF- β 1)-activated p38 mitogenactivated protein kinase (p38). Each inhibitor was added to the culture 1 h before treatment with 1 ng ml⁻¹ of TGF- β 1 for 30 min. Western blot analysis showed that SB225002 inhibited TGF- β 1-induced p38 MAPK activation. The data shown represent the fold increase of activation normalized to its total protein. *P < 0.05 when compared with the TGF- β 1-treated (+) control. p, phospho; t, total. (B) Effect of staurosporine and SB225002 on transforming growth factor (TGF- β 1)-activated Jun N-terminal kinase (JNK). The inhibitor was added to the culture, as described for (A). Staurosporine inhibited TGF- β 1-induced-p-JNK. The data shown represent the fold increase of activation normalized to its total protein. *P < 0.05 compared with the TGF- β 1-treated (+) control. p, phospho; Stauro, staurosporine; t, total.

synthesis in HDP cells (30). KIM et al. (31) demonstrated crosstalk between integrin and TGF- β 1 pathways in the adhesion of gastric carcinoma cells. The results of this study suggest crosstalk between TGF- β 1 receptor and G-protein-coupled receptor signaling pathways in NGF induction.

In conclusion, the results from this study clearly demonstrate that TGF- β 1 induces NGF mRNA expression and protein synthesis in HDP cells. This could be one of the mechanisms essential for pulp tissue repair and re-innervation. The signals mediated by TGF- β 1 involve the activation of MAPK, especially p38 kinase and JNK. Furthermore, crosstalk between TGF- β 1 and

G-protein-coupled receptor signaling may participate in the NGF inductive mechanism.

Acknowledgements - The authors thank Miss Kanokporn Lertsirirangson and Miss Uthaiwan Arayatrakoollikit for their excellent technical assistance. Dr Ray Sone Horijitra, Kanok porn Bhalang and Oranart Matangkasombut looked closely at, corrected and offered suggestions for improvement of the final version for English style and grammar. This work is supported by the Thai Research Fund (TRF Grant no. RSA 4780007) and the Ratchadaphisek Somphot Endowment for Research and Research Unit at Chulalongkorn University.

References

- 1. LESOT H, SMITH AJ, TZIAFAS D, BEGLE-KIRN C, CASSIDY N, RUCH JV. Biological active molecules and dental tissue repair: a comparative review of reactionary and reparative dentinogenesis with the induction of odontoblast differentiation in vitro. Cell Mater 1994; 4: 199–218.
- RUCH JV, LESOT H, BEGUE CK. Odontoblast differentiation. Int J Dev Biol 1995; 39: 51-68.
- SMITH AJ, TOBIAS RS, MURRAY PE. Transdentinal stimulation of reactionary dentinogenesis in ferrets by dentine matrix components. J Dent 2001; 29: 341-346.
- MAGLOIRE H, ROMEAS A, MELIN M, COUBLE ML, BLEICHER F, FARGES JC. Molecular regulation of odontoblast activity under dentine injury. Adv Dent Res 2001; 15: 46-50.
- TZIAFAS D, PAPADIMITRIOU S. Role of exogenous TGF-beta in induction of reparative dentinogenesis in vivo. Eur J Oral Sci 1998; 106: 192-196.
- BYERS MR, WHEELER EF, BOTHWELL M. Altered expression of NGF and p75 NGF-receptor mRNA by fibroblasts of injured teeth precedes sensory nerve sprouting. Growth Factors 1992; 6: 41-52.
- D'Souza RN, Happonen RP, RITTER NM, BUTLER WT. Temporal and spatial patterns of transforming growth factorat expression in developing rat molars. Arch Oral Biol 1990; 35: 957-965.
- INAGE T, TODA Y. Gene expression of TGF-al and elaboration of extracellular matrix using in situ hybridization and EM radioautography during dentinogenesis. Anat Rec 1996; 245: 250-266.
- 9. TZIAFAS D, SMITH AJ, LESOT H. Designing new treatment strategies in vital therapy. J Dent 2000; 28: 77-92.
- SLOAN AJ, SMITH AJ. Stimulation of the dentin-pulp complex of rat incisor teeth by transforming growth factor-beta isoforms 1-3 in vitro. Arch Oral Biol 1999; 44: 149-156.
- BARBACID M. Neurotrophic factors and their receptors. Curr Opin Cell Biol 1995; 7: 148-155.
- BYERS MR, SCHATTEMAN GC, BOTHWELL M. Multiple functions for NGF receptor in developing, aging and injured rat teeth are suggested by epithelial, mesenchymal, and neural immunoreactivity. Development 1990; 109: 461-471.
- MITSIADIS TA, DICOU E, JOFFRE A, MAGLOIRE H. Immunohistochemical localization of nerve growth factor (NGF) and NGF receptor (NGF-R) in the developing first molar tooth of the rat. Differentiation 1992; 49: 47-61.
- LILLESAAR C, ERIKSSON C, FRIED K. Rat tooth pulp cells elicit neurite growth from trigeminal neurons and express mRNAs for neurotrophic factors in vitro. Neurosci Lett 2001; 308: 161– 164
- WOODNUTT DA, WAGER-MILLER J, O'NEILL PC, BOTHWELL M, BYERS MR. Neurotrophin receptors and nerve growth factor are differentially expressed in adjacent nonneuronal cells of normal and injured tooth pulp. Cell Tissue Res 2000; 299: 225-236.
- LAMBIASE A, MANNI L, BONINI S, RAMA P, MICERA A, ALOE L. Nerve growth factor promotes corneal healing: structural,

- biochemical, and molecular analyses of rat and human corneas. Invest Ophthalmol Vis Sci 2000; 41: 1063-1069.
- CANTARELLA G, LEMPEREUR L, PRESTA M, RIBATTI D, LOMBARDO G, LAZAROVICI P, ZAPPALA G, PAFUMI C, BERNARDINI R. Nerve growth factor-endothelial cell interaction leads to angiogenesis in vitro and in vivo. FASEB J 2002; 16: 1307–1309.
- MATSUDA H, KOYAMA H, SATO H, SAWADA J, ITAKURA A, TANAKA A, MATSUMOTO M, KONNO K, USHIO H, MATSUDA K. Role of nerve growth factor in cutaneous wound healing: accelerating effects in normal and healing-impaired diabetic mice. J Exp Med 1998; 187: 297-306.
- NOSRAT IV, WIDENFALK J, OLSON L, NOSRAT CA. Dental pulp cells produce neurotrophic factors, interact with trigeminal neurons in vitro, and rescue motoneurons after spinal cord injury. Dev Biol 2001; 238: 120-132.
- NOSRAT IV, SMITH CA, MULLALLY P, OLSON L, NOSRAT CA.
 Dental pulp cells provide neurotrophic support for dopaminergic neurons and differentiate into neurons in vitro; implications for tissue engineering and repair in the nervous system. Eur J Neurosci 2004; 19: 2388-2398.
- LINDHOLM D. HENGERER B, ZAFRA F, THOENEN H. Transforming growth factor-beta 1 stimulates expression of nerve growth factor in the rat CNS. Neuroreport 1990; 1: 9-12.
- LINDHOLM D, CASTRÉN E, KIEFER R, ZAFRA F, THOENEN H.
 Transforming growth factor-β1 in the rat brain: increase after
 injury and inhibition of astrocyte proliferation. J Cell Biol 1992;
 117: 395-400.
- SATO O, MAEDA T, KANNARI K, IWANAGA T, FUJITA T. Immunohistochemical demonstration of nerve growth factor receptor in human teeth. *Biomed Res* 1990; 11: 353-358.

- MAEDA T, SATO T, IWANAGA T, TAKANO Y. Immunohistochemical localization of nerve growth factor receptor (NGF-R) in human teeth. Proc Finn Dent Soc 1992: 88: 557-562.
- MASSAGUE J. How cells read TGF-beta signals. Nat Rev Mol Cell Biol 2000; 1: 169–178.
- MASSAGUE J, WOTTON D. Transcriptional control by the TGFbeta/Smad signaling system. EMBO J 2000; 19: 1745-1754.
- Shi Y, Massague J. Mechanisms of TGF-beta signaling from cell membrane to the nucleus. Cell 2003; 113: 685-700.
- cell membrane to the nucleus. Cell 2003; 113: 685-700.

 28. HOCEVAR BA, BROWN TL, HOWE PH. TGF-beta induces fibronectin synthesis through a c-Jun N-terminal kinase-dependent, Smad4-independent pathway. EMBO J 1999; 18: 1345-1356
- RODRIGUEZ-BARBERO A, OBREO J, YUSTE L, MONTERO JC, RODRIGUEZ-PENA A, PANDIELLA A, BERNABEU C, LOPEZ-NOVOA JM. Transforming growth factor-beta1 induces collagen synthesis and accumulation via p38 mitogen-activated protein kinase (MAPK) pathway in cultured L(6)E(9) myoblasts. FEBS Lett 2002; 513: 282-288.
- PAVASANT P, YONGCHAITRAKUL T, PATTAMAPUN K, ARKSORNNUKIT M. The synergistic effect of TGF-beta and 1,25-dihydroxyvitamin D3 on SPARC synthesis and alkaline phosphatase activity in human pulp fibroblasts. Arch Oral Biol 2003; 48: 717-722.
- KIM HP, LEE MS, YU J, PARK JA, JONG HS, KIM TY, LEE JW, BANG YJ. TGF-betal (transforming growth factor-betal)mediated adhesion of gastric carcinoma cells involves a decrease in Ras/ERKs (extracellular-signal-regulated kinases) cascade activity dependent on c-Src activity. Biochem J 2004, 379: 141-150.

Different Roles of Dexamethasone on Transforming Growth Factor- β 1—induced Fibronectin and Nerve Growth Factor Expression in Dental Pulp Cells

Sirivimol Srisawasdi, DDS, MS, PbD, * and Prasit Pavasant, DDS, PbD^{t}

Abstract

During pulp injury, it has been hypothesized that transforming growth factor-B1 (TGF-B1) is released from dentin into pulp tissue and promotes pulp tissue healing. Dexamethasone is a glucocorticoid that has been used to treat pulp injury and shown to induce differentiation of hard tissue forming cells. However, the interaction between dexamethasone and TGF-B1 is still unknown. This study aimed to examine the effects of dexamethasone on human pulp cells in the presence of TGF-B1. TGF-B1 increased expression and synthesis of both fibronectin and nerve growth factor (NGF), whereas dexamethasone stimulated fibronectin synthesis but inhibited NGF expression. The application of both TGF-B1 and dexamethasone resulted in an additional effect on fibronectin; however, dexamethasone inhibited the TGF-B1-induced NGF expression. Dexamethasone promotes fibronectin synthesis and suppresses NGF secretion, suggesting that this reagent could be used clinically to reduce pain and promote dental pulp tissue healing. (J Endod 2007;33: 1057-1060)

Key Words

Dexamethasone, nerve growth factor, transforming growth factor- $\beta 1$

From the Departments of *Operative Dentistry and 'Anatomy, Chulalongkorn University, Bangkok, Thailand.

Supported by the Thailand Research Fund (grant nos MRG4880129 and RSA4780007).

Address requests for reprints to Dr Sirivimol Srisawasdi, Department of Operative Dentistry, Faculty of Dentistry, Chulalongkom University, Henri Dunant Rd., Bangkok, Thailand 10330. E-mail address: dupn1048@truemail.co.th.

0099-2399/\$0 - see front matter

Copyright \bigcirc 2007 by the American Association of Endodontists.

doi:10.1016/j.joen.2007.05.007

In the event of tooth injury and damaged primary odontoblasts, reparative dentin will be formed in response to injury. Under an optimal environment, dental pulp progenitor cells are induced to undergo differentiation and become odontoblast-like cells, which are subsequently responsible for dental pulp tissue repair (1). However, mechanisms and pathways of such differentiation are not fully understood. Elucidation of the process and mechanisms of dental pulp cell differentiation can help to find effective treatment for pulp injury by using biomolecules to signal and initiate differentiation of dental pulp progenitor cells into hard-tissue—forming cells (2, 3).

Dexamethasone is one of the steroids commonly studied, both in bone and dental pulp cells, as a potential agent for pulp treatment. Studies using bone cells showed that dexamethasone stimulated bone marrow stromal cells to differentiate into bone-forming cells via glucocorticoid responsive elements (GREs) (4-7). Dexamethasone enters cells by binding to the glucocorticoid receptor, moves into the nucleus, and subsequently binds to GREs, which is present on genes of several bone markers, such as bone sialoprotein and osteocalcin. Long-term treatment studies in human and rodents showed that dexamethasone promoted deposition of tertiary dentin (8,9). In addition, dexamethasone, when used alone or in combination with other agents, such as vitamin D or basic fibroblast growth factor, could induce differentiation of both bone (10,11) and dental pulp cells (12,13) into hard-tissue—forming cells.

The mechanism of dental pulp cell differentiation has not been fully elucidated. Recently, Ye et al (14) found that hepatocyte growth factor stimulated both proliferation and differentiation of dental pulp cells partially through the ERK/MAPK pathway. However, it has been speculated that the stages of differentiation of dental pulp cells are similar to those of bone cells (11, 12).

Transforming growth factor- $\beta 1$ (TGF- $\beta 1$) has been suggested to be released abundantly after tooth injury and has been suggested to be a crucial factor in regulating pulp response to dental caries (15). The comparison of gene expression between normal and injured pulp tissue indicated the increased expression of TGF- $\beta 1$ in pulp cells after injury; consequently, the presence of TGF- $\beta 1$ has been suggested to be essential for dental pulp tissue repair (15–18). Capping of the exposed pulp with TGF- $\beta 1$ has been shown to promote reparative dentin formation in a rat molar pulp-exposure model (19). However, interaction between TGF- $\beta 1$ and dexamethasone is still unknown.

The aim of this study was to determine the effects of dexamethasone on the expression of fibronectin and nerve growth factor (NGF) in human dental pulp cells, in the presence and absence of TGF- β 1. This information will help identify the possible role of dexamethasone in the dental pulp healing process.

Material and Methods

Dental Puin Cell Cuiture

Dental pulp cells were obtained from healthy third molars, with informed consent, extracted for orthodontic purposes. The study protocol was approved by the Ethical Committee for Use of Parts From Human Body, Faculty of Dentistry, Chulalongkorn University, Bangkok, Thailand. The dental pulp cell culture was established as previously described (20). Cells from the third and fourth passages were used, and all experiments were performed in triplicate by using cells prepared from three different donors.

Basic Research—Biology

Treatment of Pulp Cells

Cells were seeded at a density of 25,000 cells/cm² for 16 hours. After starving in serum-free medium for 24 hours, cells were treated with either 200 nmol/L dexamethasone, 1 ng/mL recombinant TGF- β 1, or a combination of both dexamethasone and TGF- β 1.

RNA Extraction and Reverse-transcription Polymerase Chain Reaction

RNA was extracted with TRI Reagent (Molecular Research Center, Cincinnati, OH) according to manufacturer's instructions. Each RNA sample was converted to complementary DNA by a reverse transcription using an avian myeloblastosis virus reverse transcriptase (Promega. Madison, WI) for 1.5 hours at 42°C. Subsequently, a polymerase chain reaction (PCR) was performed. The primers for fibronectin, NGF, and glyceraldehyde-3-phosphate dehydrogenase were prepared following the reported sequences from GenBank. The oligonucleotide sequences of the primers were as follows: fibronectin: forward, 5′ GGA TCA CTT ACG GAG AAA CAG 3′ and reverse, 5′ GGA TTG CAT GCA TTG TGT CCT 3′; NGF: forward, 5′ ATA CAG GCG GAA CCA CAC TCA G 3′ and reverse, 5′ GTC CAC AGT AAT GTT GCG GGT C 3′; and glyceraldehyde-3-phosphate dehydrogenase: forward, 5′ TGA AGG TCG GAG TCA ACG GAT 3′ and reverse, 5′ TCA CAC CCA TGA CGA ACA TGG 3′.

PCR was performed by using Taq polymerase (Qiagen, Hilden, Germany) with a PCR volume of 25 μ L. The PCR working conditions were set at a denaturing for 1 minute at 94°C, primer annealing for 1 minute at 60°C, and chain elongation for 1.45 minutes at 72°C on a DNA thermal cycler (Tpersonal; Whatman Biometra, Goettingen, Germany). The amplified DNA was then electrophoresed on a 2% agarose gel and visualized by ethidium bromide fluorostaining. An intensity of each band was determined by Scion Image analysis software (Scion Corporation, Frederick, MD).

Western Blot Analysis

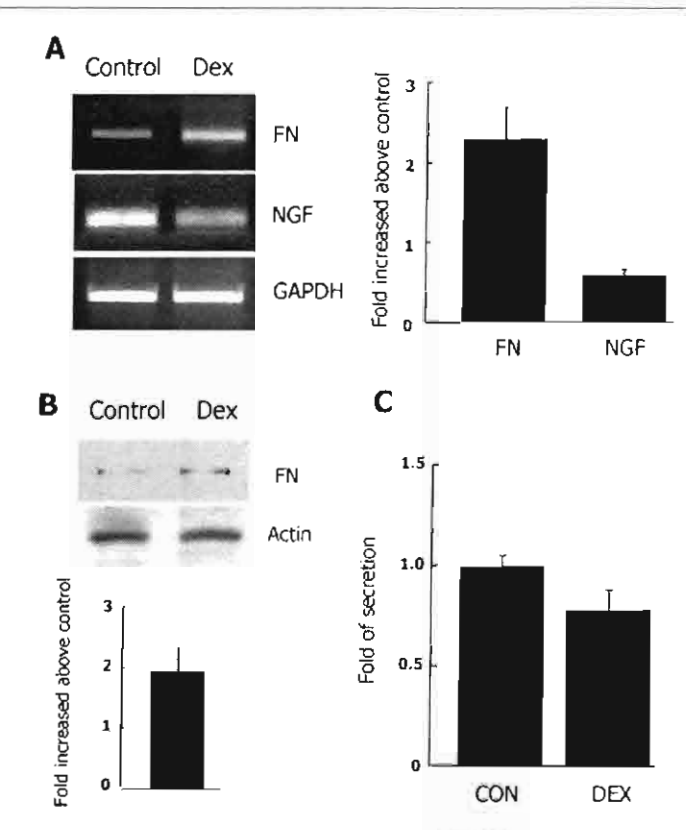
Cells were extracted by using radio-immuno precipitation buffer (150 mmol/L NaCl, 1% NP-40, 0.5% deoxycholate, 0.1% sodium dodecyl sulfate (SDS), and 50 mmol/L Tris pH 8.0) containing cocktail protease inhibitors (Sigma Chemical Co, St. Louis, MO). Equal amount of protein from each sample was subjected to SDS-polyacrylamide gel electrophoresis under a reducing condition on a 12% polyacrylamide gel. Subsequently, proteins were transferred onto a nitrocellulose membrane (Immobilon-P; Millipore Corporation, Bedford, MA). The membrane was stained overnight with primary antibody for fibronectin (Chemicon International, Temecula, CA) or \(\beta\)-actin (Chemicon International) at 4°C. After being extensively washed with PBS, the membrane was incubated with biotinylated-secondary antibody (Sigma Chemical Co) for 30 minutes at room temperature and peroxidaseconjugated streptavidin (Zymed, South San Francisco, CA) for 30 minutes, respectively. Protein bands were detected by using a commercial chemiluminescence system (Pierce, Rockford, IL). Band intensity was determined by Scion Image analysis software.

Enzyme-linked immunosoment Assay

The amount of NGF in culture medium was measured by using an enzyme-linked immunosorbent assay (ELISA) kit (Quantikine; R&D System, Minneapolis, MN) following the manufacturer's instruction. Triplicate assays per experiment were performed.

Results

The treatment of dental pulp cells with 200 nmol/L dexamethasone for 24 hours increased the expression of fibronectin messenger RNA (mRNA), detected by reverse-transcription PCR, and decreased NGF



Houre 1. Dexamethasone induced fibronectin synthesis but reduced NGF secretion in dental pulp cells. Cells were treated with 200 nmol/L of dexamethasone for 24 hours. (4) The results from reverse-transcription PCR showed the effects of dexamethasone on the expression of fibronectin and NGF. The graph on the right shows the fold difference of expression (mean \pm standard deviation [SD], control = 1) from three separate experiments. (B) The result from Western analysis of fibronectin from cell extract. The graph below revealed the mean \pm SD of band density from three experiments. (C) The expression of NGF using ELISA (mean \pm SD) from three experiments.

mRNA expression as shown in Figure 1A. The alteration in protein level was confirmed by Western analysis for fibronectin as shown in Figure 1B and ELISA for NGF as shown in Figure 1C. Dexamethasone increased fibronectin up to 2 folds above control; however, the same concentration of dexamethasone decreased NGF secretion.

The treatment of dental pulp cells with 1 ng/mL of TGF- β 1 for 24 hours increased the expression of both fibronectin and NGF mRNA as shown in Figure 2A. Western analysis revealed the up to six-fold increase in fibronectin synthesis after treatment as shown in Figure 2B. Similarly, TGF- β 1 induced approximately a two-fold increase in NGF secretion, determined by ELISA, as shown in Figure 2C.

The treatment of dental pulp cells with a combination of 200 nmol/L of dexamethasone and 1 ng/mL of TGF- β 1 increased fibronectin synthesis more than either of the reagents in isolation, as shown in Figure 34. On the contrary, 200 nmol/L dexamethasone inhibited the NGF secretion induced by TGF- β 1 as shown in Figure 3 β 8.

Discussion

Human dental pulp cells used in the present study contains mixed population of cells including dental pulp stem cells. Dental pulp stem cells are the resident cell population capable of tertiary dentinogenesis including dentin bridge formation. Our dental pulp cells express alkaline phosphatase, and, after being induced with dexamethasone, they could express dentin sialophosphoprotein, similar to that reported by Alliot-Licht et al (21). In addition, when these cells were cultured for 4

weeks in the presence of dexamethasone, they could differentiate into odontoblast-like cells, which concurs with the finding reported by Alliot-Licht et al (21) and Huang et al (22). It has been well documented that fibronectin can influence cell attachment, migration, and differentiation of several cell types (23, 24). In addition, fibronectin has been shown to participate in the process of dentinogenesis, both during development and repair (25-27). In rodent dental pulp tissue, an increasing level of fibronectin has been detected after cavity preparation (28). Increased fibronectin synthesis may help in the migration and proliferation of dental pulp cells to the site of injury. In vivo experiments indicated that fibronectin has been upregulated in pulp tissue after capping with calcium hydroxide preceding the healing process, therefore, emphasizing the importance of fibronectin in the healing process of pulp (29, 30). In this study, we found that TGF-β1 upregulated fibronectin, a protein that plays an essential role in healing process, both in mRNA and protein levels. We also found that dexamethasone was capable of promoting fibronectin synthesis, suggesting that dexamethasone alone may possibly play a role in healing process of pulp tissue. In addition, dexamethasone has been shown to induce differentiation of pulp cell into odontoblast-like cell in vitro (22), which supports the role of dexamethasone in reparative dentin formation. An additional effect of dexamethasone and TGF-\$1 in fibronectin synthesis suggested that both reagents may regulate fibronectin synthesis via different pathways. Dexamethasone, in general, regulates gene expression by GRE, whereas TGF-\(\beta\)1 uses the SMAD pathway. Detailed mechanism involved in the induction process needs further investigation.

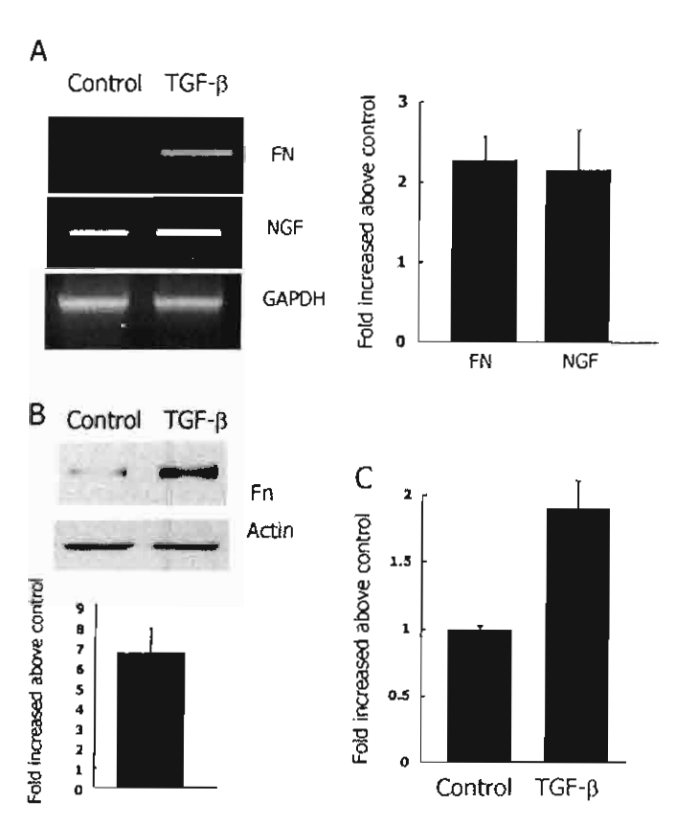


Figure 2. TGF-B1 induced fibronectin and NGF expression in dental pulp cells. Cells were treated with 1 ng/mL of TGF- β1 for 24 hours. Reverse-transcription PCR analyses of fibronecun and NGF were shown in Figure 2A, and the mean \pm SD of band density from three separate experiments was shown in graph on the right (control = 1). (B) The result from Western analysis of fibronectin from cell extract. The graph below reveals the mean \pm SD of band density from three experiments. (C) The results from ELISA as mean \pm SD from three experiments.

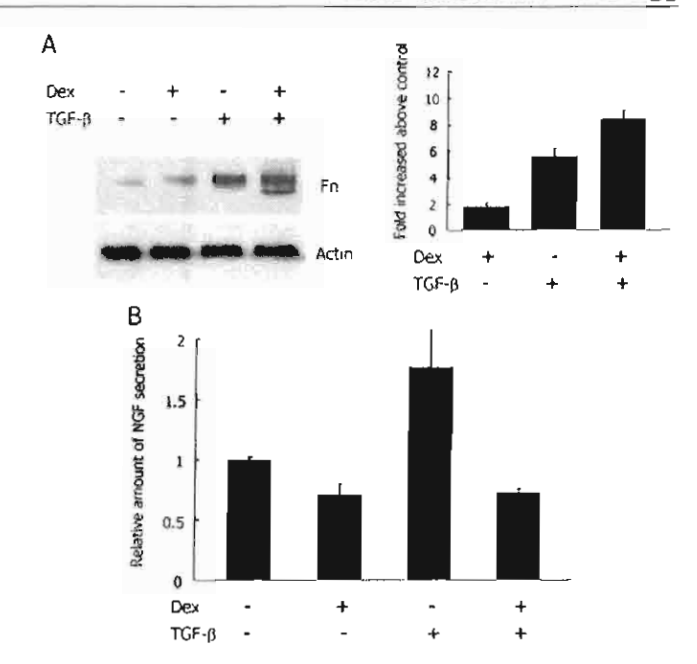


Figure 3. Combination effects of dexmethasone and TGF-\$1 on dental pulp cells. Cells were treated for 24 hours with either 200 nmol/L of dexamethasone alone or 1 ng/mL of TGF- \(\beta 1 \) alone or both reagents together. The changes in (A) protein level of fibronectin and (B) NGF were analyzed by Western analyses and ELISA, respectively.

An elevated level of NGF was also found in pulp tissues (31). NGF is a growth factor that has been shown to associate with sprouting and hypersensitivity of nerve endings in the area of injury, therefore, being responsible for pulpal pain and dentin hypersensitivity. Our recent finding showed that TGF-\$1 could stimulate the expression and secretion of NGF in a dose-dependent manner, implying that in the event of injury the abundantly present TGF-B1 may induce more secretion of NGF (32).

The finding that dexamethasone inhibited the basal level of NGF is in agreement with others that showed that dexamethasone inhibited NGF expression in PC12 cell line and lowered the NGF receptor level in rat brain (33). Moreover, it was shown that interleukin 1-induced NGF expression in rat astrocytes was inhibited by dexamethasone (34). The findings of our investigation showed that dexamethasone inhibited TGF-B1-induced NGF, suggesting that dexamethasone could be used to relieve tooth pain. However, this is the first time in which inhibitory effect of dexamethasone on NGF expression was observed in dental pulp cells.

In conclusion, dexamethasone promotes fibronectin synthesis and suppresses NGF secretion, both in the presence and absence of TGF- β 1, suggesting that dexamethasone may be an effective agent for clinical use to promote dental pulp tissue healing and reduce pulpal pain.

References

- 1. Smith AJ, Murray PE, Sloan AJ, Matthews JB, Zhao S. Trans-dentinal stimulation of tertiary dentinogenesis. Adv Dent Res 2001;15:51-4.
- Tziafas D, Smith AJ, Lesot H. Designing new treatment strategies in vital pulp therapy. 1 Dent 2000:28:77-92.
- 3. Ranly DM, Garcia-Godoy F. Current and potential pulp therapies for primary and young permanent teeth. J Dent 2000;28:153-61.
- 4. Cheng SL, Yang JW, Rifas L, Zhang SF, Avoli LV. Differentiation of human bone marrow osteogenic stromal cells in vitro: induction of the osteoblast phenotype by dexamethasone. Endocrinology 1994;134:277-86.
- 5. Owen TA, Bortell R, Shalhoub V, et al. Post-proliferative transcription of the rat osteocalcin gene is reflected by vitamin D-responsive developmental modifications in protein-DNA interactions at basal and enhancer promoter elements. Proc Natl Acad Sci U S A 1993;90:1503-7.

Basic Research—Biology

- Heinrichs AA, Bortell R, Rahman S, et al. Identification of multiple glucocorticoid receptor binding sites in the rat osteocalcin gene promoter. Biochemistry 1993;32:11436-44.
- Ogata Y, Yamauchi M, Kim RH, Li JJ, Freedman LP, Sodek J. Glucocorticoid regulation of bone sialoprotein (BSP) gene expression. Identification of a glucocorticoid responsive element in the bone sialoprotein gene promoter. Eur J Biochem 1995;230:183–92.
- Nasstrom K. Dentin formation after corticosteroid treatment. A clinical study and an experimental study on rats. Swed Dent J Suppl 1996;115:1–45.
- Symons AL, Henry AC, Chang S, Daley TJ, Harbrow DJ, Joseph BK. The effect of glucocorticosteroid treatment on dentine formation in the Lewis rat, a histological study. Growth Factors 2000;18:157-67.
- Ishida Y, Heersche JNM. Glucocorticoid-induced osteoporosis: both in trivo and in tritro concentrations of glucocorticoids higher than physiological levels attenuate osteoblast differentiation. J Bone Miner Res 1998;13:1822-6.
- Pri-Chen S, Pitaru S, Lokiec F, Savion N. Basic fibroblast growth factor enhances the growth and expression of the osteogenic phenotype of dexamethasone-treated human bone marrow-derived bone-like cells in culture. Bone 1998;23:111-7.
- Kasugai S, Shibata S, Suzuki S, Susami T, Ogura H. Characterization of a system of mineralized-tissue formation by rat dental pulp cells in culture. Arch Oral Biol 1993;38:769-77.
- Ferrari AM, Byers MR. Chronic dexamethasone treatment and its effects on sensory neuropeptides, pulpal injury reactions and reparative dentin. Brain Res 1996;723: 125–34.
- Ye L, Peng L, Tan H, Zhou X. HGF enhanced proliferation and differentiation of dental pulp cells. J Endod 2006;32:736–41.
- Melin M, Joffre-Romeas A, Farges JC, Couble ML, Magloire H, Bleicher F. Effects of TGF-β1 on dental pulp cells in cultured human tooth slices. J Dent Res 2000;79:1689–96.
- Piantelli A, Rubini C, Fioroni M. Tripodi D, Strocchi R. Transforming growth factorbeta 1 expression in normal healthy pulps and in those with irreversible pulpitis. Int Endod J 2004;37:114-9.
- McLachlan JL, Smith AJ, Sloan AJ, Cooper PR. Gene expression analysis in cells of the dentine-pulp complex in healthy and carrious teeth. Arch Oral Biol 2003;48:273

 –83.
- Wisithphrom K, Windsor LJ. The effects of tumor necrosis factor-alpha, interleukin-1 beta, interleukin-6, and transforming growth factor-beta 1 on pulp fibroblast mediated collagen degradation. J Endod 2006;32:853

 – 61.
- Hu CC, Zhang C, Qian Q, Tatum NB. Reparative dentin formation in rat molars after direct pulp capping with growth factors. J Endod 1998:24:744

 –51.

- Pavasant P, Yongchaitrakul T, Pattamapun K, Arksornnukit M. The synergistic effect
 of TGF-beta and 1, 25-dihydroxyvitamin D3 on SPARC synthesis and alkaline phosphatase activity in human pulp fibroblasts. Arch Oral Biol 2003;48:717–22.
- Alliot-Licht B, Bluteau G, Magne D, et al. Dexamethasone stimulates differentiation of odontoblast-like cells in human dental pulp cultures. Cell Tissue Res 2005;321: 391–400.
- Huang GT, Shagramanova K, Chan SW. Formation of odontoblast-like cells from cultured human dental pulp cells on dentin in vitro. J Endod 2006;32:1066-73.
- 23. Grinnell F. Fibronectin and wound healing. J Cell Biochem 1984;26:107-16.
- Moursi AM, Globus RK, Damsky CH. Interactions between integrin receptors and fibronectin are required for calvarial osteoblast differentiation in vitro. J Cell Sci 1997;110:2187–96.
- Linde A, Johansson S, Jonsson R, Jontell M. Localization of fibronectin during dentinogenesis in rat incisor. Arch Oral Biol 1982;27:1069

 –73.
- Yoshiba K, Yoshiba N, Nakamura H, Iwaku M, Ozawa H. Immunolocalization of fibronectin during reparative dentinogenesis in human teeth after pulp capping with calcium hydroxide. J Dent Res 1996;75:1590-7.
- Lesot H, Lisi S, Peterkova R, Peterka M, Mitolo V, Ruch JV. Epigenetic signals during odontoblast differentiation. Adv Dent Res 2001;15:8–13.
- Izumi T, Yamada K, Inoue H, Watanabe K, Nishigawa Y. Fibrinogen/fibrin and fibronectin in the dentin-pulp complex after cavity preparation in rat molars. Oral Surg Oral Med Oral Pathol Oral Radiol Endod 1998;86:587–91.
- Tziafas D, Panagiotakopoulos N, Kommenou A. Immunolocalization of fibronectin during the early response of dog dental pulp to demineralized dentine or calcium hydroxide-containing cement. Arch Oral Biol 1995;40:23–31.
- Piva E, Tarquinio SB, Demarco FF, Silva AF, de Araujo VC. Immunohistochemical expression of fibronectin and tenascin after direct pulp capping with calcium hydroxide. Oral Surg Oral Med Oral Pathol Oral Radiol Endod 2006;102:e66-71.
- Woodmitt DA, Wager-Miller J, O'Neill PC, Bothwell M, Byers MR. Neurotrophin receptors and nerve growth factor are differentially expressed in adjacent non-neuronal cells of normal and injured tooth pulp. Cell Tissue Res 2000;299:225–36.
- Yongchaitrakul T, Pavasant P. TGF-β1 up-regulates the expression of nerve growth factor through MAPK signaling pathway in dental pulp cells. Eur J Oral Sci 2007;115:57-63.
- Yakovlev AG. De Bernardi MA, Fabrazzo M, Brooker G, Costa E, Mocchetti I. Regulation of nerve growth factor receptor mRNA content by dexamethasone: in vitro and in vivo studies. Neurosci Lett 1990;116:216–20.
- Pshenichkin SP, Szekely AM, Wise BC. Transcriptional and posttranscriptional mechanisms involved in the interleukin-1, steroid, and protein kinase G regulation of nerve growth factor in cortical astrocytes. J Neurochem 1994;63:419–28.

http://www.blackwellmunksgaard.com

ORIGINAL ARTICLE

Secreted protein acidic, rich in cysteine induces pulp cell migration via $\alpha v \beta 3$ integrin and extracellular signal-regulated kinase

P Pavasant, T Yongchaitrakul

Department of Anatomy, Faculty of Dentistry, Chulalongkorn University, Bangkok, Thailand

ence of secreted protein acidic, rich in cysteine (SPARC) on the migration of human dental pulp (HDP) cells. METHODS: Secreted protein acidic, rich in cysteine was applied in the lower chamber of the chemotaxis apparatus and migration was determined by counting the cells that migrated through the membrane. To determine the

AIM: The aim of this study was to investigate the influ-

that migrated through the membrane. To determine the signaling pathway involved, cells were incubated with inhibitors for 30 min prior to the migration assay.

RESULTS: The results indicated that SPARC induced HDP cell migration in a dose-dependent manner via extracellular signal-regulated kinase (ERK). The migration could be inhibited both by the anti- $\alpha \nu \beta 3$ integrin antibody and by suramin, a non-selective growth factor receptor and G-protein coupled receptor antagonists. The anti- $\alpha \nu \beta 3$ integrin antibody could also inhibit ERK activation, suggesting the possible role of $\alpha \nu \beta 3$ integrin on the regulation of ERK and cell migration. Interestingly, both suramin and SB225002, another G-protein coupled receptor antagonist, suppressed ERK activation.

CONCLUSIONS: Secreted protein acidic, rich in cysteine could act as a chemotactic factor and facilitate migration, possibly through the G-protein coupled receptor, $\alpha\nu\beta$ 3 integrin and ERK. The data support that SPARC could play a crucial role in dental pulp tissue repair by inducing dental pulp cell migration.

Oral Diseases (2007) doi: 10.1111/j.1601-0825.2007.01383.x

Keywords: $\alpha v \beta 3$ integrin; dental pulp cells; extracellular signal-regulated kinase; migration; SPARC

Introduction

Secreted protein acidic, rich in cysteine (SPARC), belongs to a family of matricellular protein that involves

Correspondence: P Pavasant, Department of Anatomy, Faculty of Dentistry, Chulalongkorn University, Henri-Dunant Road, Pathumwan, Bangkok 10330, Thailand. Tel: +66 2 218 8872, Fax: +66 2 218 8870, E-mail: prasit215@gmail.com

Received 9 October 2006; revised 28 November 2006; accepted 5 December 2006

in cell-matrix interaction and regulation of cell behavior. SPARC is a non-collagenous protein found abundantly in bone and dentin. In addition, it is expressed in soft connective tissue in several areas, especially in the tissue that undergoes the process of remodeling or repair.

It has been suggested that the function of this protein is involved in the healing process of soft connective tissue. SPARC was shown to influence a variety of cellular activities in vitro, including angiogenesis, inhibition of cell proliferation, modulation of the synthesis of extracellular matrix and secretion of matrix metalloproteinase (Lane and Sage, 1994; Bradshaw and Sage, 2001). SPARC also plays a role in bone metabolism. Results obtained from SPARC-null mice indicate that SPARC participates in the maturation of osteoblasts and regulation of bone mass (Delany et al, 2003).

Secreted protein acidic, rich in cysteine has been considered to be involved in wound healing. For instance, accumulation of SPARC was found in the region of corneal repair (Berryhill et al, 2003). In dental tissue, SPARC was detected around odontoblasts in dental pulp, including predentin and dentinal tubule. In situ hybridization and immuohistological studies revealed that odontoblasts, but not pulp cells, synthesized SPARC (Reichert et al, 1992; Takano-Yamamoto et al, 1994). The increasing amount of SPARC around the odontoblastic layer after cavity preparation suggests that SPARC might play a role in the initial stage of tertiary dentine formation (Itota et al, 2001). Furthermore, SPARC could increase dental pulp cell proliferation (Shiba et al, 2001). It is possible that SPARC involves the process of repair and regeneration of dentin-pulp complex.

The function of SPARC in cell migration has been reported. SPARC promoted human prostate cancer cell migration through $\alpha v \beta 3$ and $\alpha v \beta 5$ integrin (De et al, 2003). In addition, Wu et al (2006) reported that SPARC regulated mouse embryo fibroblast migration during the healing process of myocardium and the expression of SPARC was regulated by αv integrin. These studies suggest that interaction between SPARC

and integrins is involved in cell migration during tumor growth or wound repair of certain tissues.

We hypothesize that SPARC can induce migration of dental pulp cells toward the odontoblastic layer after pulp injury, as cell migration is considered one of the initial processes in connective tissue repair. The purpose of this study was to investigate the inductive ability of SPARC in the migration of human dental pulp (HDP) cells.

Materials and methods

Cell culture

Human dental pulp cells were obtained from caries-free lower third molars extracted for orthodontic reason with the patients' informed consent. The protocol was approved by the ethical committee, Faculty of Dentistry, Chulalongkorn University. The teeth were washed once with 70% ethanol and split longitudinally with a diamond disk under water-cooling. The pulp tissues were gently removed by forceps, cut into pieces and placed in a 35-mm culture dish (Nunc, Naperville, IL, USA). The explants were cultured in Dulbecco's modified Eagle's medium supplemented with 10% (v/v) fetal bovine serum (FBS), 2 mM L-glutamine, 100 IU ml⁻¹ penicillin G, 100 IU ml⁻¹ streptomycin $0.25 \mu \text{g ml}^{-1}$ amphotericin B and incubated at 37°C in 5% CO₂. The medium and all supplements were from Gibco BRL, Carlsbad, CA, USA. After the outgrowth cells reached confluence, they were subcultured into new culture dishes. HDP cells were prepared from three teeth obtained from three donors and cells from passage three were used in the experiments.

Migration assay

The migration assay was modified from the method described for an invasion assay (Chen, 2005). Cells were removed from the culture plate using PBS-EDTA buffer and suspended in 1% serum containing medium at a density of 1×10^6 cells ml⁻¹, and 56μ l of media (~56 000 cells) was seeded into the upper chambers of a 48-well chemotaxis chamber (Neuroprobe, Gaithersburg, MD, USA). The lower chambers were filled with 1% serum containing medium with or without SPARC (from bovine bone; Calbiochem, San Diego, CA, USA). They were separated from the upper wells by an $8-\mu m$ pore-size polycarbonate membrane filter (Neuroprobe). Cells were incubated for 16 h at 37°C in 5% CO₂ humidified condition and then fixed with 4% formaldehyde before staining with hematoxylin. Cells on the upper surface of the membrane were removed with a cotton swab and those on the lower surface were counted under a light microscope.

For inhibitory experiments, cells were incubated with inhibitors or an inhibitory antibody for 30 min before being seeded in the upper chambers. The inhibitors used were 2.5 μM extracellular signal-regulated kinase (ERK) inhibitor (ERK activator inhibitor peptide 1; ste-MEK1₁₃), 35 nM p38 kinase inhibitor (SB203580), 40 nM c-JUN NH2-terminal kinase (JNK) inhibitor (SP600125), 1.2 nM Rho kinase inhibitor, 15 μ M

suramin and 22 nM G-protein coupled receptor antagonist (SB225002). All inhibitors were obtained from Calbiochem. Alphavbeta3 inhibitory (20 μg ml⁻¹; Clone LM609) was obtained from Chemicon International (Temecula, CA, USA).

Western blot analysis for phospho-ERK (p-ERK)

Human dental pulp cells were seeded at 100 000 cells ml⁻¹ onto a 12-well culture plate (Nunc) for 1 day before being treated with 5 μ g ml⁻¹ SPARC in the 1% FBS-containing medium for 30 min. For inhibitory experiments, cells were incubated with inhibitors or an inhibitory antibody for 1 h before being treated with SPARC. Cells were extracted with radioimmunoprecipitation (RIPA) buffer containing 50 mM sodium fluoride and 50 mM sodium orthovanadate, and the extracts were subjected to 10% SDS-PAGE. After electrophoresis, proteins were transferred onto a nitrocellulose membrane. The nitrocellulose was incubated in 5% non-fat milk (Difco, Sparks, MD, USA) for 1 h and stained overnight at 4°C for p-ERK1/2 (affinity-purified rabbit anti-p-ERK1/2 antibody, T202/T204) or total ERK1/2 (mouse monoclonal antibody) (R&D systems, Minneapolis, MN, USA). The nitrocellulose sheet was washed and incubated with biotinylated secondary antibodies and peroxidase labeled streptavidin (Zymed, South San Francisco, CA, USA). Finally, the nitrocellulose was coated with chemiluminescent reagent and the signal was captured with CL-XpostureTM (Pierce, Rockford, IL, USA). The band intensity was determined by Scion Image analysis software.

Statistic analysis

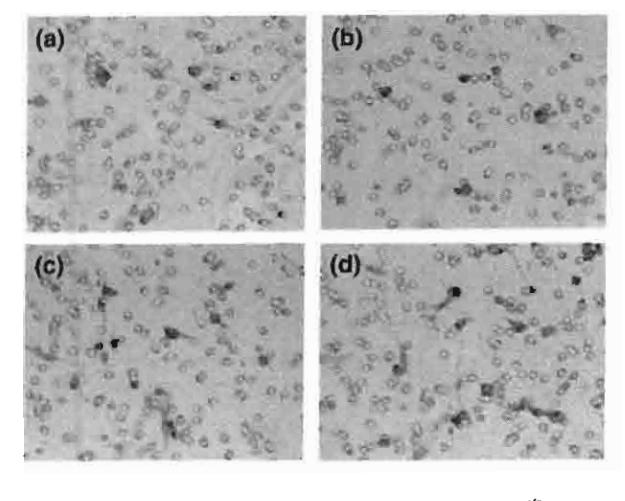
All data were analyzed using a one-way analysis of variance. Scheffe's test was used for post hoc analysis (P < 0.05).

Results

The results from Figure 1 indicated that SPARC could induce migration of HDP cells across the polycarbonate membrane. The chemotactic effect of SPARC was observed in a dose-dependent manner ranging from 1 to 5 μ g ml⁻¹. The number of cells that migrated across the membrane increased up to 2-2.5 folds above control when treated with 5 μ g ml⁻¹ of SPARC. The dosage of 5 μ g ml⁻¹ was then selected and used for the rest of the experiment.

Various inhibitors were applied to examine the possible pathways involved in the migration induced by SPARC. The result revealed that mitogen-activated protein kinase (MAPK) was involved in the mechanism of cell migration. Addition of the ERK inhibitor, but not the JNK or p38 MAPK inhibitor, could inhibit the chemotactic effect of SPARC up to 80%. However, Rho kinase had no effect on the migration induced by SPARC (Figure 2).

Interestingly, suramin, which can be both a nonselective growth factor receptor and a G-protein coupled receptor antagonist, could also inhibit the chemotactic effect of SPARC. These results suggest that SPARC



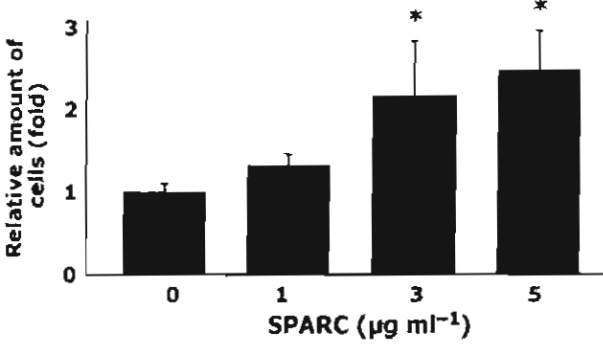


Figure 1 The figure shows the number of human dental pulp cells that migrated across the membrane in the migration assay using a 48-well chemotaxis chamber. Cells were seeded on the membrane in the upper chambers for 16 h and allowed to migrate across the membrane. Lower chambers contained medium supplied with 0, 1, 3 or 5 μ g ml⁻¹ of secreted protein acidic, rich in cysteine. The number of cells that migrated increased in a dose-dependent manner and up to 2-2.5 folds at 5 μ g ml⁻¹. The graph represents the relative number of cells from three separated experiments. Data are represented as mean \pm s.d. (*) denotes P < 0.05 when compared with non-treated condition

may signal through a certain growth factor receptor, or alternatively through the dissociation of the G-protein from the receptor. Application of an inhibitory antibody against $\alpha v \beta 3$ integrin could also diminish the effect of SPARC, as shown in Figure 3.

To investigate further whether the signal by SPARC was through the ERK pathway, we examined the activation of ERK in SPARC-treated HDP cells. Figure 4 revealed that SPARC was able to stimulate p-ERK and the effect was suppressed by the presence of suramin and the $\alpha\nu\beta3$ inhibitory antibody. SB225002 was used to confirm the involvement of the G-protein coupled receptor. We found that ERK activation was partially blocked in the presence of SB225002. The intensity of the bands normalized to total ERK was shown as a graph (Figure 4).

Discussion

The results from this study indicate that SPARC may function as a chemotactic factor for dental pulp cells. The results are in agreement with the previous report

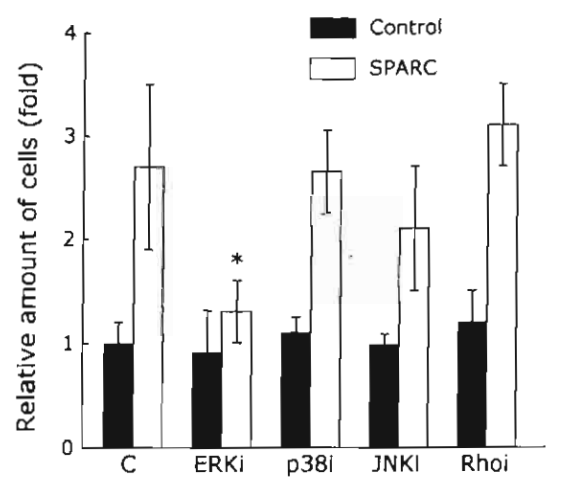


Figure 2 The graph shows the inhibitory effect of inhibitors on secreted protein acidic, rich in cysteine (SPARC)-induced cell migration. Cells were incubated with each kind of inhibitor (2.5 μ M ERKi, 35 nM p38i, 40 nM JNKi or 1.2 nM Rhoi) for 30 min before being seeded in the upper chambers. Cells were allowed to migrate towards the other side of the membrane, which was in contact with the medium containing 5 μ g ml⁻¹ SPARC in the lower chambers, for 16 h. The inhibitory effect was exhibited by the ERK inhibitor, but not other mitogen-activated protein kinase or Rho inhibitors. The graph represents the relative amount of cells from three separated experiments. Data are represented as mean \pm s.d. * P < 0.05 when compared with treated control

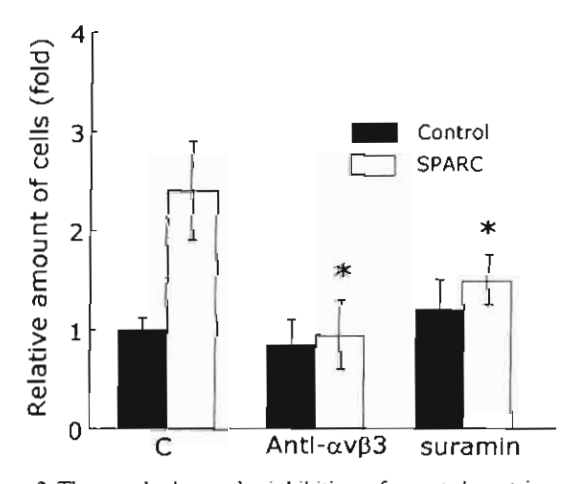


Figure 3 The graph shows the inhibition of secreted protein acidic, rich in cysteine-induced migration by suramin and the anti- $\alpha\nu\beta3$ antibody. Cells were preincubated with either suramin or the anti- $\alpha\nu\beta3$ antibody for 30 min prior to seeding. After 16 h, the migratory cells were fixed and counted. The migration could be significantly blocked by both suramin and the anti- $\alpha\nu\beta3$ antibody. The graph represents the relative number of cells from three separated experiments. Data are represented as mean \pm s.d. * P < 0.05 when compared with treated control

showing that SPARC could promote migration of prostate cancer cell line (De et al, 2003). In addition, SPARC enhanced the fibronectin-induced cell migration in mouse embryo fibroblasts (Wu et al, 2006). However, SPARC alone had no effect on cell migration in mouse fibroblasts, indicating that the chemotactic activity of SPARC on cell migration depends on certain cell type.

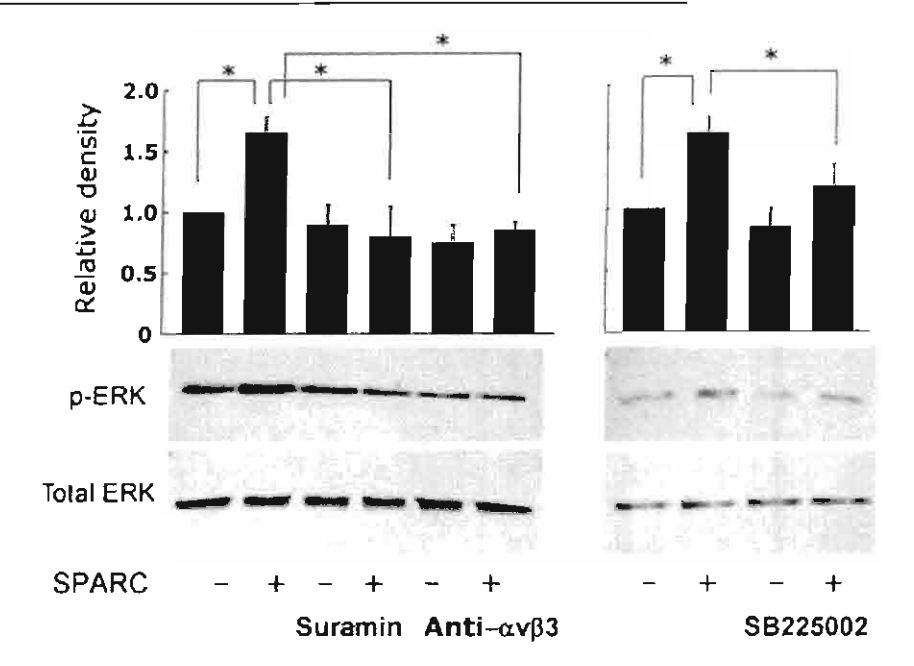


Figure 4 Western blot analysis demonstrates the effect of secreted protein acidic, rich in cysteine (SPARC) and blocking effect of suramin and the anti- $\alpha\nu\beta3$ antibody (left panel) and SB225002 (right panel) on ERK activation. Human dental pulp cells were pretreated with either suramin, the anti- $\alpha\nu\beta3$ antibody or SB225002 for 30 min before adding SPARC. SPARC significantly increased p-ERK. The effect could be suppressed by suramin and the anti- $\alpha\nu\beta3$ antibody and partially blocked by SB225002. The intensity of the bands normalized to total ERK is shown as a graph. Data are represented as mean \pm s.d. from three separated experiments. * P < 0.05

Among the molecules responsible for dental pulp injury, SPARC has been reported to increase at the odontoblastic layer (Itota et al, 2001). However, the mechanism of the up-regulation of this molecule is unclear. TGF-\beta was also found in dental pulp after injury and is believed to play a role in repair (Tziafas and Papadimitriou, 1998; Magloire et al, 2001). We and the others previously reported that TGF-β could induce the synthesis of SPARC in dental pulp cells, and possibly the increase of TGF- β was involved in upregulation of SPARC in dental pulp tissue (Shiba et al, 1998; Pavasant et al, 2003). Our results in this study demonstrate that SPARC functions by inducing migration of pulp cells, supporting the role of SPARC in the process of pulp tissue repair or regeneration. Potential roles of SPARC associated with the behavior of dental pulp cells in addition to migration are under investigation.

Dynamic integrin activation has been shown to be an essential requirement for cell migration (Huttenlocher et al, 1996; Palecek et al, 1997). Inhibitory action of an antibody against $\alpha \nu \beta 3$ integrin on cell migration supports that such integrin is required for migration of dental pulp cells. Association of $\alpha \nu \beta 3$ integrin in dental pulp cell migration is anticipated as it has been reported to regulate migration in several cell types, including the breast and ovarian cancer cells and vascular smooth muscle cells (Eliceiri et al, 1998; Hapke et al, 2003; Rolli et al, 2003).

The role of MAPK on cell migration has been reported (Huang et al, 2004). All three groups of MAPK, ERK, p38 and JNK, have been shown to participate in the migration of several cell types. However, only the ERK inhibitor could inhibit the migratory effect of SPARC in this study, suggesting that ERK is required for dental pulp cell migration.

Our results support that $\alpha v \beta 3$ integrin regulated ERK and consequently induced dental pulp cell migration. It

has been evidenced that $\alpha\nu\beta3$ integrin can regulate the activity of ERK (Eliceiri et al, 1998; Roberts et al, 2003; Salaznyk et al, 2004). The signal from $\alpha\nu\beta3$ was required to sustain the activity of FGF-induced p-ERK in endothelial cells (Eliceiri et al, 1998). The inhibitory antibody against $\alpha\nu\beta3$ could inhibit collageninduced ERK activation in human mesenchymal stem cells (Salaznyk et al, 2004). In addition, the association of ERK1 and $\alpha\nu\beta3$ integrin was required for spreading of Swiss and NIH3T3 cells on vitronectin (Roberts et al, 2003). All the studies above suggest the role of $\alpha\nu\beta3$ upstream of ERK.

Suramin, a polysulfonated naphthyurea, inhibited the migration induced by SPARC in this study. Suramin has been shown to act as a non-selective growth factor receptor antagonist. It inhibits binding of ligands to several growth factor receptors, such as platelet-derived growth factor receptor, epidermal growth factor receptor or transforming growth factor receptor (Hosang, 1985; Coffey et al, 1987; Kopp and Pfeiffer, 1990). Young et al (1998) showed that SPARC signaled through tyrosine phosphorylation in endothelial cells, suggesting that SPARC might act through receptor tyrosine kinase. Recently, Kzhyshkowska et al (2006) demonstrated that SPARC interacted with stabilin-1, a scavenger receptor expressed by macrophage, suggesting that stabilin-1 facilitated SPARC internalization and degradation. However, the specific receptor for SPARC is unclear. Our results suggest that SPARC may act through one of the growth factor receptors in which binding was blocked by suramin.

Suramin can also act as an inhibitor of G-protein-coupled receptors (Beindl et al, 1996; Huang et al, 2004). Its action is to inhibit the association of G-protein α and $\beta\gamma$ subunits and uncouple the receptor from the G-protein (Chung and Kermode, 2005). Partial inhibition of ERK activation exerted by SB225002, a selective G-protein coupled receptor antagonist,

indicates an involvement of the G-protein coupled receptor. Thus, another possibility is that SPARC acts through a G-protein coupled receptor.

Interaction or crosstalk between the G-protein coupled receptor and integrin has been reported. During the mechanism of platelet aggregation, activation of $\alpha IIb\beta 3$ integrin required the stimulation of a G-protein-coupled receptor such as thrombin receptor (Shattil et al, 1998). Crosstalk between a G-protein-coupled receptor, CXCR4 and $\beta 3$ integrin was also an essential mechanism for migration and adhesion of hematopoietic precursors cells (Nakata et al, 2006). Interaction between a G-protein-coupled receptor and $\alpha \nu \beta 3$ integrin may also participate in the migration of dental pulp cells. Further investigation is needed to clarify this mechanism.

In conclusion, the results reveal that SPARC induces dental pulp cell migration and acts as a chemotactic factor. This ability of SPARC supports the function of this molecule in dental pulp tissue repair. Our results also suggest that SPARC could act either through $\alpha v \beta 3$ integrin or a G-protein coupled receptor. Interaction between a G-protein coupled receptor and an integrin signaling pathway could consequently induce cell migration through the activation of ERK. However, further investigation is needed to clarify the hypothesis.

Acknowledgements

We are very grateful to Ms Kanokporn Lertsirirungson for excellent technical assistance. This work is supported by Thai Research Fund (TRF) Grant no # RSA 4780007 and the Ratchadaphisek Somphot Endowment for Research, and the Research Unit, Chulalongkorn University.

References

- Beindl W, Mitterauer T, Hohenegger M, IJzerman AP, Nanoff C, Freissmuth M (1996). Inhibition of receptor/G protein coupling by suramin analogues. Mol Pharmacol 50: 415-423
- Berryhill BL, Kane B, Stramer BM, Fini ME, Hassell JR (2003). Increased SPARC accumulation during corneal repair. Exp Eye Res 77: 85-92.
- Bradshaw AD, Sage EH (2001). SPARC, a matricellular protein that functions in cellular differentiation and tissue response to injury. J Clin Invest 107: 1049-1054.
- Chen HC (2005). Boyden chamber assay. Methods Mol Biol 294: 15-22.
- Chung WC, Kermode JC (2005). Suramin disrupts receptor-G protein coupling by blocking association of G protein α and βy subunits. J Pharmacol Exp Ther 313: 191-198.
- Coffey RJ Jr, Leof EB, Shipley GD, Moses HL (1987). Suramin inhibition of growth factor receptor binding and mitogenicity in AKR-2B cells. J Cell Physiol 132: 143– 148.
- De S, Chen J, Narizhneva NV et al (2003). Molecular pathway for cancer metastasis to bone. J Biol Chem 278: 39044—39050.
- Delany AM, Kalajzic I, Bradshaw AD, Sage EH, Canalis E (2003). Osteonectin-null mutation compromises osteoblast formation, maturation, and survival. *Endocrinology* 144: 2588-2596.

- Eliceiri BP, Klemke R, Strömblad S, Cheresh D (1998). Integrin ανβ3 requirement for sustained mitogen-activated protein kinase activity during angiogenesis. *J Cell Biol* 140: 1255–1263.
- Hapke S, Kessler H, Luber B et al (2003). Ovarian cancer cell proliferation and motility is induced by engagement of integrin alpha(v)beta3/vitronectin interaction. Biol Chem 384: 1073-1083.
- Hosang M (1985). Suramin binds to platelet-derived growth factor and inhibits its biological activity. J Cell Biochem 29: 265-273.
- Huang C, Jacobson K, Schaller MD (2004). MAP kinase and cell migration. J Cell Sci 117: 4619-4628.
- Huttenlocher A, Ginsberg MH, Horwitz AF (1996). Modulation of cell migration by integrin-mediated cytoskeletal linkages and ligand-binding affinity. *J Cell Biol* 134: 1551–1562.
- Itota T, Nishitani Y, Sogawa N, Sogawa C, Konishi N, Torii Y (2001). Alteration of odontoblast osteonectin expression following dental cavity preparation. Arch Oral Biol 46: 829-834.
- Kopp R, Pfeiffer A (1990). Suramin alters phosphoinositide synthesis and inhibits growth factor receptor binding in HT-29 cells. Cancer Res 50: 6490-6496.
- Kzhyshkowska J, Workman G, Cardo-Vila M et al (2006). Novel function of alternatively activated macrophages: Stabilin-1-mediated clearance of SPARC. J Immunol 176: 5825-5832.
- Lane TF, Sage EH (1994). The biology of SPARC, a protein that modulates cell-matrix interactions. FASEB J 8: 163-173
- Magloire H, Romeas A, Melin M, Couble ML, Bleicher F, Farges JC (2001). Molecular regulation of odontoblast activity under dentine injury. Adv Dent Res 15: 46– 50.
- Nakata Y, Tomkowicz B, Gewirtz AM, Ptasznik A (2006). Integrin inhibition through Lyn-dependent cross talk from CXCR4 chemokine receptor in normal human CD34⁺ marrow cells. *Blood* 107: 4234-4239.
- Palecek SP, Loftus JC, Ginsberg MH, Lauffenburger DA, Horwitz AF (1997). Integrin-ligand binding properties govern cell migration speed through cell-substratum adhesiveness. *Nature* 385: 537-540.
- Pavasant P, Yongchaitrakul T, Pattamapun K, Arksornnukit M (2003). The synergistic effect of TGF-beta and 1,25-dihydroxyvitamin D3 on SPARC synthesis and alkaline phosphatase activity in human pulp fibroblasts. Arch Oral Biol 48: 717-722.
- Reichert T, Storkel S, Becker K, Fisher LW (1992). The role of osteonectin in human tooth development: an immunohistological study. Calcif Tiss Int 50: 468-472.
- Roberts MS, Woods AJ, Shaw PE, Norman JC (2003). ERK1 associates with $\alpha_{\nu}\beta_{3}$ integrin and regulates cell spreading on vitronectin. J Biol Chem 278: 1975–1985.
- Rolli M, Fransvea E, Pilch J, Saven A, Felding-Habermann B (2003). Activated integrin ανβ3 cooperates with metalloproteinase MMP-9 in regulating migration of metastatic breast cancer cells. Proc Natl Acad Sci USA 100: 9482-9487.
- Salaznyk RM, Klees RF, Hughlock MK, Plopper GE (2004). ERK signaling pathways regulate the osteogenic differentiation of human mesenchymal stem cells on collagen I and vitronectin. Cell Commun Adhes 11: 137–153.
- Shattil SJ, Kashiwagi H, Pampori N (1998). Integrin signaling: the platelet paradigm. *Blood* 91: 2645-2657.

- Shiba H, Fujita T, Doi N et al (1998). Differential effects of various growth factors and cytokines on the syntheses of DNA, type I collagen, laminin, fibronectin, osteonectin/secreted protein, acidic and rich in cysteine (SPARC) and alkaline phosphatase by human pulp cell in culture. J Cell Physiol 174: 194-205.
- Shiba H, Uchida Y, Kamihagi K et al (2001). Transforming growth factor-beta1 and basic fibroblast growth factor modulate osteocalcin and osteonectin/SPARC syntheses in vitamin-D-activated pulp cells. J Dent Res 80: 1653-1659.
- Takano-Yamamoto T, Takemura T, Kitamura Y, Nomura S (1994). Site-specific expression of mRNAs for osteonectin, osteocalcin, and osteopontin revealed by in situ hybridiza-

- tion in rat periodontal ligament during physiological tooth movement. J Histochem Cytochem 42: 885-896.
- Tziafas D, Papadimitriou S (1998). Role of exogenous TGFbeta in induction of reparative dentinogenesis in vivo. Eur J Oral Sci 106(Suppl): 192-196.
- Wu RX, Laser M, Han H et al (2006). Fibroblast migration after myocardial infarction is regulated by transient SPARC expression. J Mol Med 84: 241-252.
- Young BA, Wang P, Goldblum SE (1998). The counteradhesive protein SPARC regulates an endothelial paracellular pathway through protein tyrosine phosphorylation. *Biochem Biophys Res Commun* 251: 320-327.